



HRVATSKA KOMORA INŽENJERA GRAĐEVINARSTVA

Dani Hrvatske komore inženjera građevinarstva

Opatija, 2019.

# Utjecaj različitih parametara na ponašanje i nosivost armiranobetonskih stupova pri potresu

Nikola Grgić

Jure Radnić

---

Doc. dr.sc. Nikola Grgić, dipl.ing.građ., FGAG, Split

Prof. dr. sc. Jure Radnić, dipl.ing.građ., FGAG, Split

# Sadržaj

- Uvod
- Prednosti testiranja s potresnim platformama
- Ograničenja testiranja s potresnim platformama
- Dijagram toka istraživanja
- Eksperimentalna ispitivanja stupova
  - Oprema za mjerjenje
  - Seizmičko opterećenje
  - Rezultati testiranja
- Numerički model



- UVOD

- Svrha testiranja na potresnim platformama

- Analiza seizmičkih performanse (ne)konstrukcijskih dijelova i složenih sustava
- Osiguravanje podatke za provjeru valjanosti / kalibriranje analitičkih modela
- Vrednovanje projektantskih koncepcija, principa i detaljiranja.

- Najčešći tipovi uzoraka testiranih na potresnim platformama

- Ne konstrukcijske komponente
  - npr. sidra ili postolja za razne tipove vrijednih uređaja
- Konstrukcijske komponente
  - npr. stupovi, razne vrste prigušivača
- Dijelovi objekata
  - npr. okviri, zidovi , čvorovi
- Cijeli objekti
  - npr. zgrade, mostovi, vjetro turbine



# Prednosti testiranja s potresnim platformama u odnosu na ostale metode testiranja

- Realističnije uzimanje u obzir dinamičkih efekata
  - Inercijalne sile
  - Prigušenje
  - Nema potrebe za spajanje naprava za nanošenje opterećenja
- Najbolji način simulacije efekata gibanja tla zabilježenih uslijed potresa



# Ograničenja testiranja na potresnim platformama

- Cijena
- Dostupnost laboratorija
- Kapacitet opreme
- Točnost pojedinih mjeranja
- Rubni uvjeti
- Ograničeno vrijeme reakcije ukoliko nešto ne kreće po planu



# Dijagram toka istraživanja

## Korak 1

- definirati potrebu za istraživanjem

Određivanje konstrukcijskog sustava, koncepta itd. kog će se istraživati

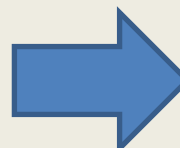


Projektiranje prototipa konstrukcije

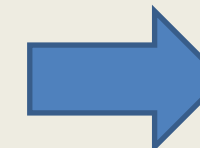
## Korak 2

- oprema/troškovi i ograničenja
- Zakoni sličnosti

Projektiranje modela za ispitivanje



Izrada plana mjerjenja

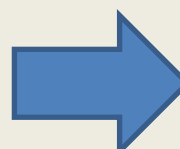


Izrada programa testiranja

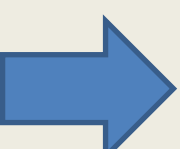
## Korak 3

- provođenje eksperimenata

Priprema uzorka za testiranje



Provođenje programa ispitivanja

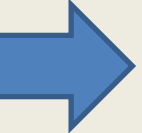


Prikupljanje i pohranjivanje podataka

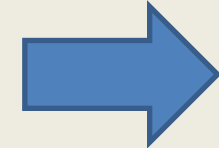
## Korak 4

- obrada podataka

Analiza podataka



Provjera analitičkih modela



Ocjena koncepta, sustava i sl



# Eksperimentalno ispitivanja stupova

- Cilj istraživačkog rada:
- Istražiti ponašanje vitkih armirano betonskih stupova pri potresu.
- Poboljšanje i verifikacija postojećeg numeričkog modela za statičku i dinamičku analizu armiranobetonskih konstrukcija.



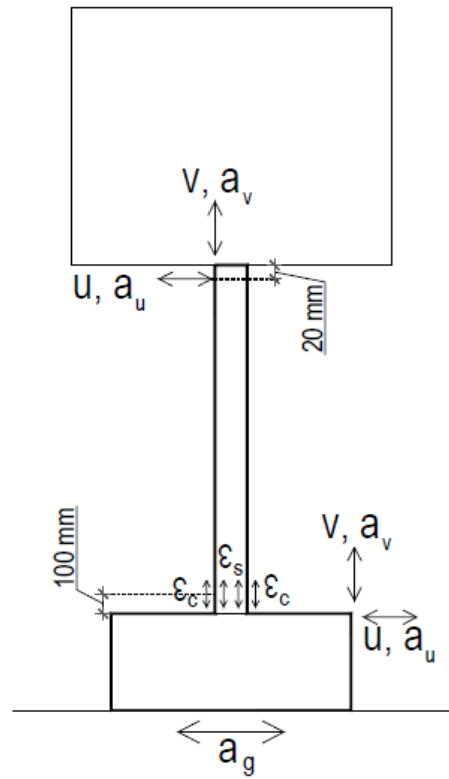
## ➤ Istraživani parametri:

- Utjecaj tipa pobude (potresa) na dinamički odgovor stupa.
- Utjecaj vitkosti (duljine) stupa na njegov seizmički odgovor.
- Utjecaj veličine temelja na dinamički odziv stupova.
- Utjecaj rubnih uvjeta (popuštanje, klizanje, odizanje temelja) na dinamičko ponašanje stupova.
- Utjecaj količine uzdužne armature na dinamički odziv stupova.
- Utjecaj količine poprečne armature (spona) na dinamičko ponašanje armiranobetonskih stupova.
- Utjecaj ekscentriciteta uzdužne sile na vrhu stupa na njegovo ponašanje pri potresu.



# Oprema za mjerjenje

HBM Quantum X high-speed data acquisition system korišten je za prikupljanje podataka s mjernih uređaja.



$u$  - horizontalni pomak

$v$  - vertikalni pomak

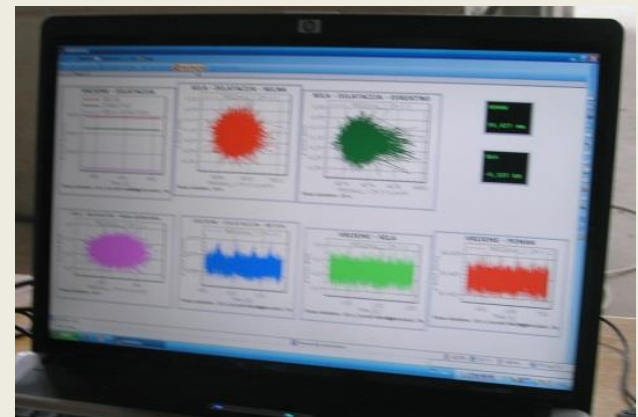
$a_u$  - horizontalno ubrzanje

$a_v$  - vertikalno ubrzanje

$\varepsilon_c$  - deformacija betona

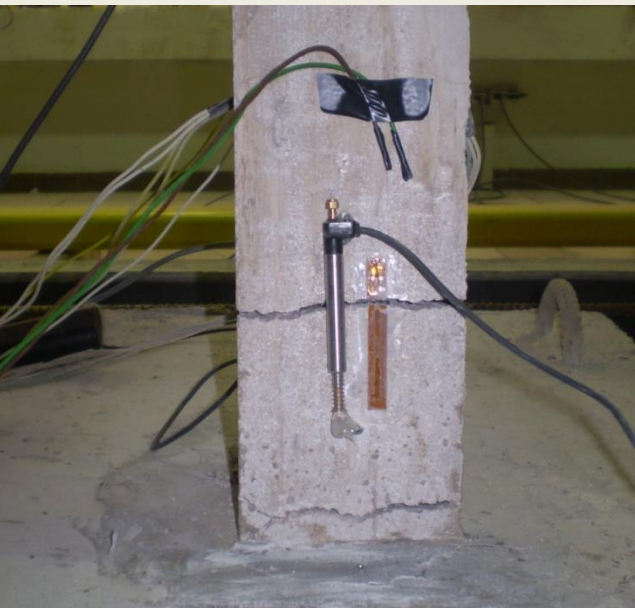
$\varepsilon_s$  - deformacija armature

$a_g$  - ubrzanje platforme





Mjerna traka za čelik K-LY11-5/120 (HBM).



Akcelerometar KISTLER tip 8044



# Aplicirano seizmičko opterećenje

## Elastično područje

- $a_{g\max}=0,05 \text{ g}$
- $a_{g\max}=0,10 \text{ g}$

## Srednja nelinearnost

- $a_{g\max}=0,15 \text{ g}$
- $a_{g\max}=0,20 \text{ g}$

## Značajana nelinearnost

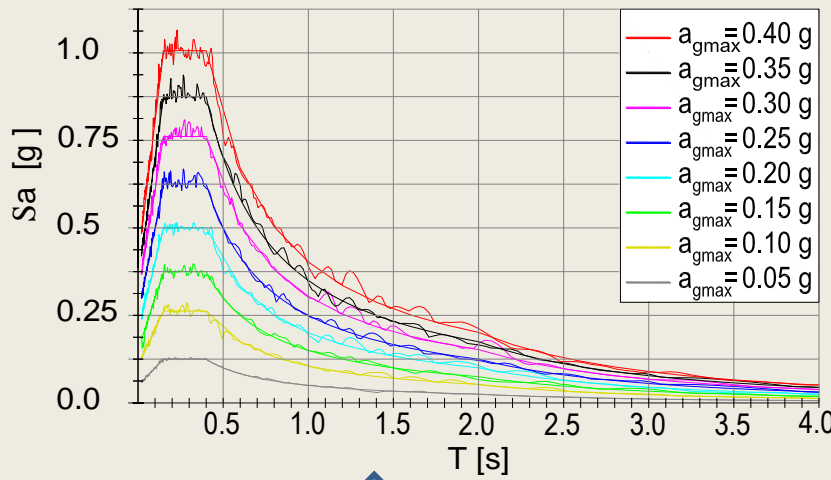
- $a_{g\max}=0,25 \text{ g}$
- $a_{g\max}=0,30 \text{ g}$

## Kolaps konstrukcije

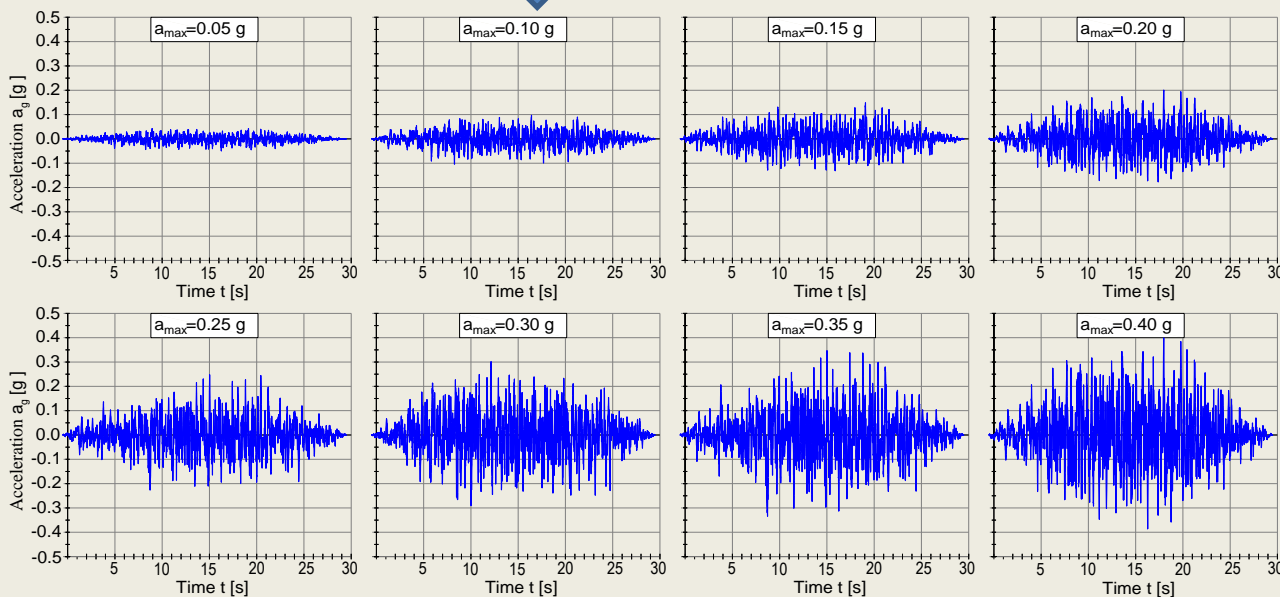
- $a_{g\max}=0,35 \text{ g}$
- $a_{g\max}=0,40 \text{ g}$

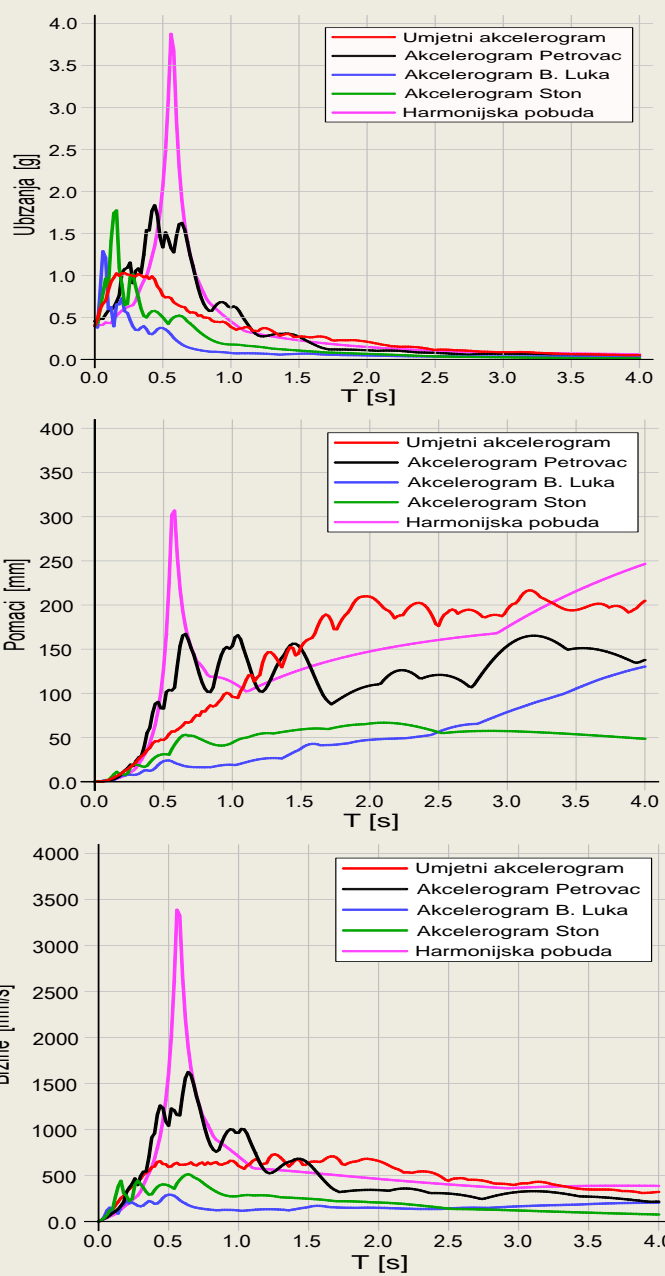
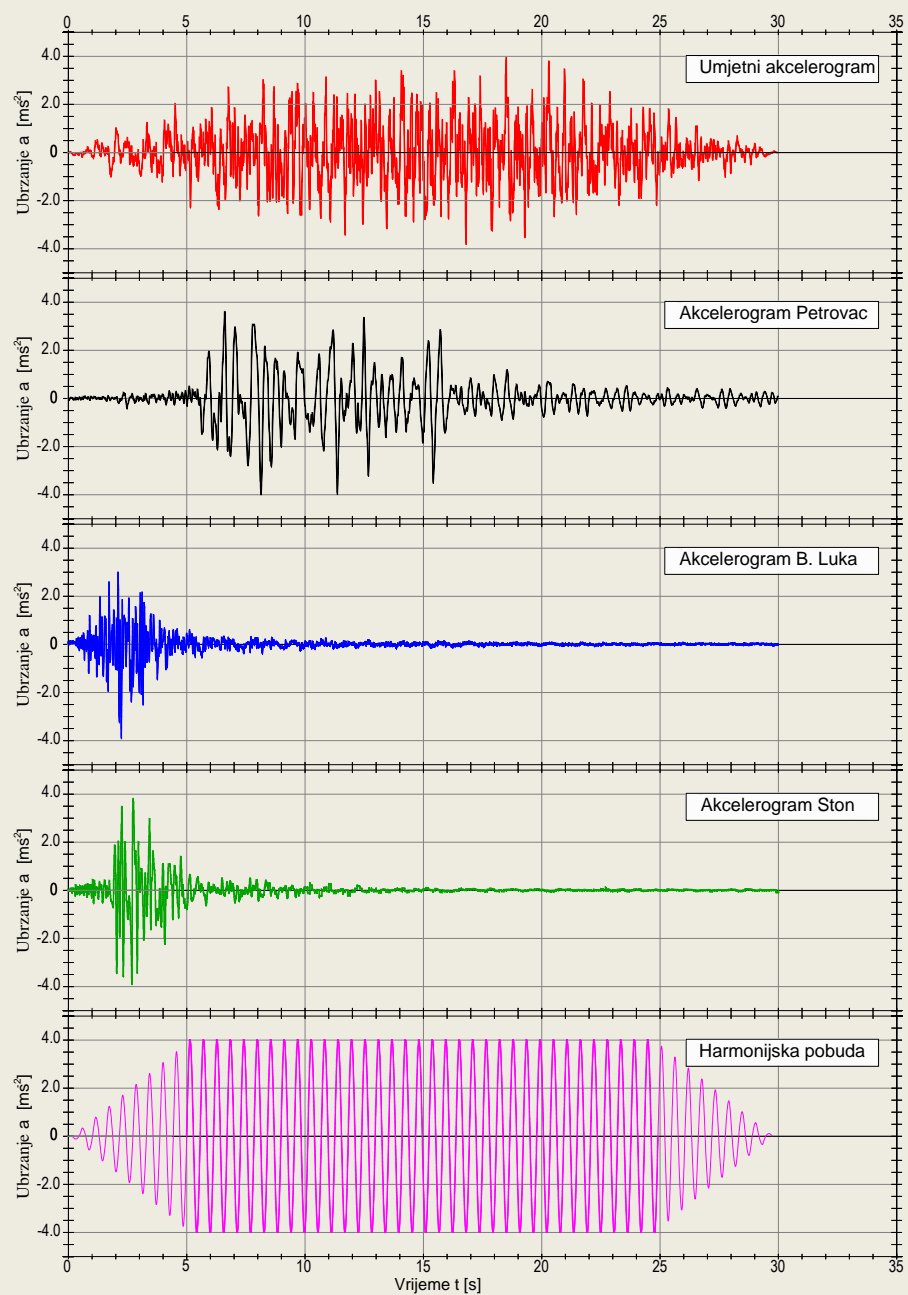
Prije i poslije svake pobude

Određene su dinamičke karakteristike konstrukcije

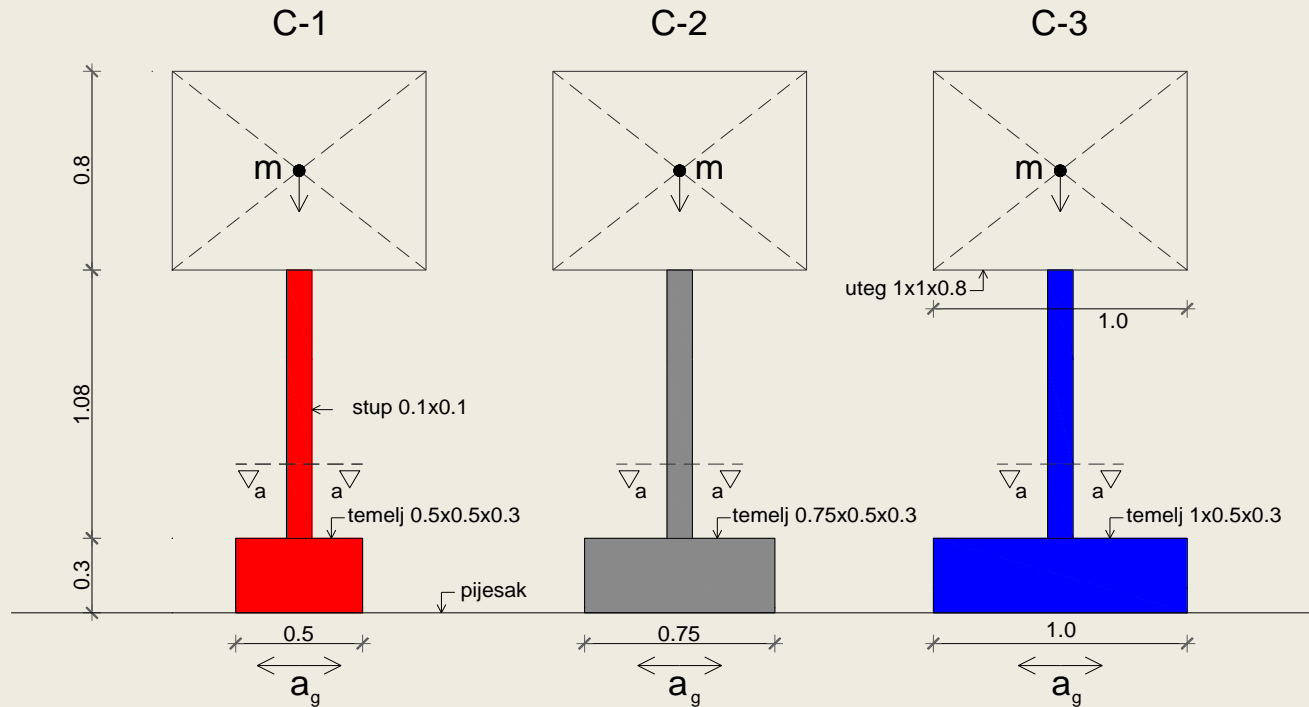


Simque

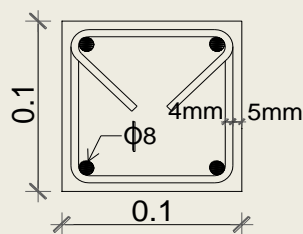




# Eksperimentalno istraživanje utjecaja različite rotacijske krutosti temelja i temeljnog tla na ponašanje armiranobetonskih stupova pri potresu



Presjek a-a



$$\lambda=75$$

$$m=2 \text{ t}$$

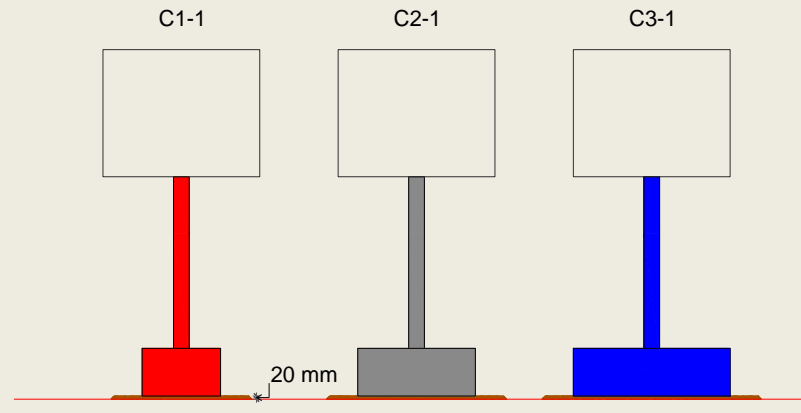
širina temelja  $0.5$  m

beton:  $f_c = 37.2$  MPa

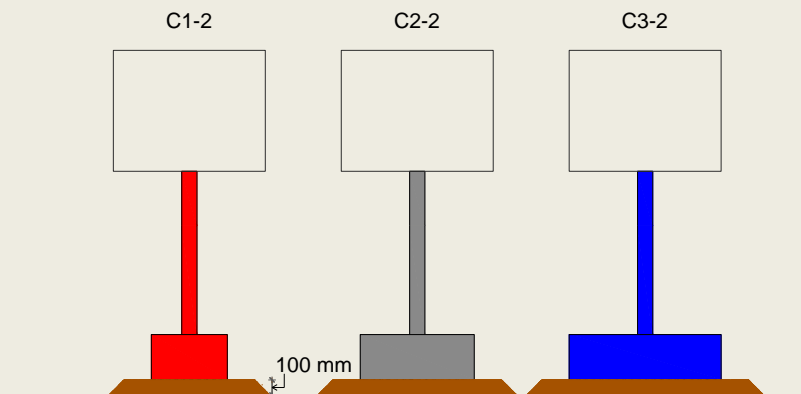
armatura:  $f_s = 605$  MPa



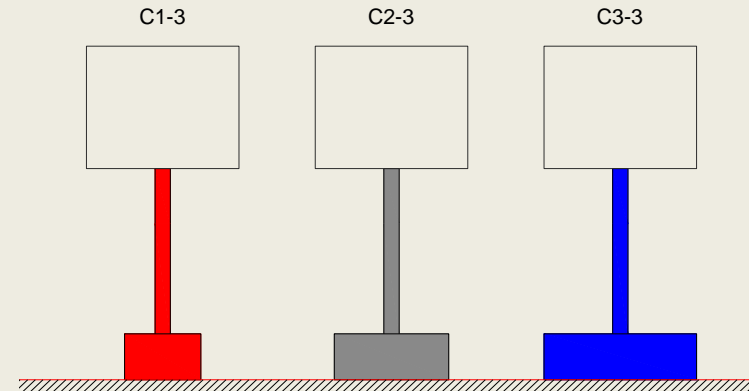
Stupovi s temeljem na  
sloju kamenog pijeska  
debljine 20 mm

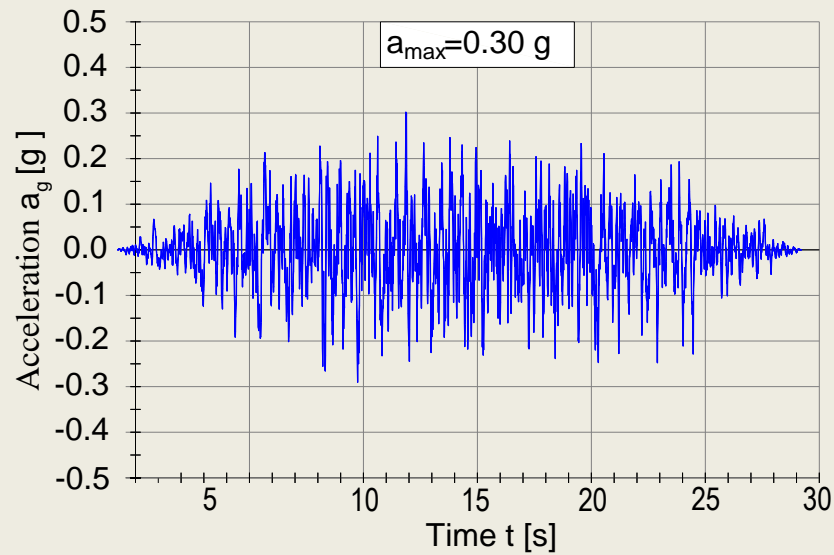


Stupovi s temeljem na  
sloju kamenog pijeska  
debljine 100 mm



Stupovi s temeljem  
zavarenim za  
platformu





C 2



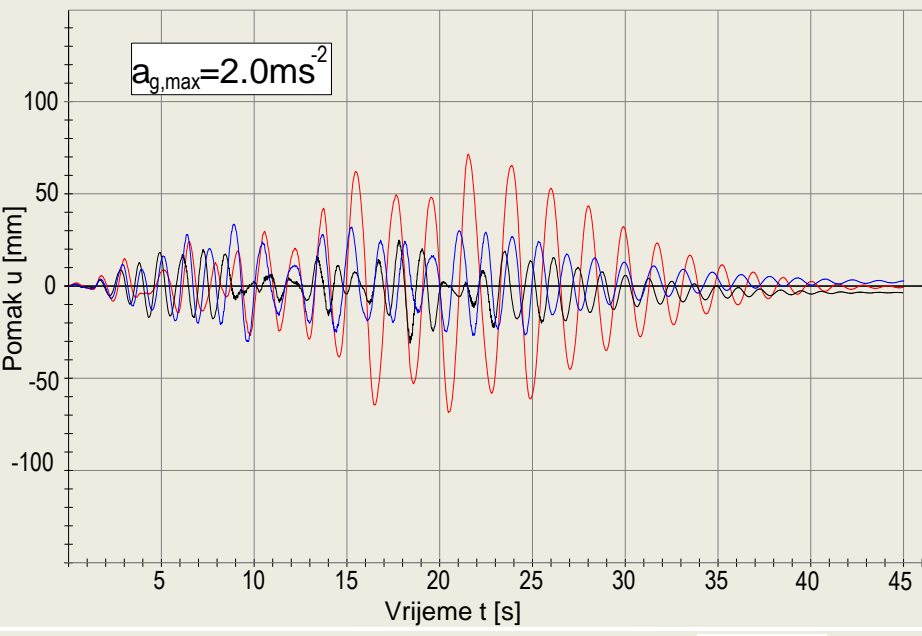
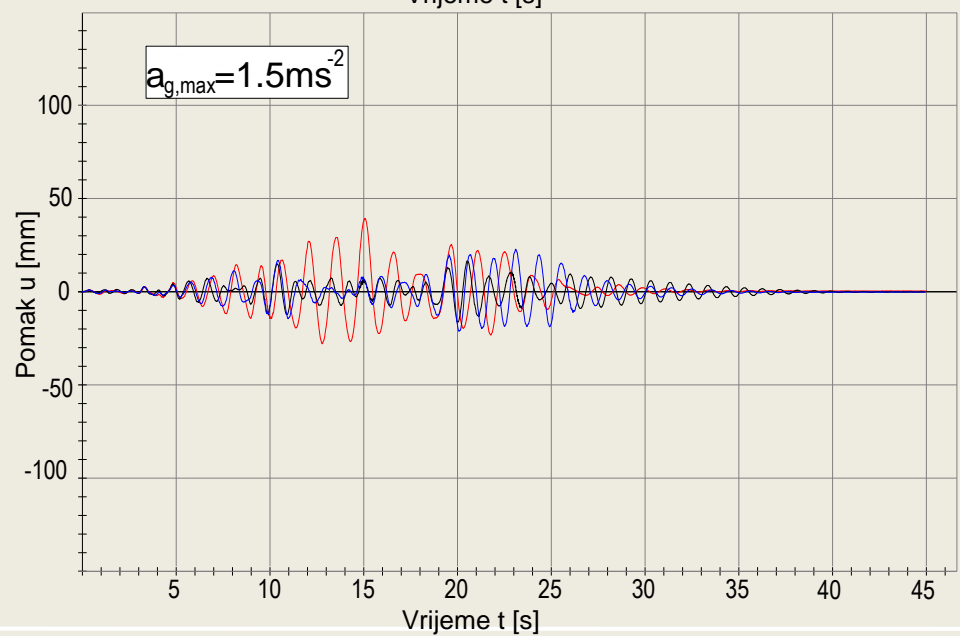
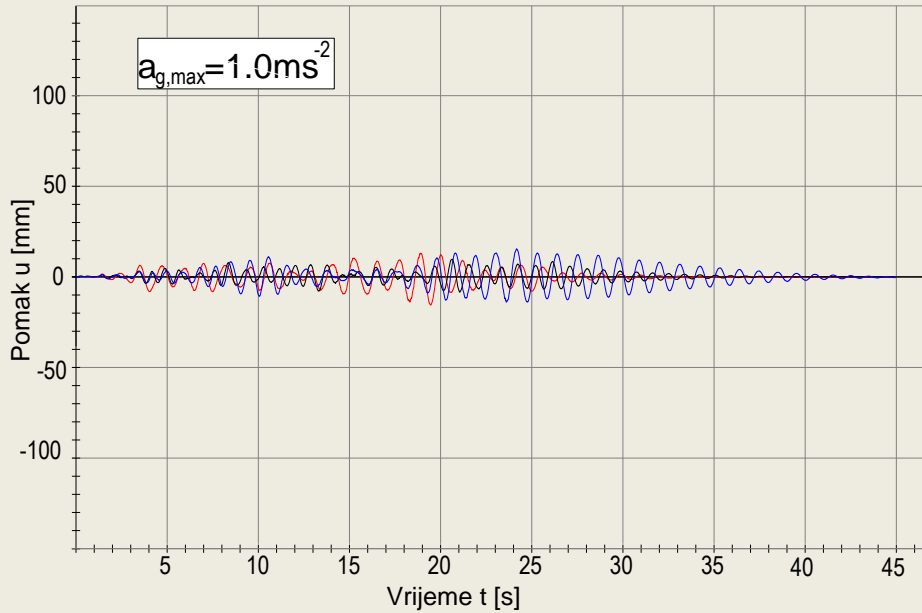
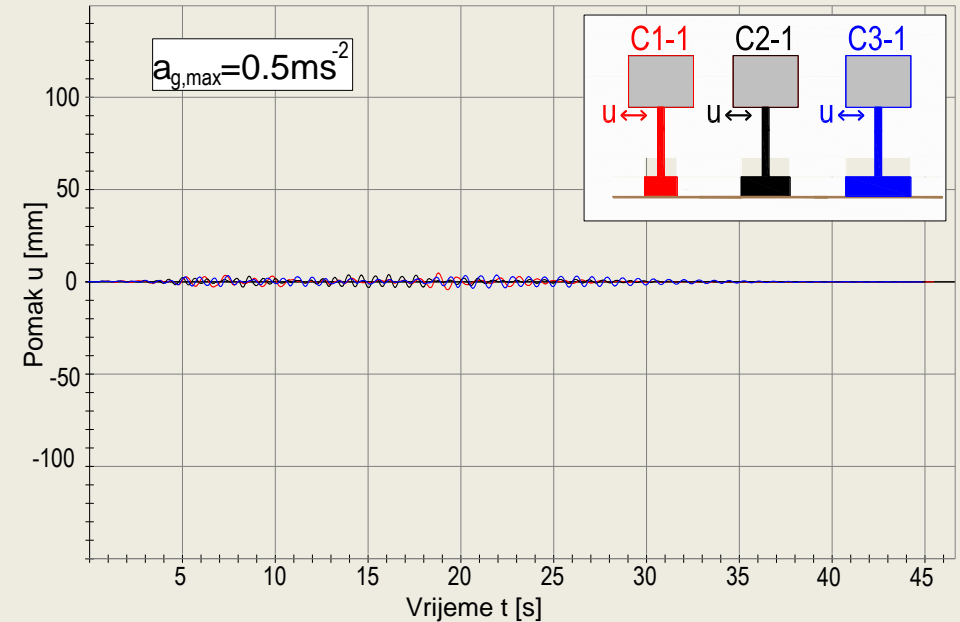
C 1



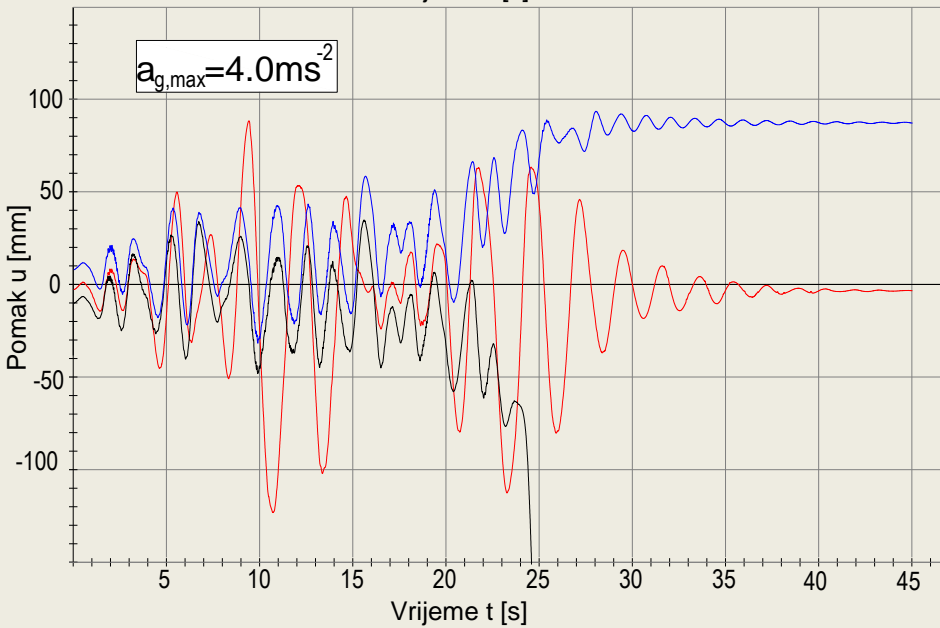
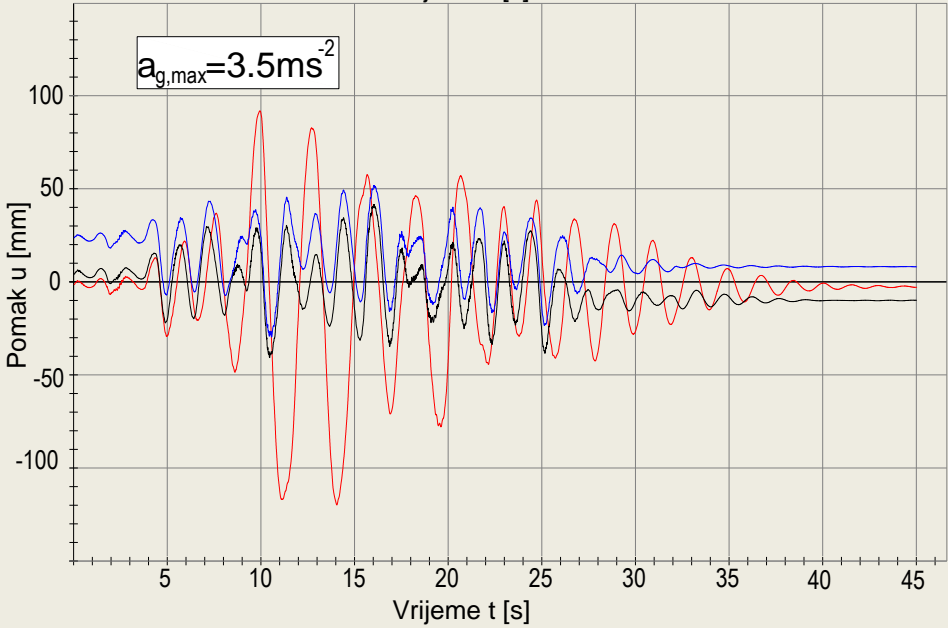
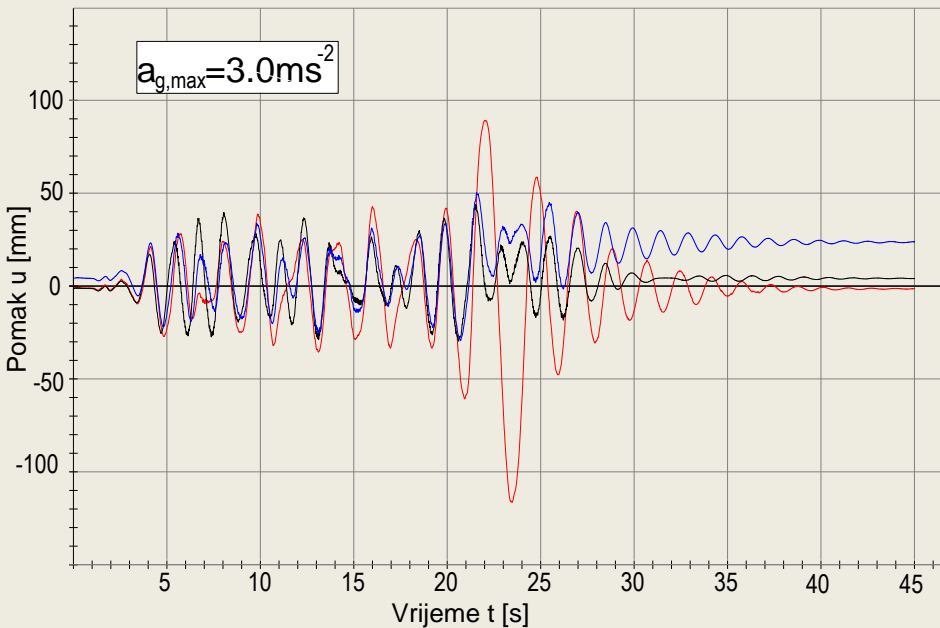
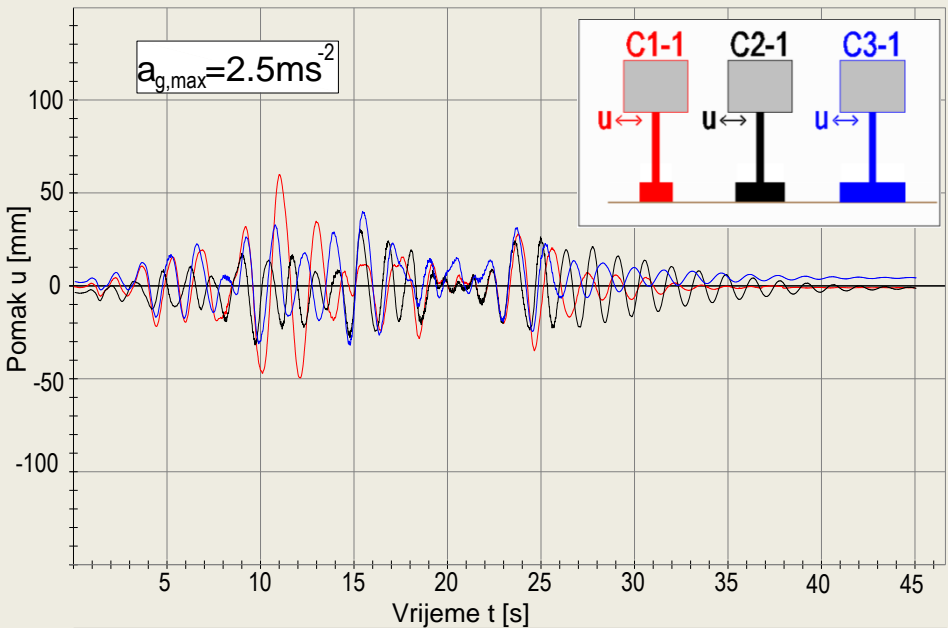
C 3



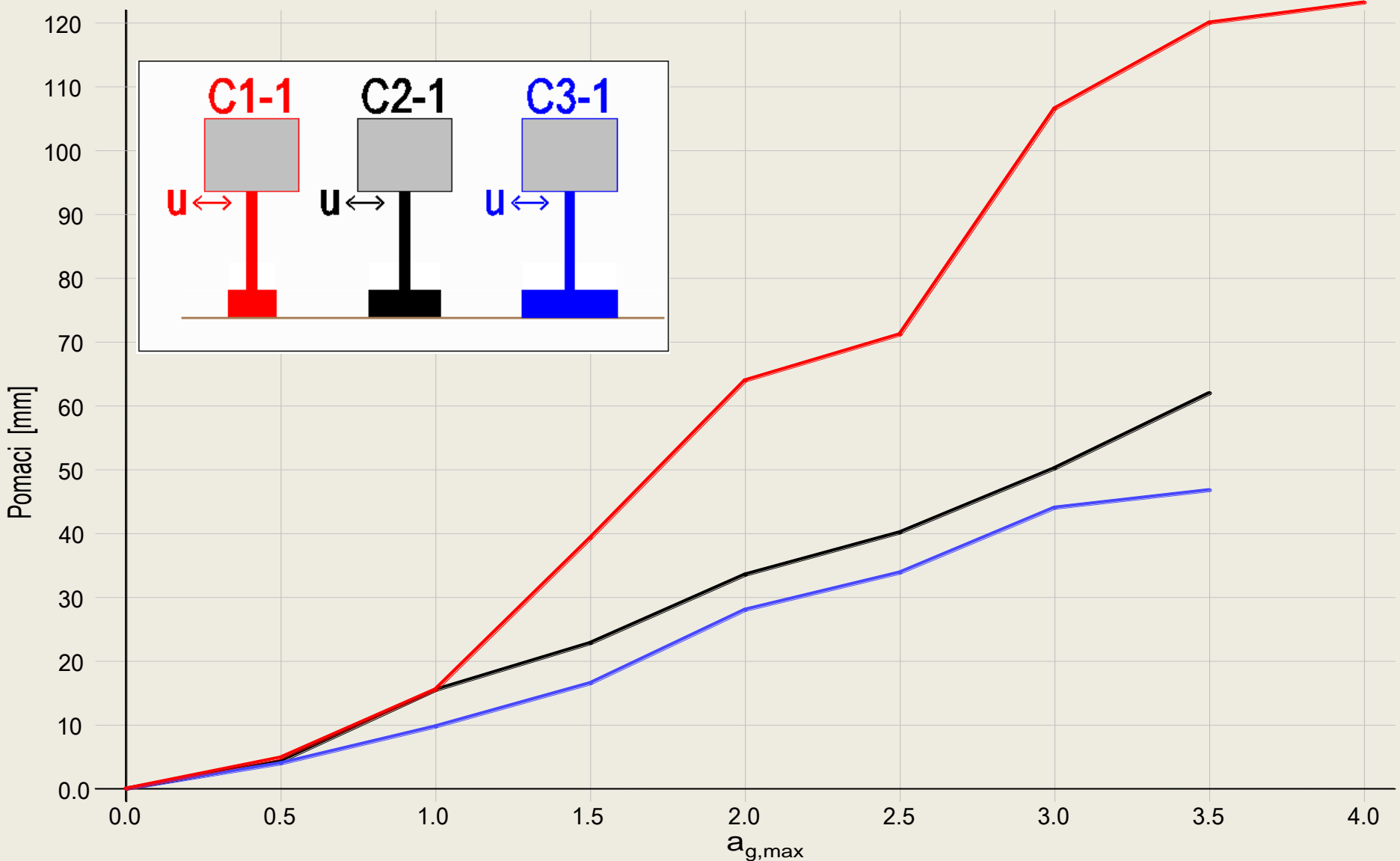
# Pomaci vrha stupa u vremenu



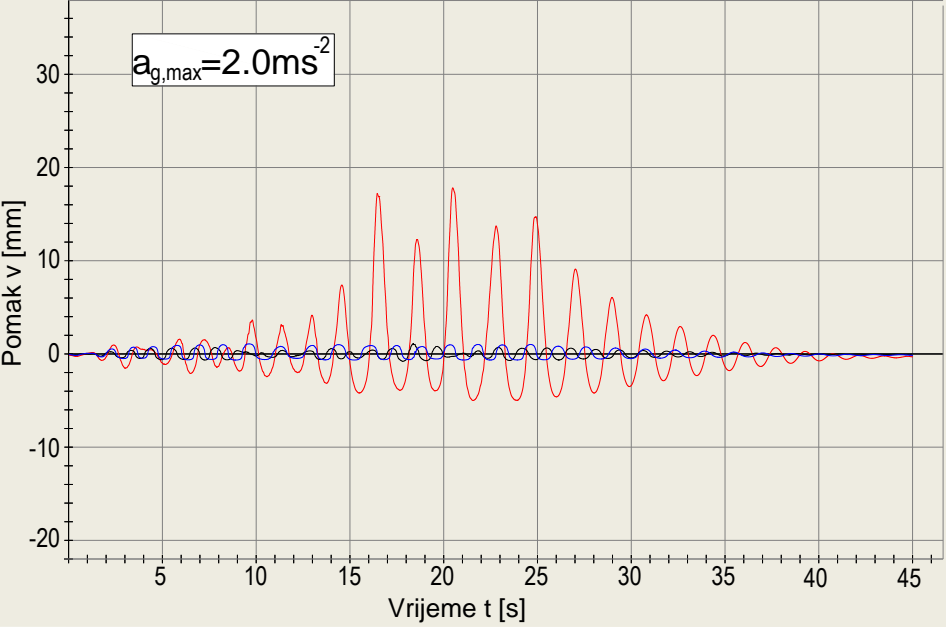
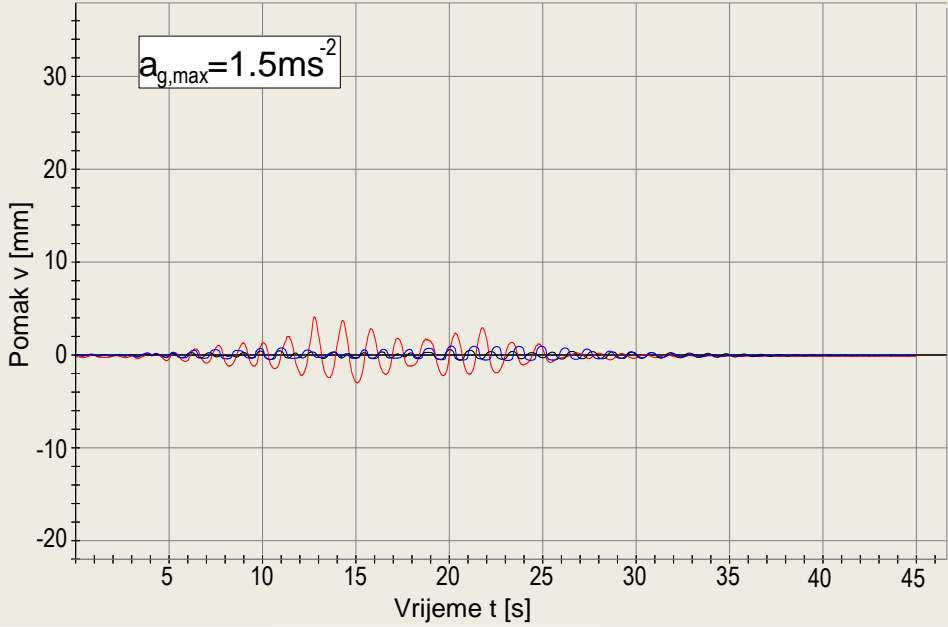
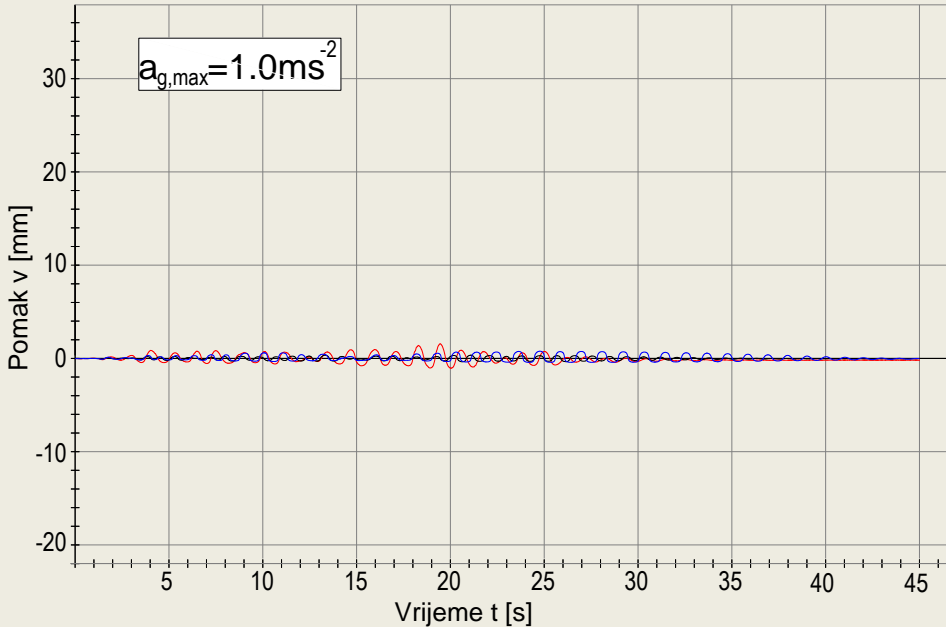
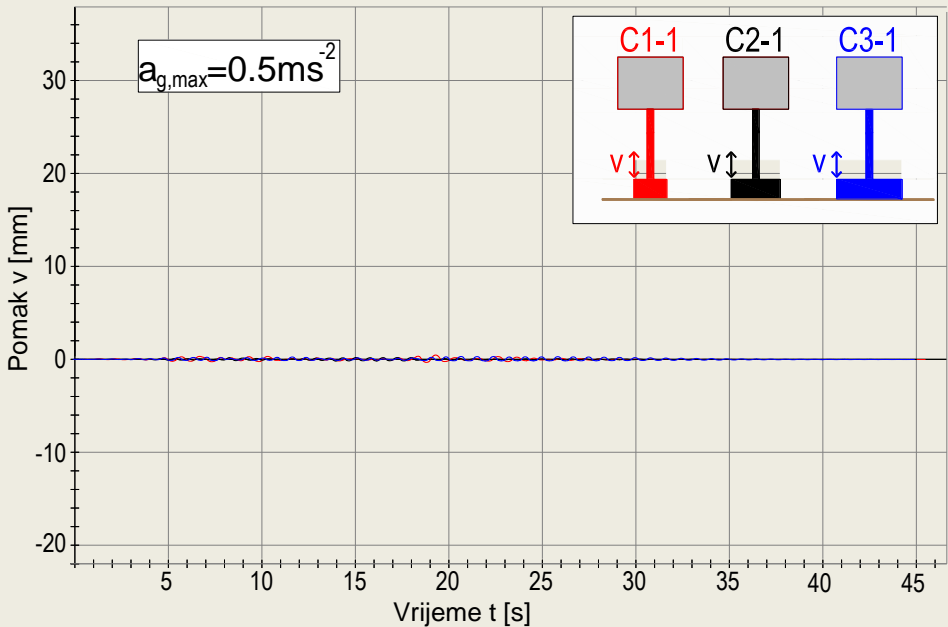
# Pomaci vrha stupa u vremenu



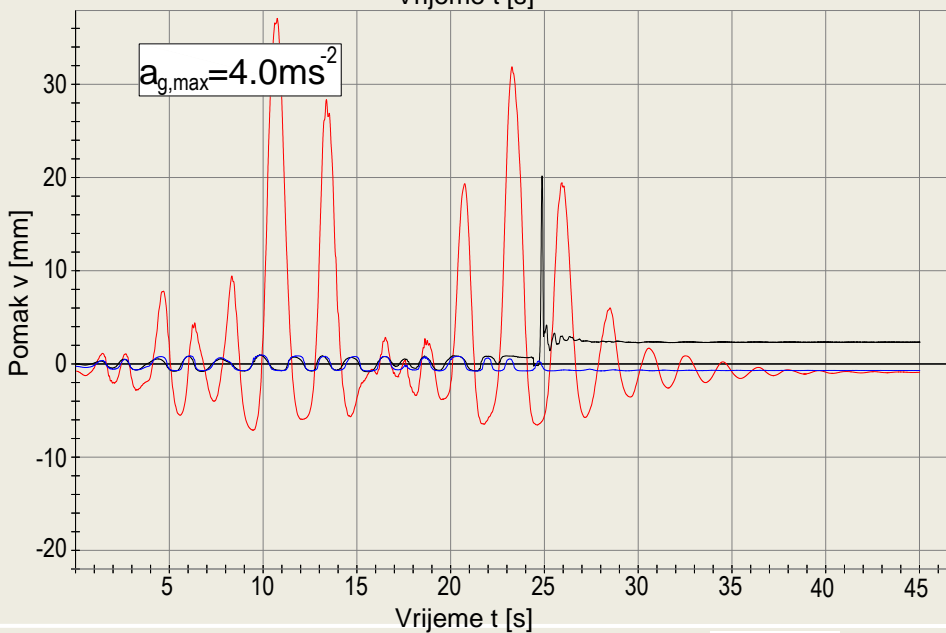
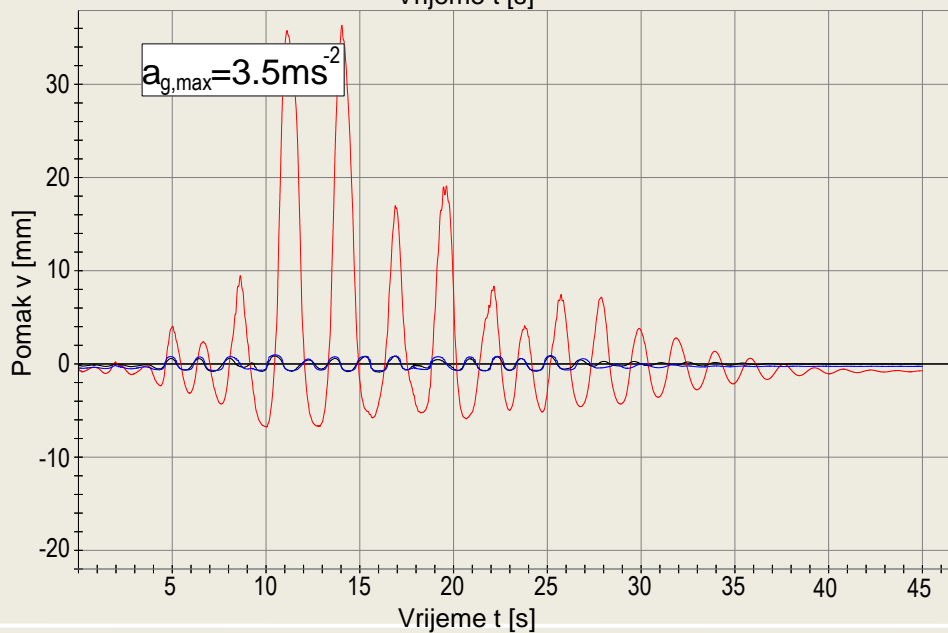
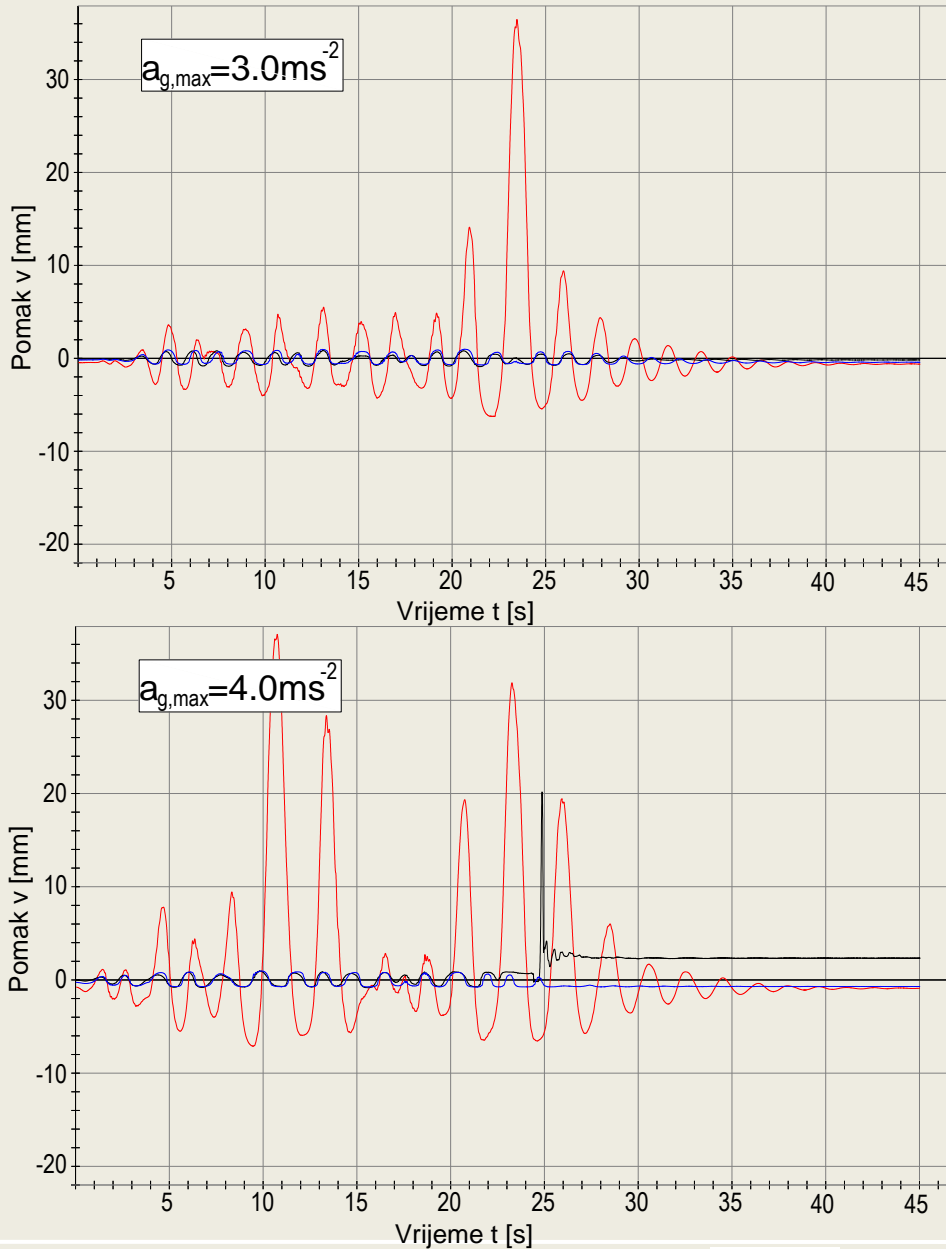
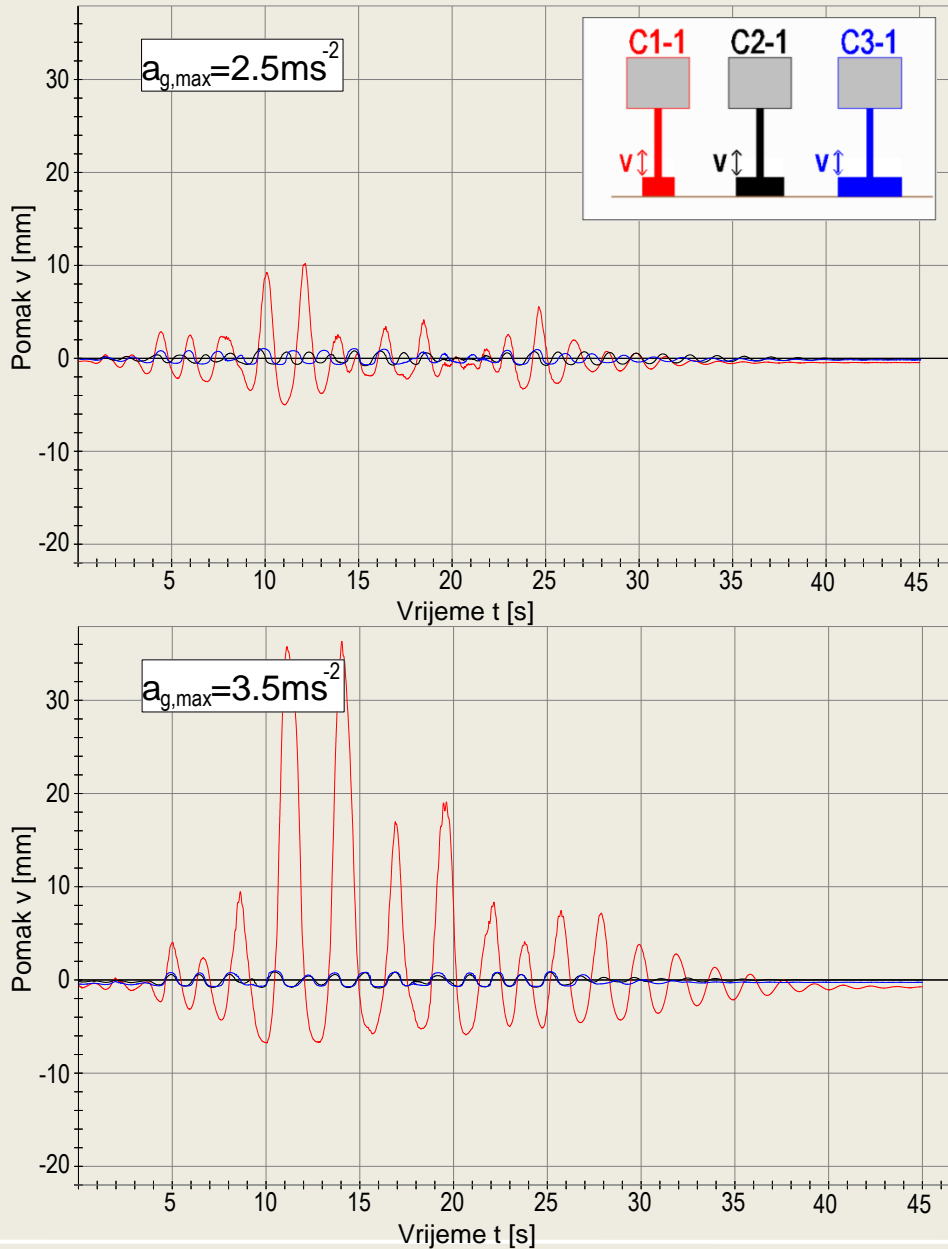
# Maksimalni pomaci vrha stupa u ovisnosti o maksimalnom ubrzavanju podloge



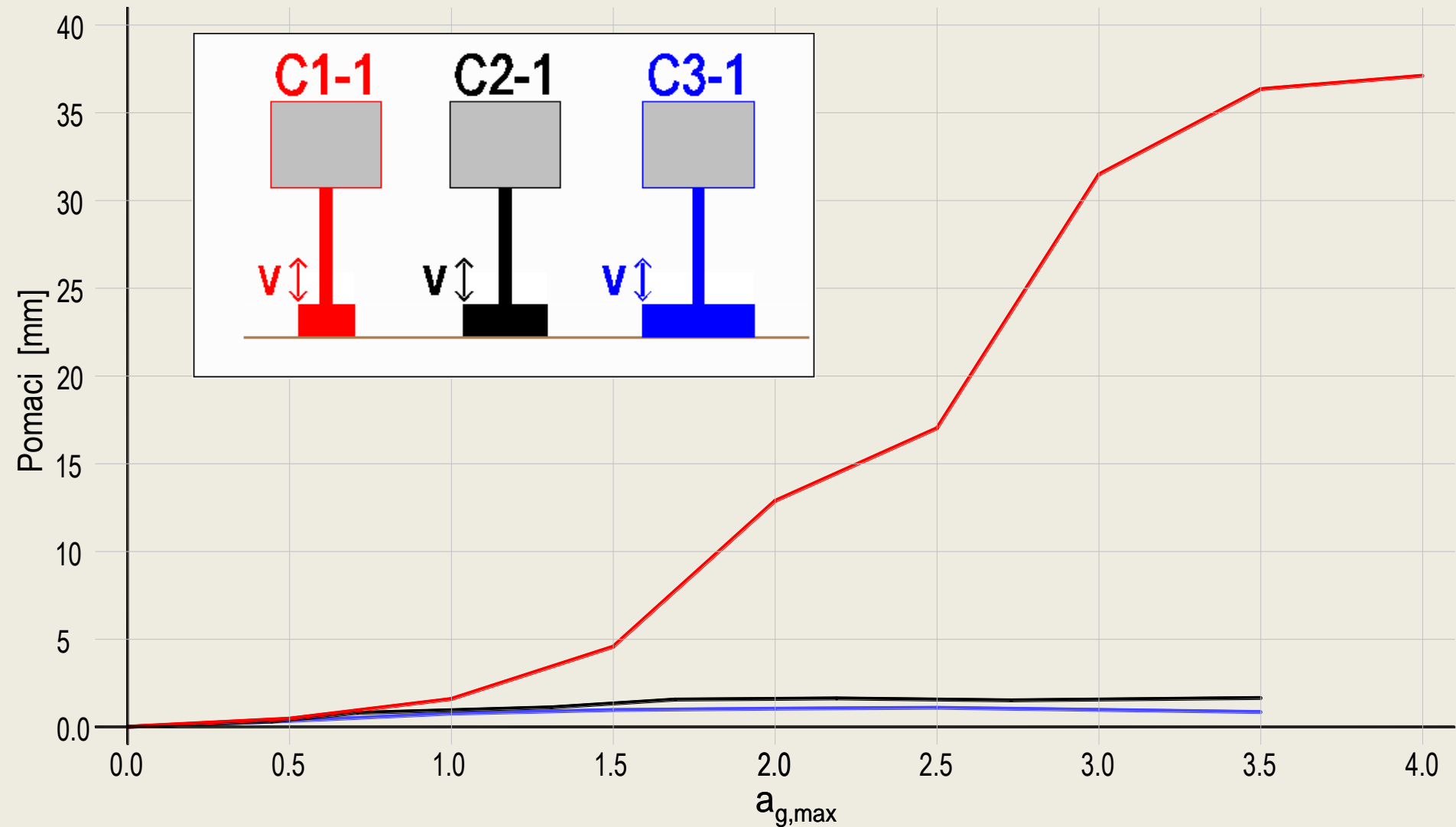
# Pomaci vrha temelja u vremenu



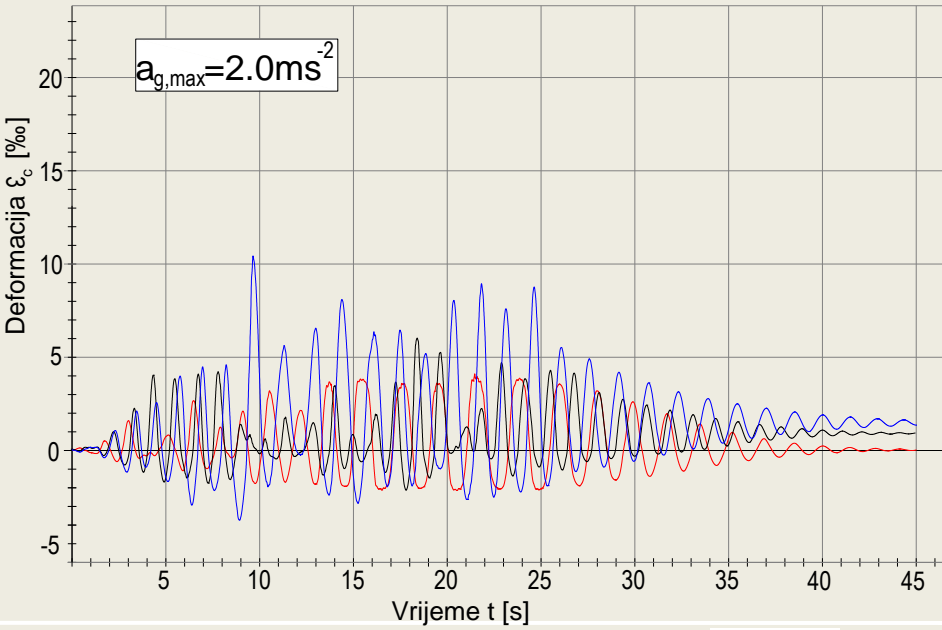
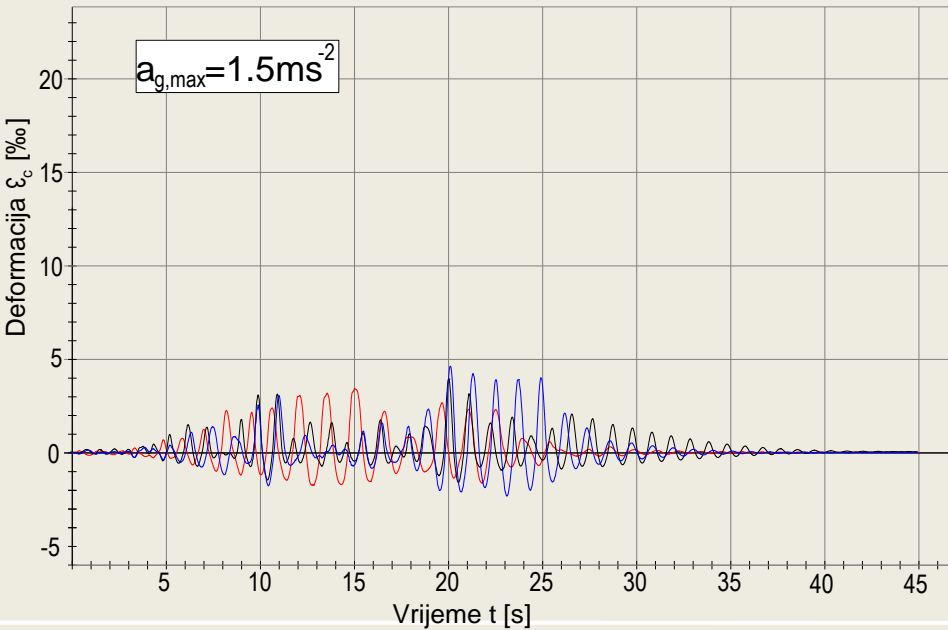
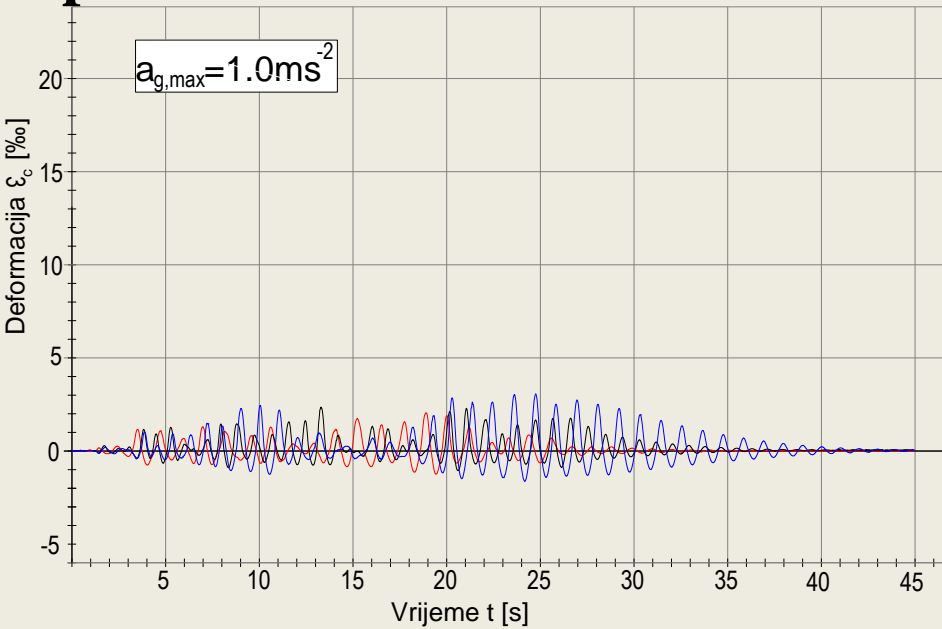
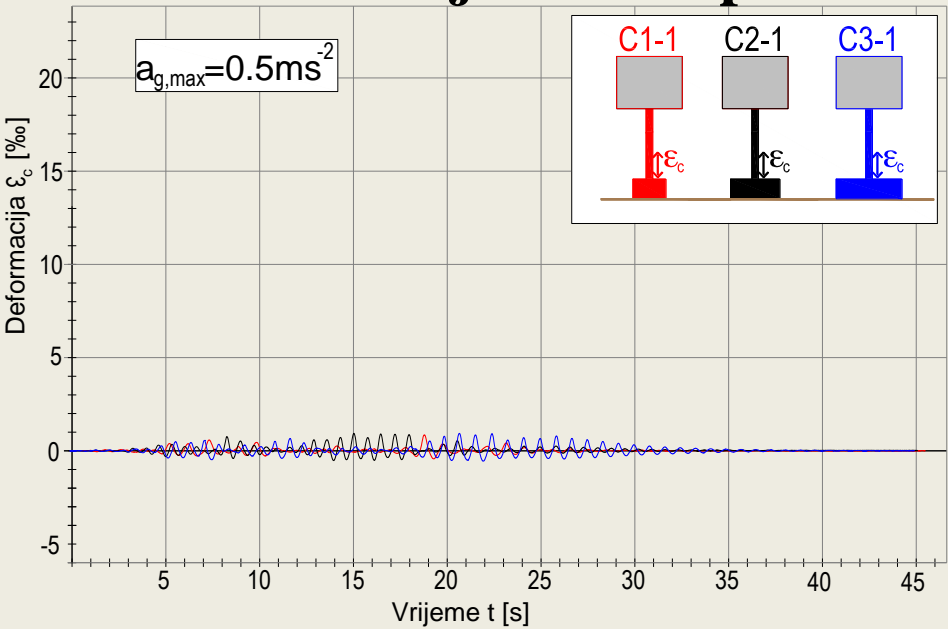
# Pomaci vrha temelja u vremenu



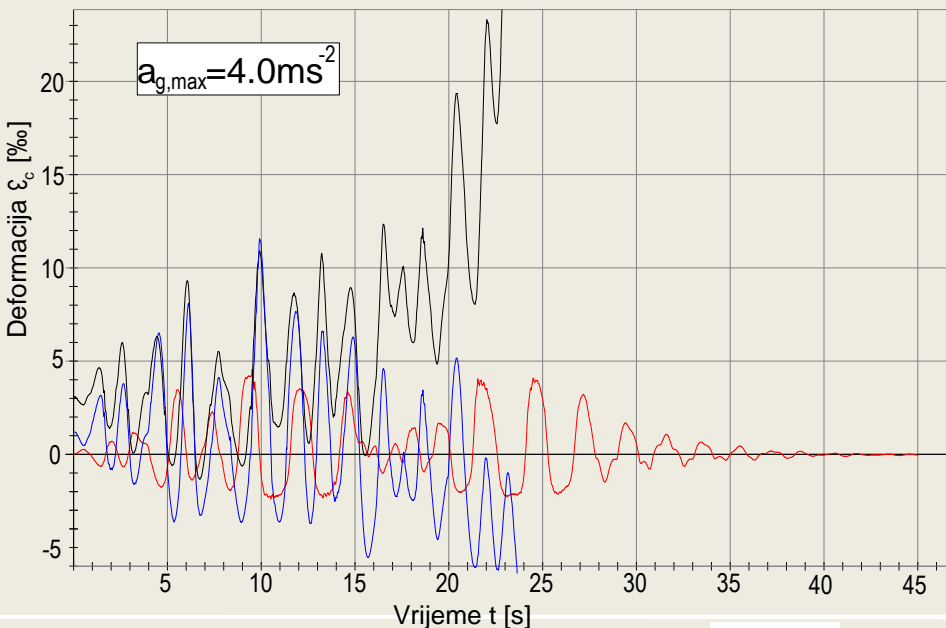
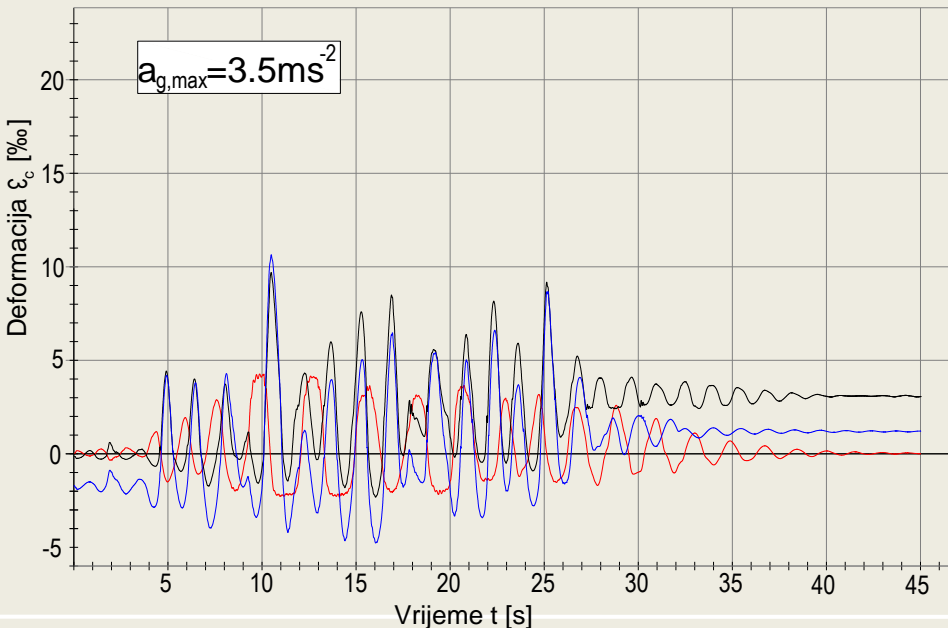
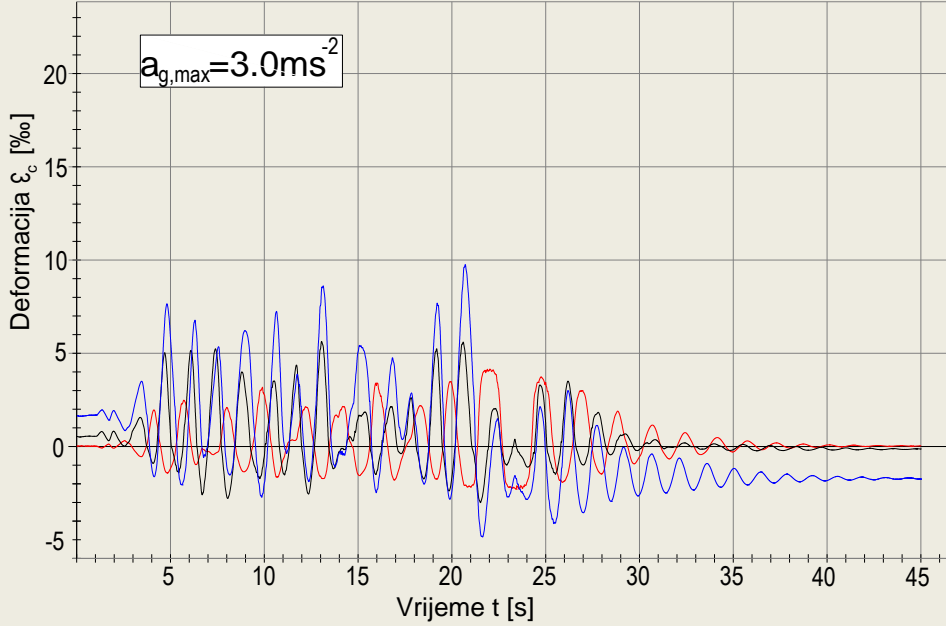
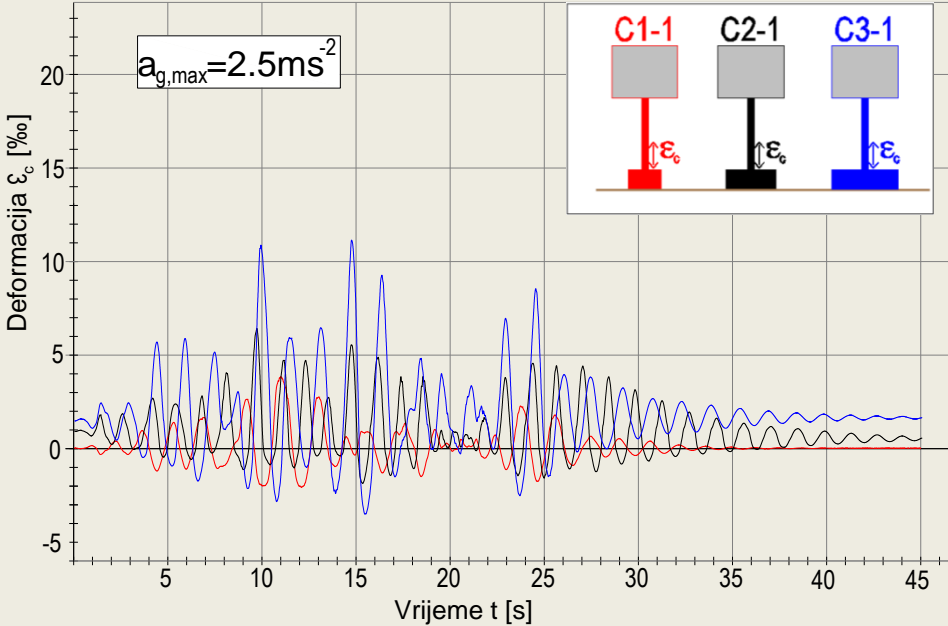
# Maksimalni pomaci vrha temelja u ovisnosti o maksimalnom ubrzavanju podlage



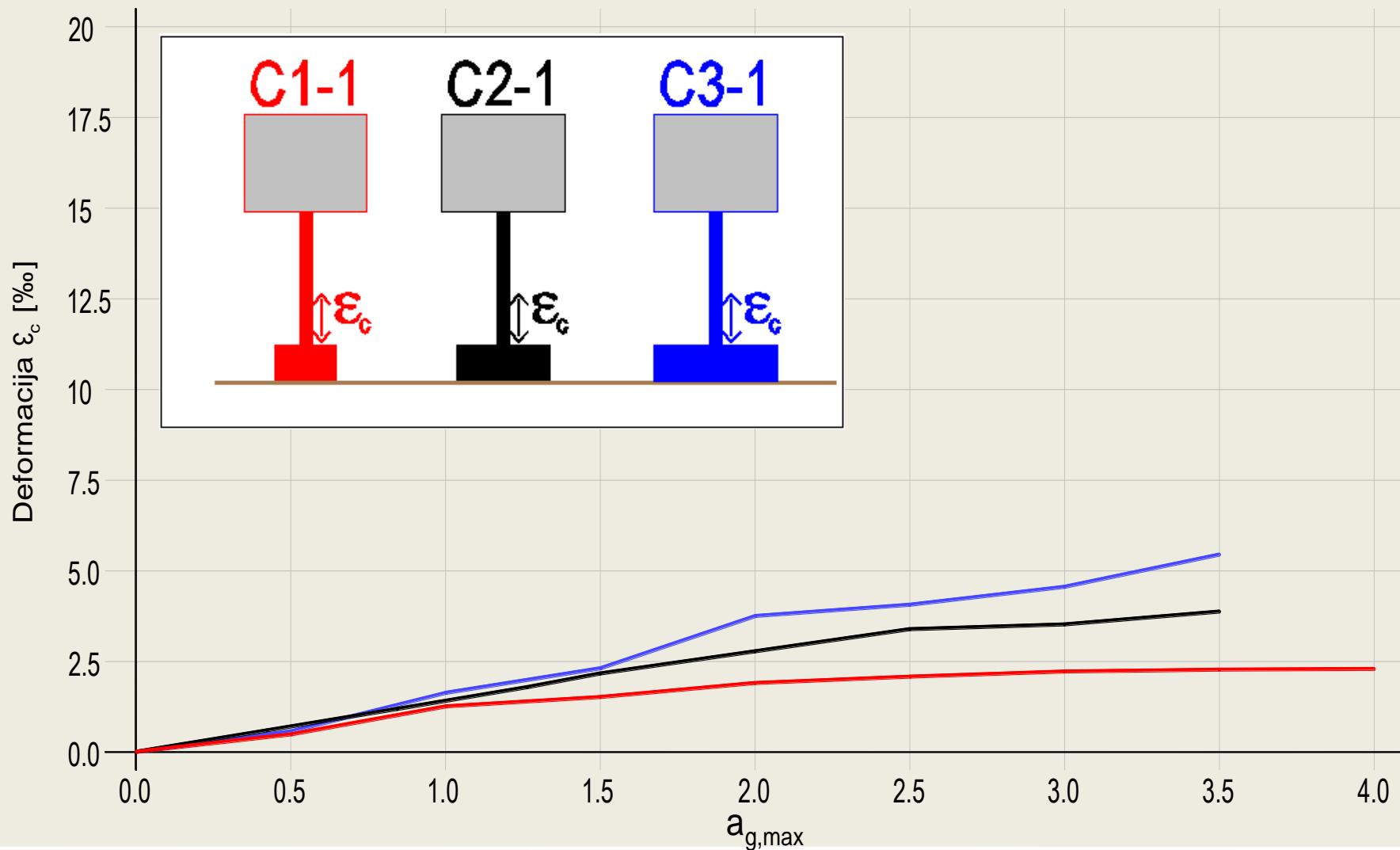
# Deformacije betona pri dnu stupa s desne strane u vremenu



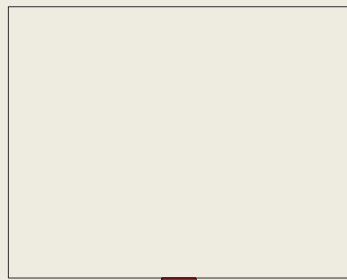
# Deformacije betona pri dnu stupa s desne strane u vremenu



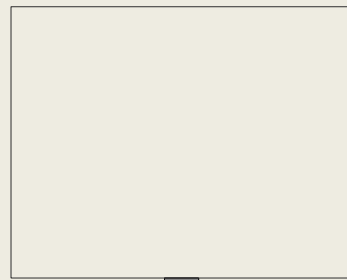
# Maksimalne (tlačne) deformacije betona u ovisnosti o maksimalnom ubrzavanju podlove



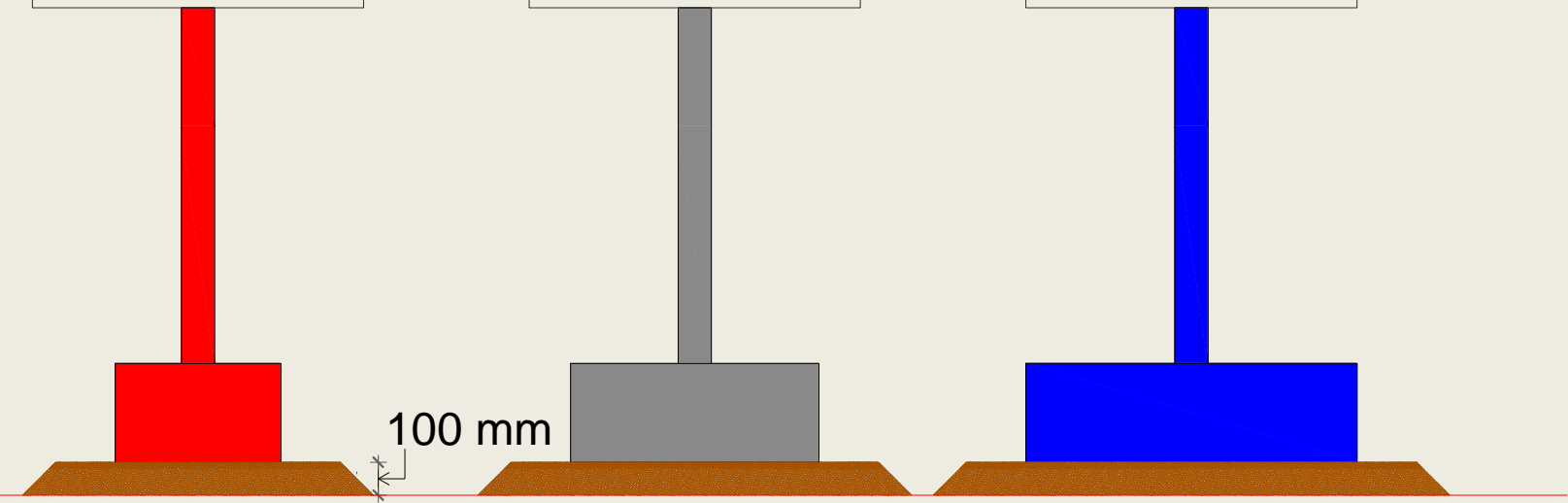
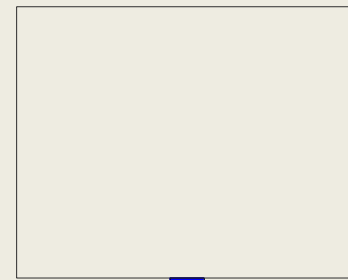
C1-2



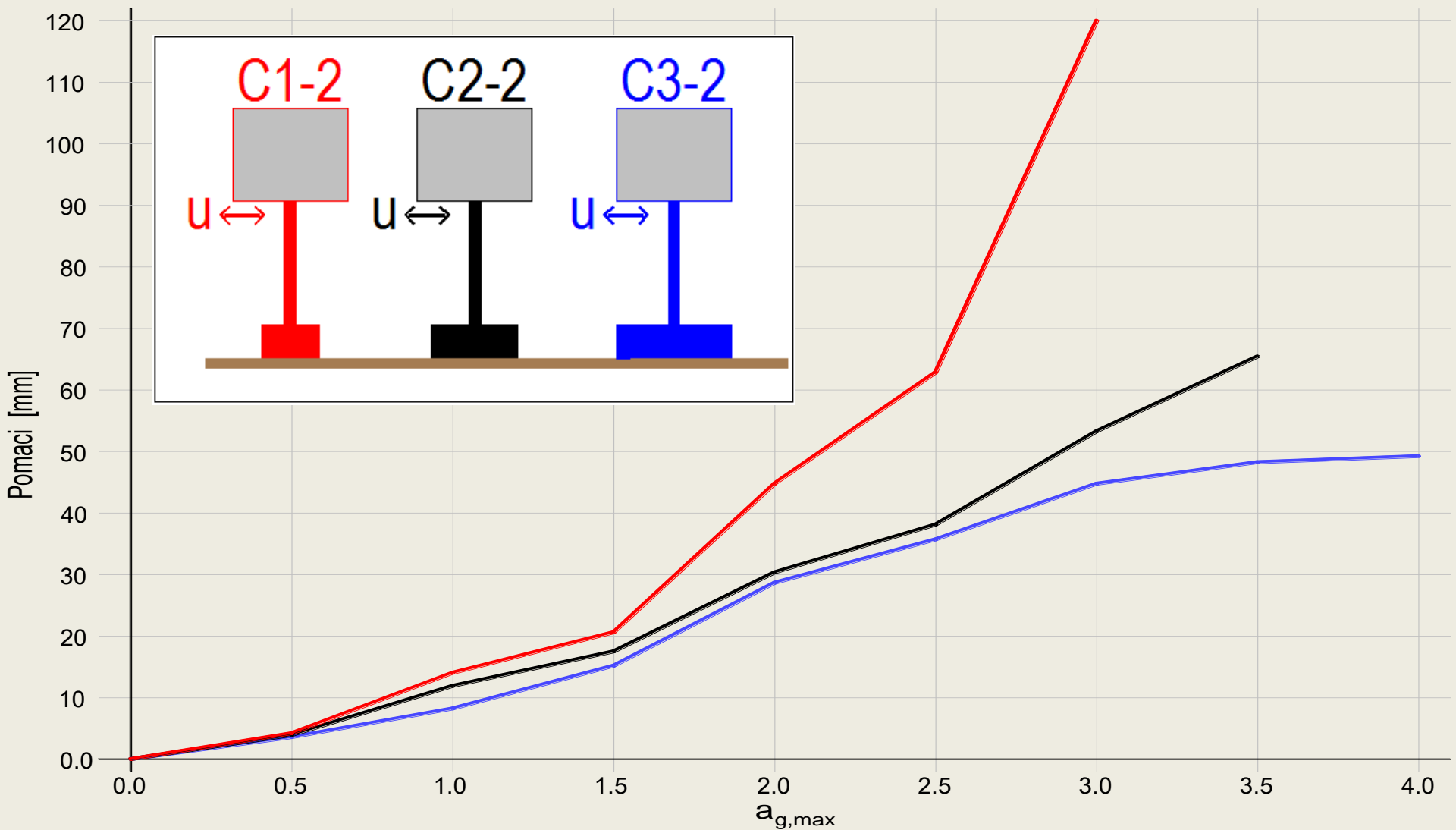
C2-2



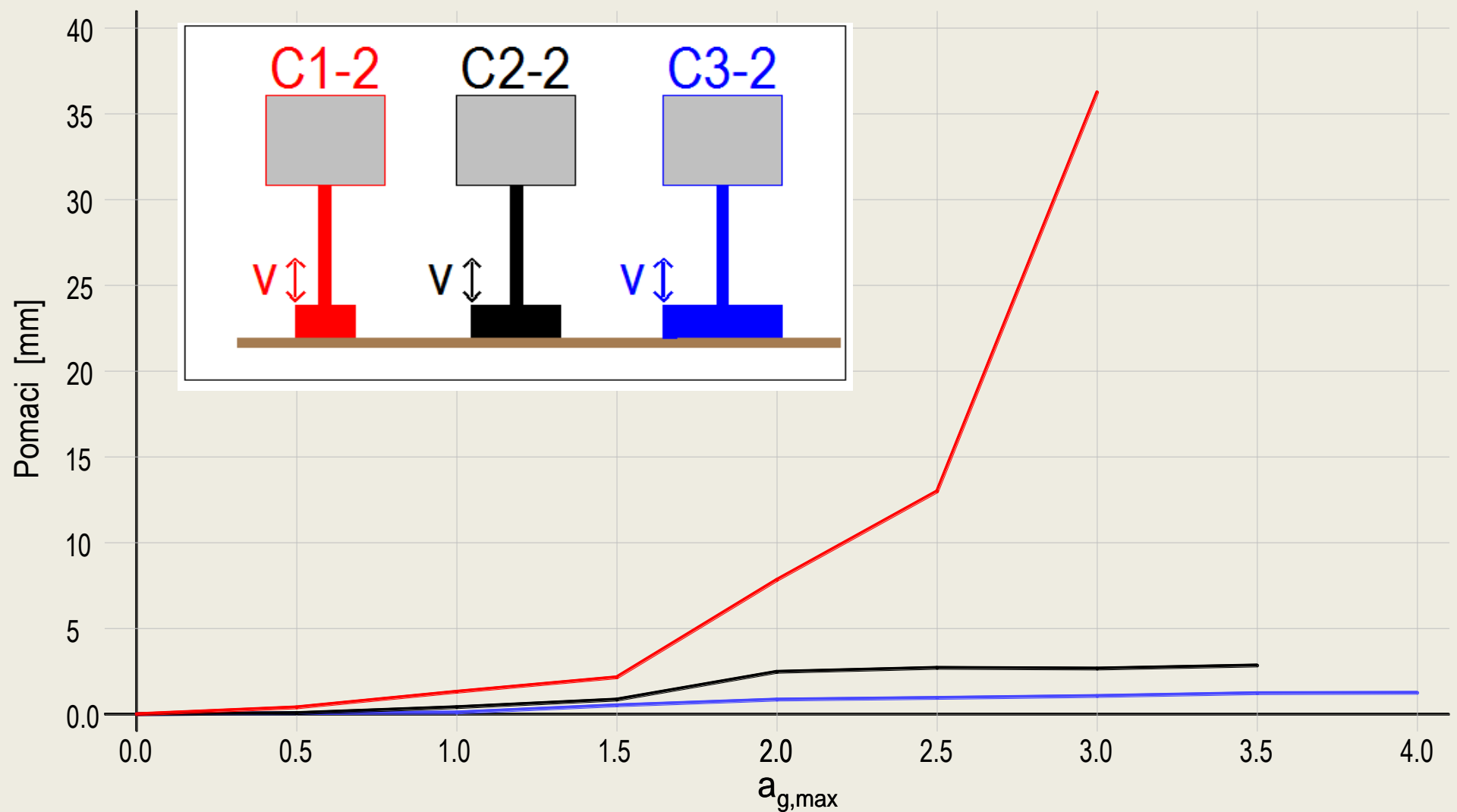
C3-2



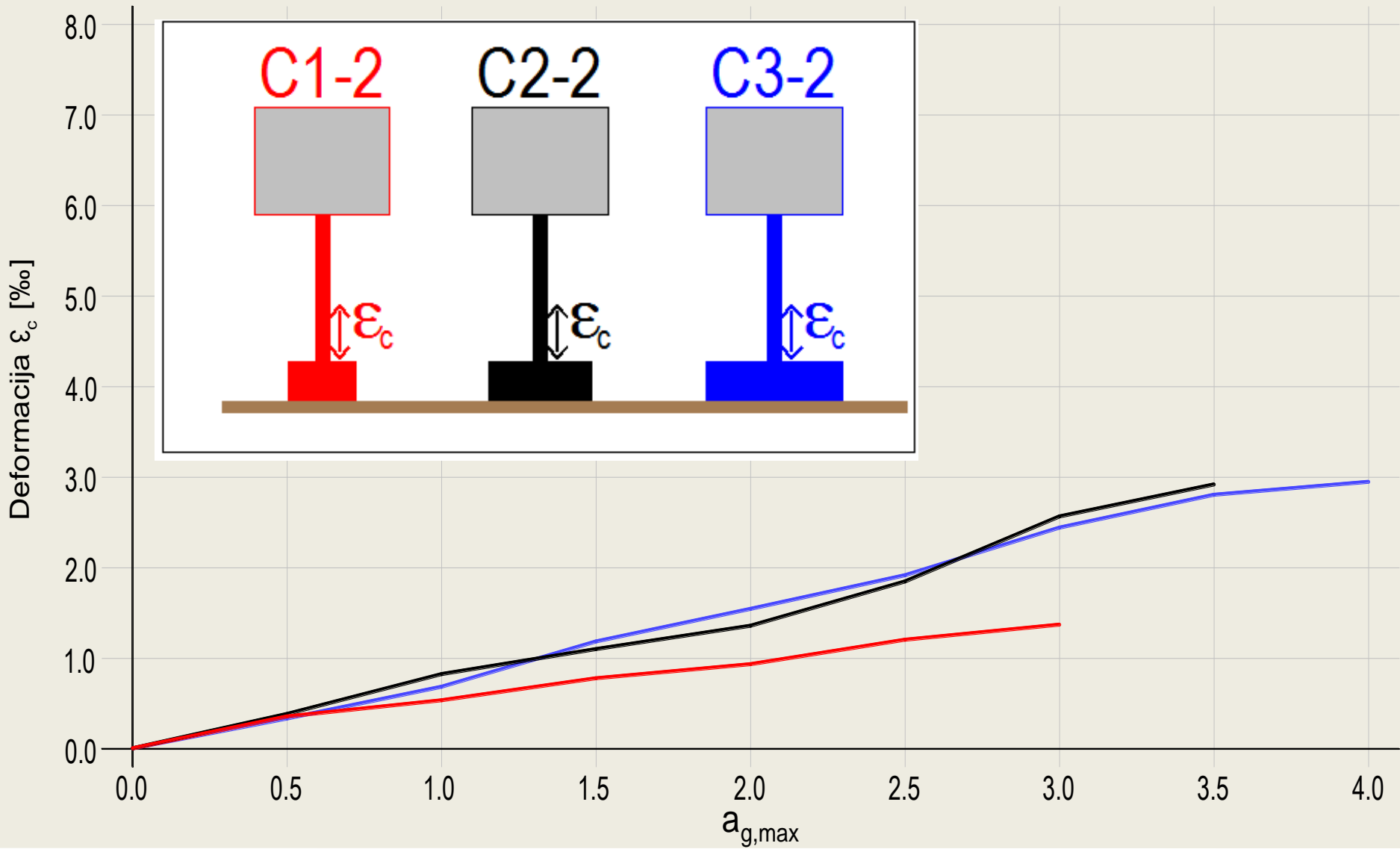
# Maksimalni pomaci vrha stupa u ovisnosti o maksimalnom ubrzavanju podlage



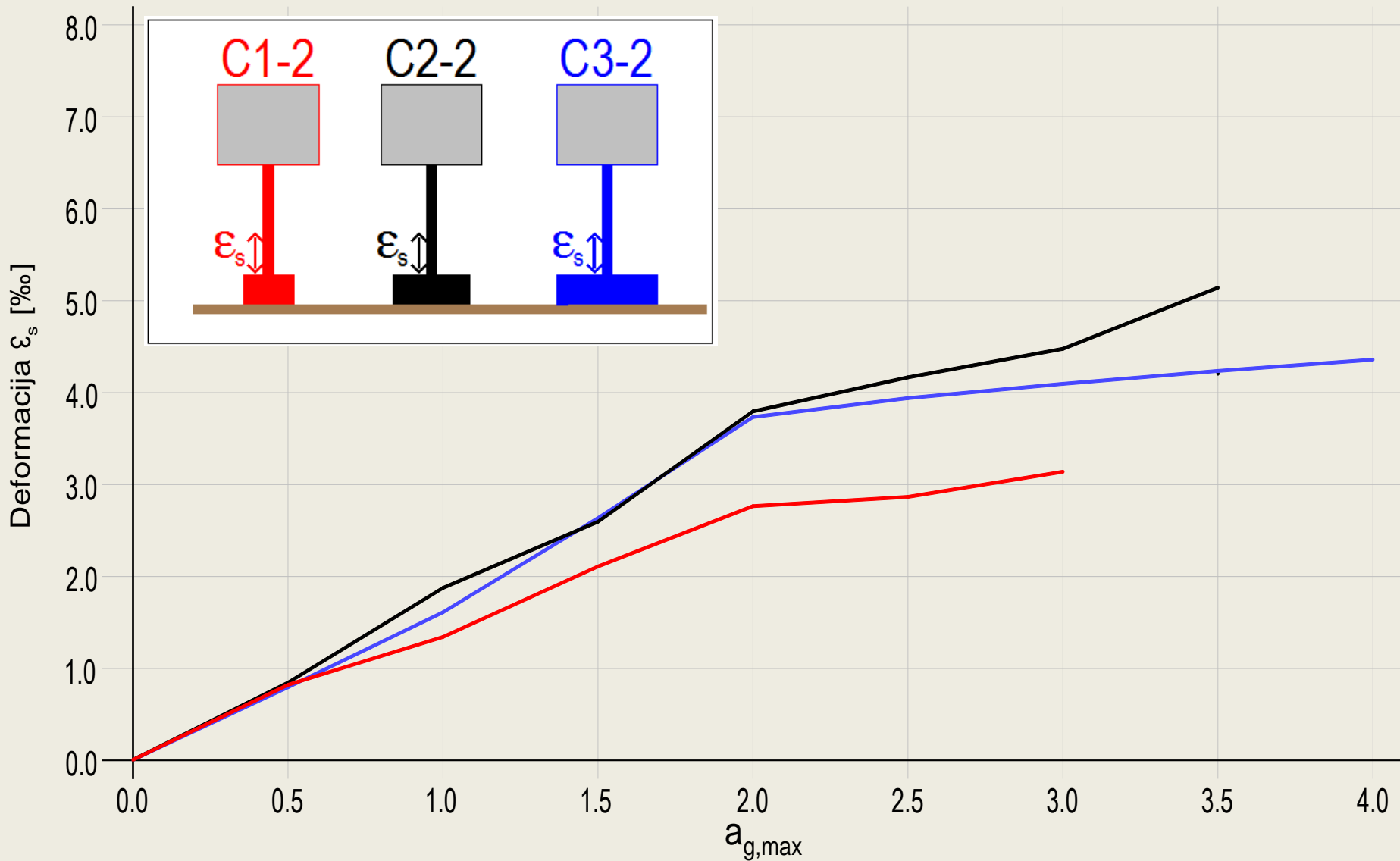
# Maksimalni pomaci vrha temelja u ovisnosti o maksimalnom ubrzjanju podlage



# Maksimalne deformacije betona u ovisnosti o maksimalnom ubrzaju podloge



# Maksimalne deformacije armature u ovisnosti o maksimalnom ubrzaju podloge

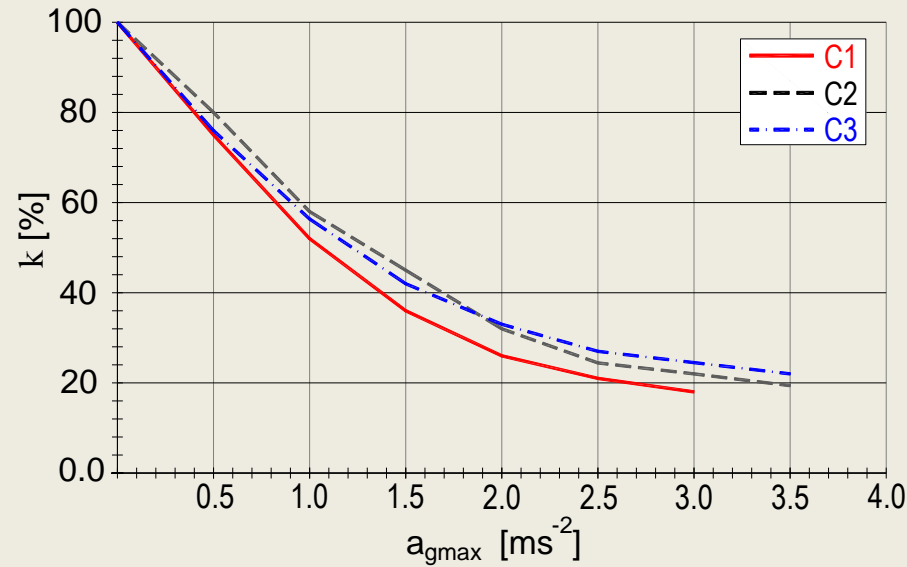
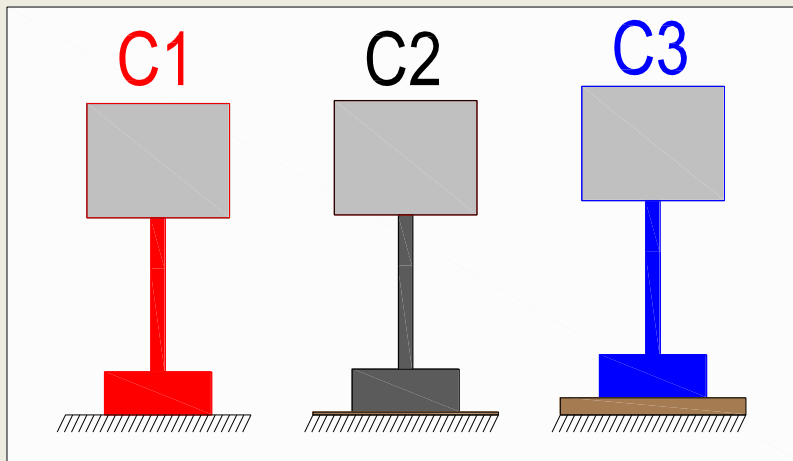
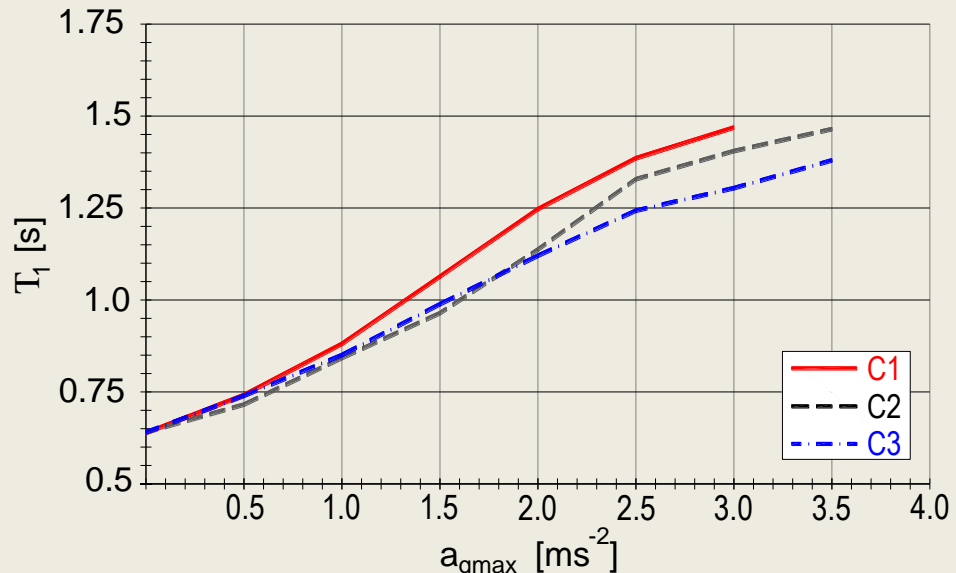


➤ Prvi period nakon svake od pobuda

$$T = \frac{2\pi}{\omega} \quad \omega = \frac{2\pi}{T}$$

$$\omega = \sqrt{\frac{k}{m}} \quad k = m \times \omega^2$$

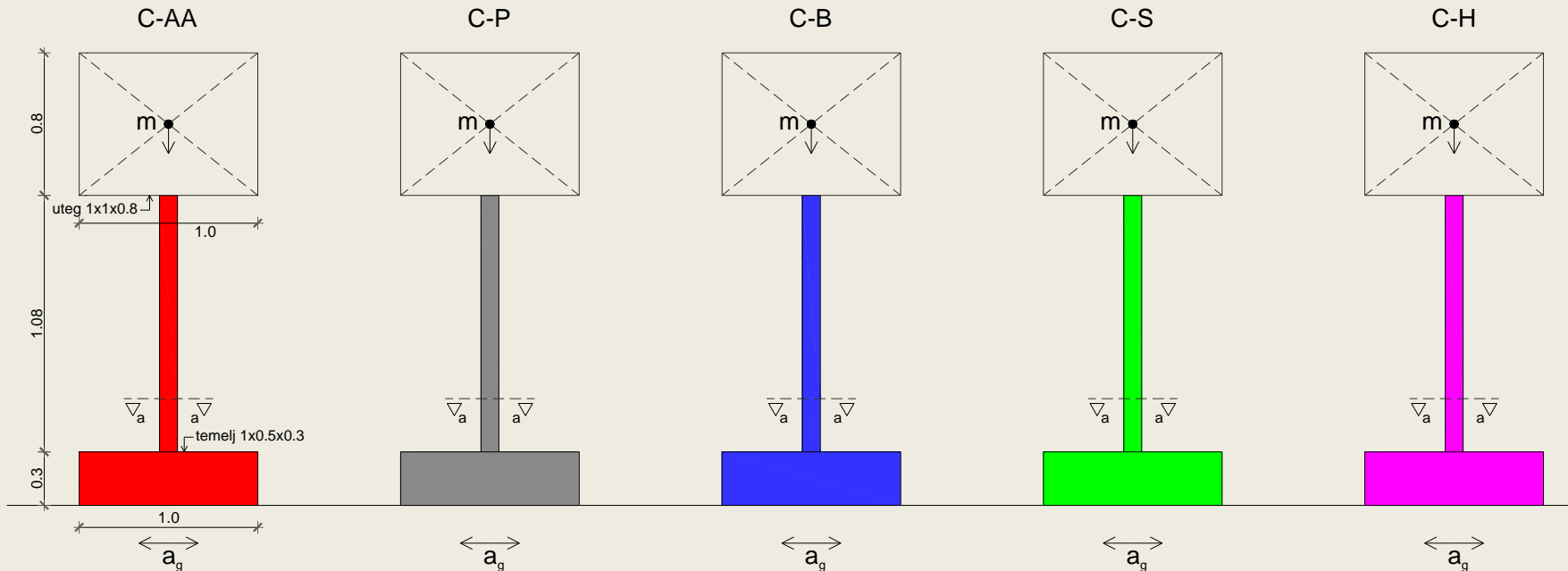
$$k = m \times \frac{4\pi^2}{T^2}$$



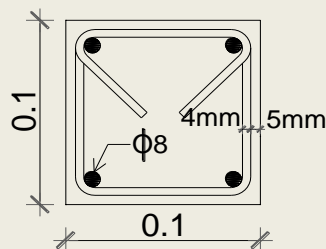
- **Na temelju analize rezultata provedenih eksperimentalnih testova, mogu se donijeti niže navedeni zaključci:**
- Pri potresu dolazi do dinamičke interakcije sustava konstrukcija-temelj-tlo, pri tome svaka od navedenih sastavnica utječu na ponašanje sustava.
  - Umetanje sloja kamenog šljunka ili pijeska između dna temelja i čvrstog tla mijenja ponašanje stupova pri potresu.
  - Uz pravilno projektiranje, taj sloj može poslužiti kao protupotresna izolacija.
  - Ponašanje stupova s temeljima na debelom sloju pijeska bilo je povoljnije nego ponašanje stupova koji su bili pridržani za platformu.



# Eksperimentalno istraživanje utjecaja tipa potresa na ponašanje armiranobetonskih konzolnih stupova



Presjek a-a



$$\lambda = 75$$

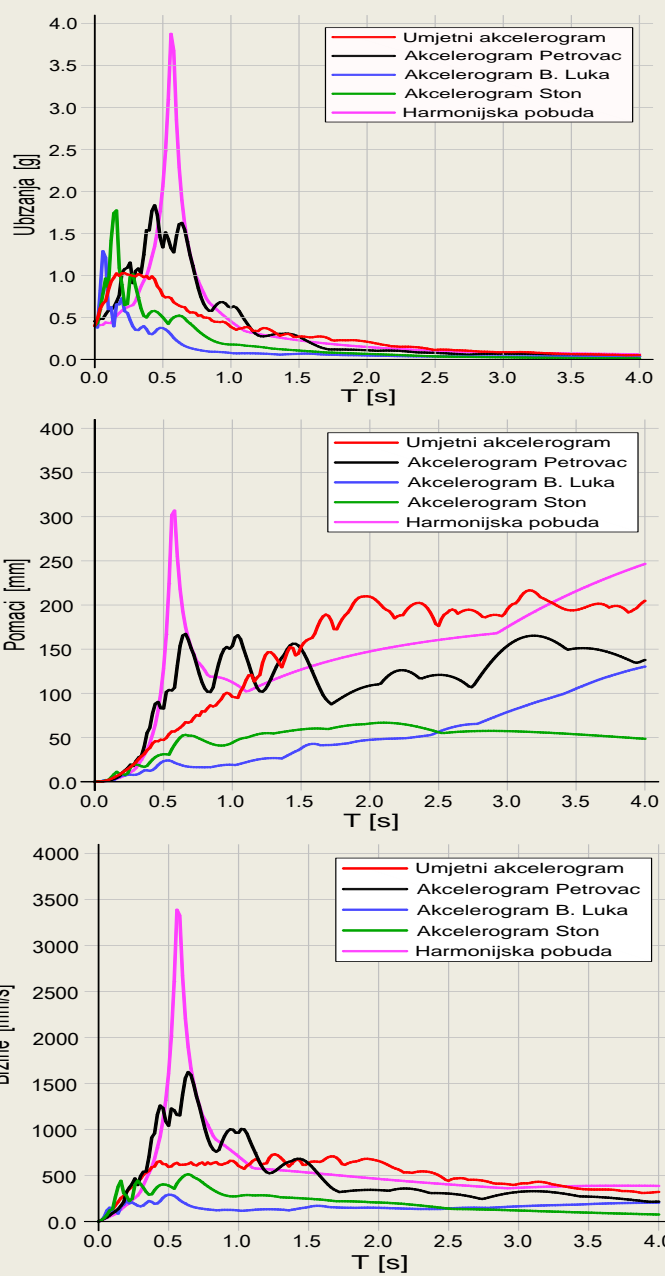
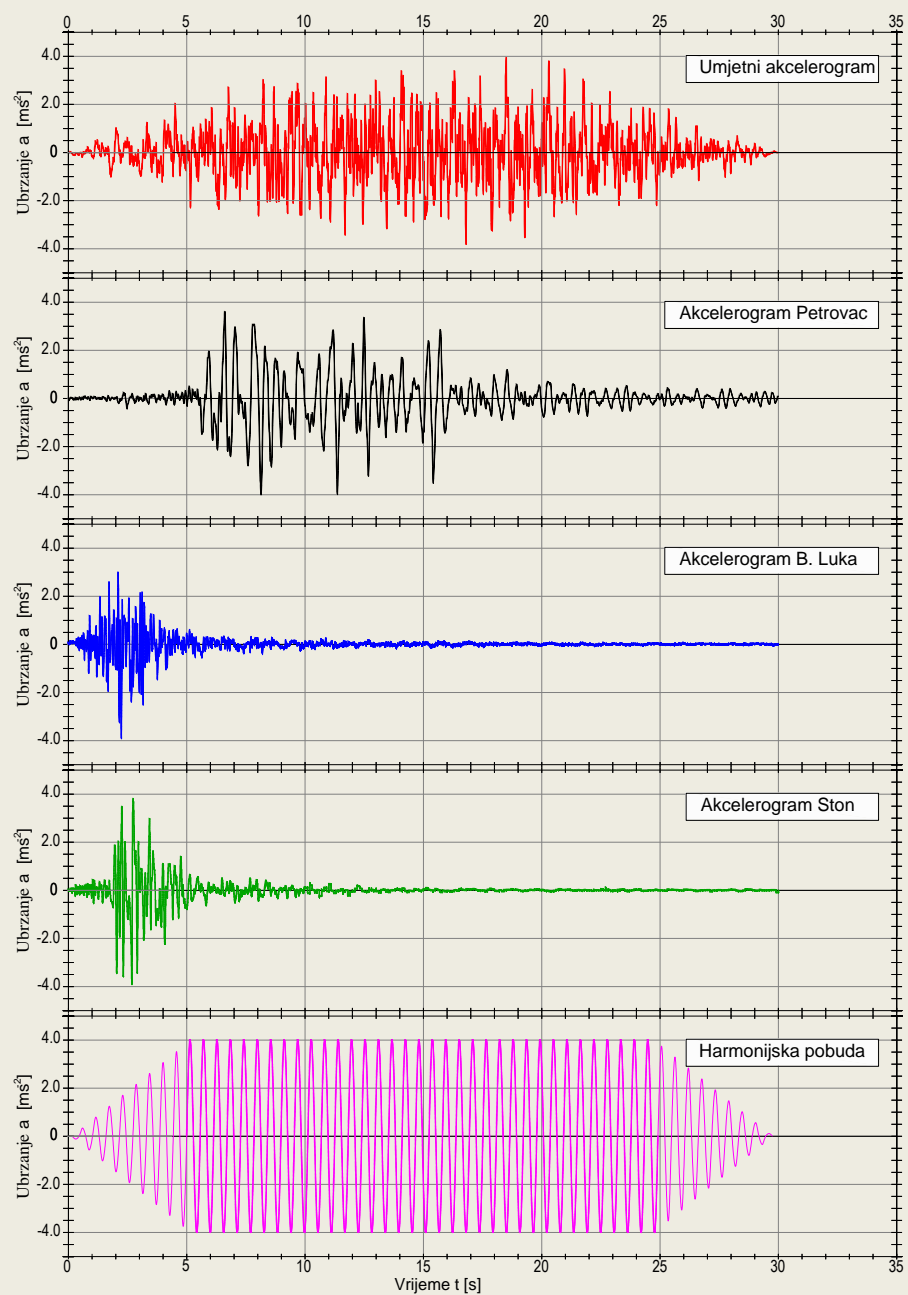
$$m = 2 \text{ t}$$

širina temelja 0.5 m

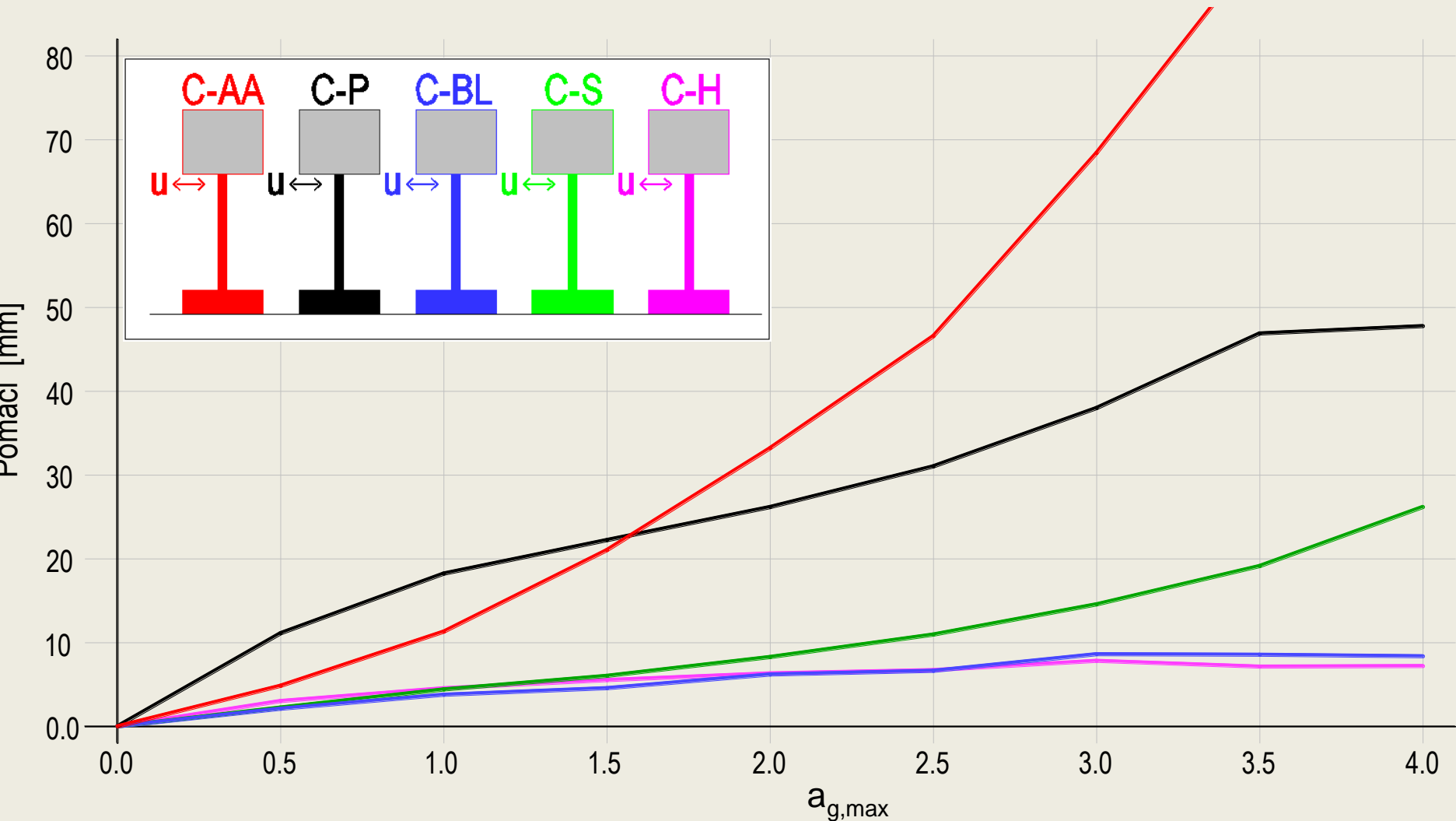
beton:  $f_c = 37.2 \text{ MPa}$

armatura:  $f_s = 605 \text{ MPa}$

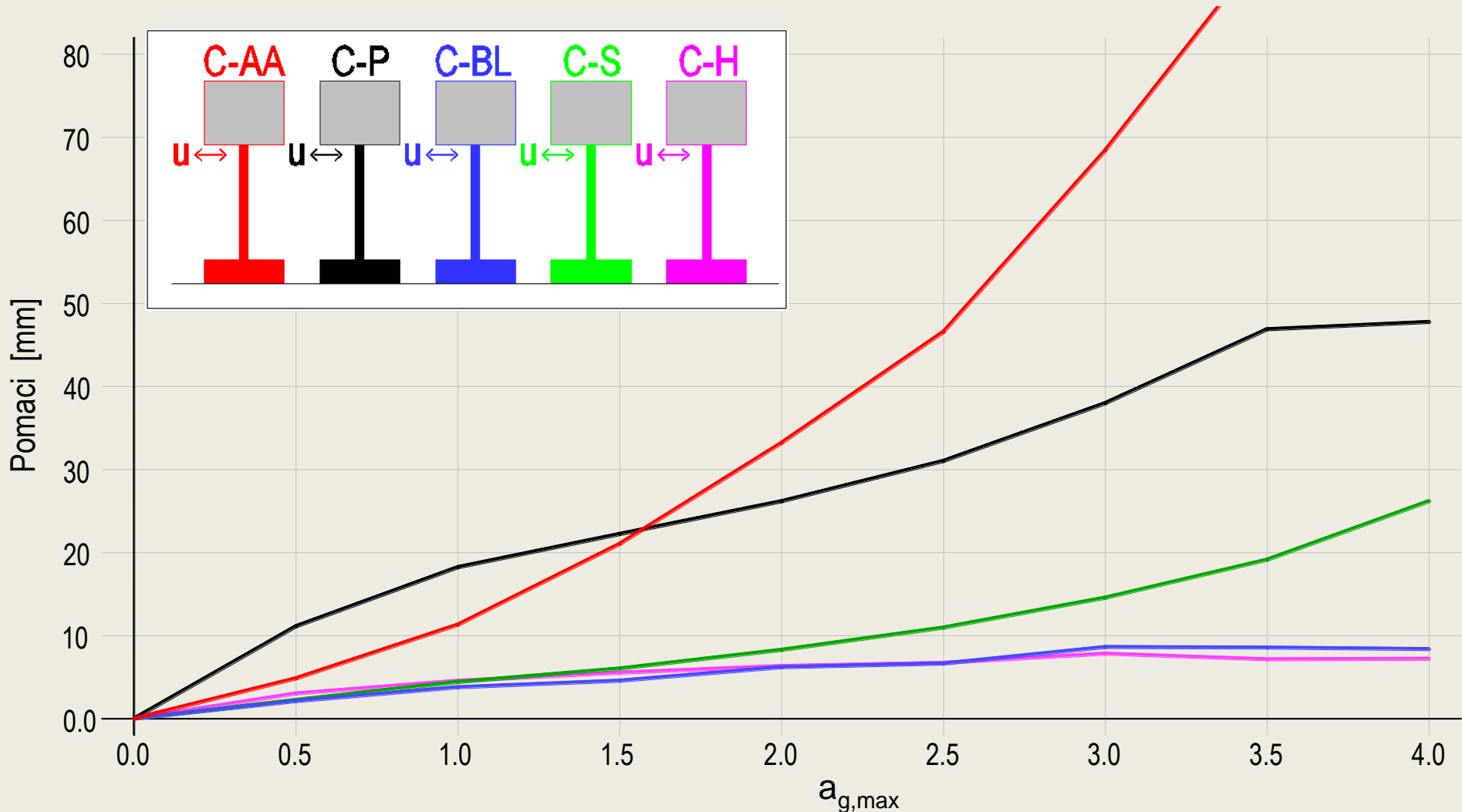




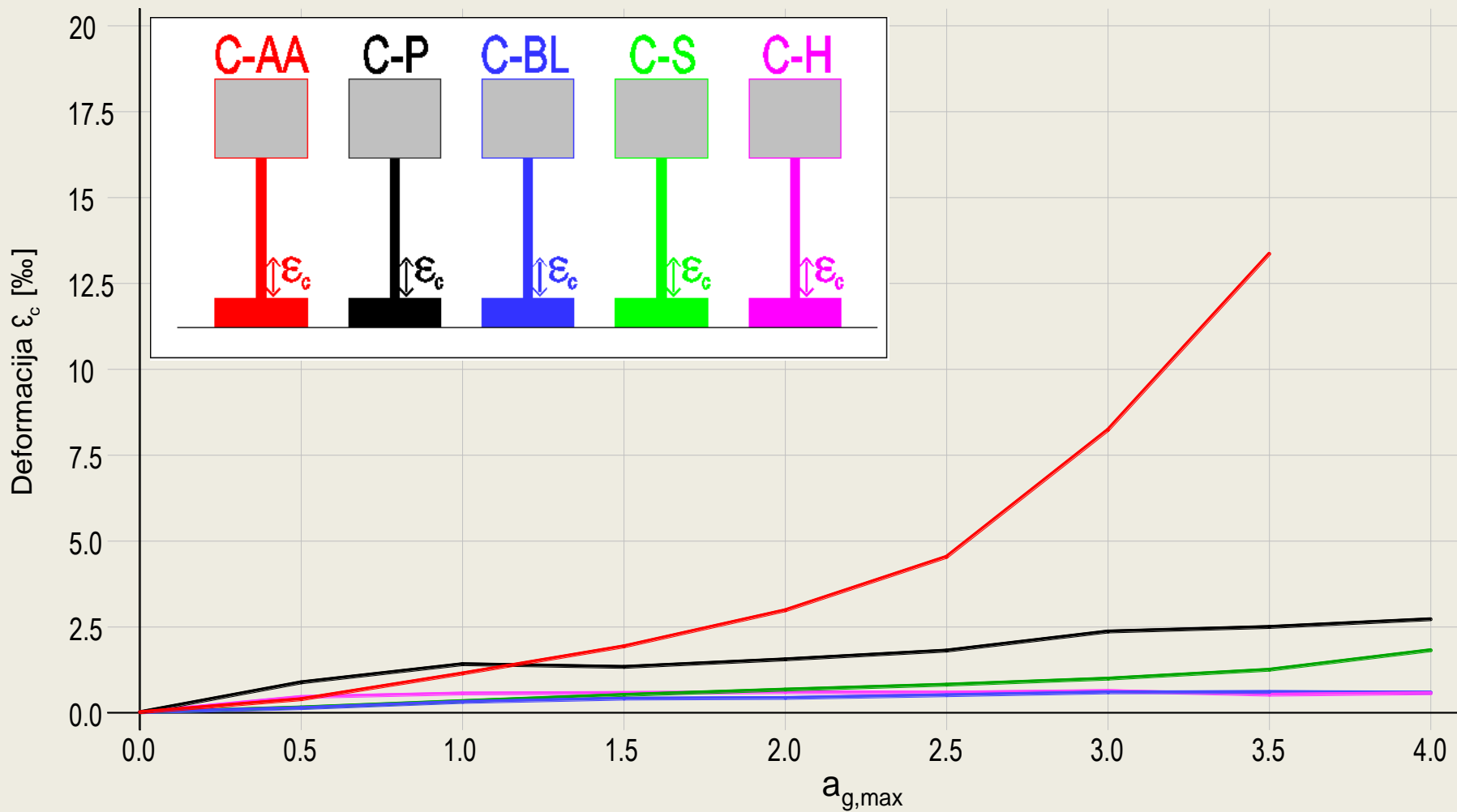
# Maksimalni pomaci vrha stupa u ovisnosti o maksimalnom ubrzaju podloge za različite pobude



# Maksimalni pomaci vrha stupa u ovisnosti o maksimalnom ubrzaju podloge za različite pobude



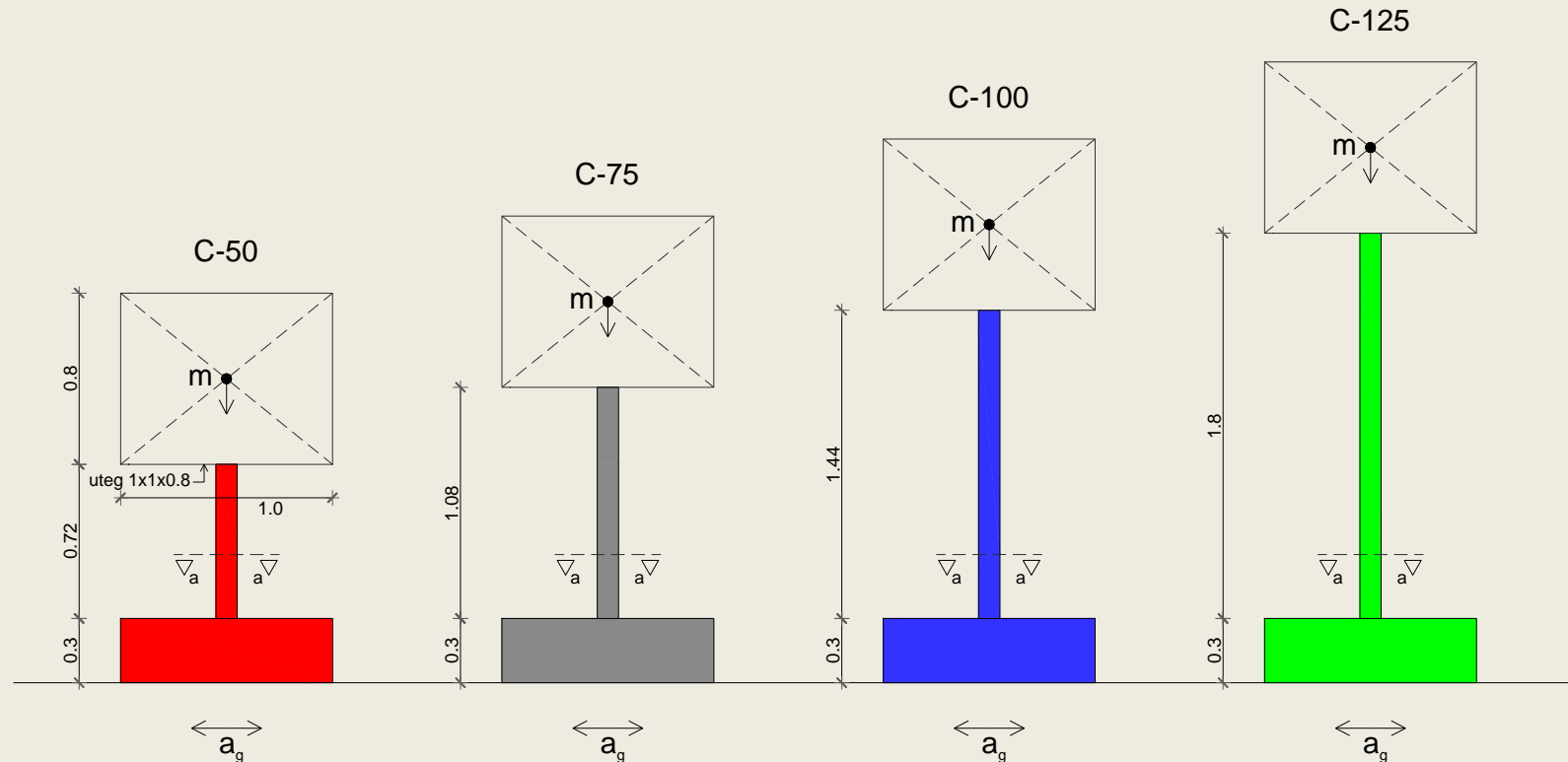
# Maksimalne (tlačne) deformacije betona u ovisnosti o maksimalnom ubrzajuju podloge za različite pobude



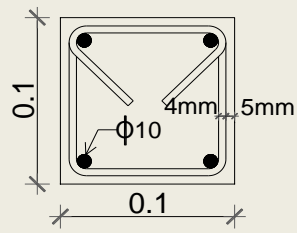
- **Na temelju analize rezultata provedenih eksperimentalnih testova, mogu se donijeti niže navedeni zaključci:**
  - Pri dinamičkim analizama potresne otpornosti realnih građevina treba koristiti što više registriranih akcelerogama prethodnih potresa na predmetnim lokacijama iz što bližih područja, kao i umjetno generirane akcelerogramme.
  - Za različite tipove građevina (meke, srednje krute, krute) treba odabrati najnepovoljnije očekivane tipove akcelerograma.
  - Predominantni period odabralih akcelerograma treba biti veći od osnovnog perioda elastične konstrukcije.
  - Pri formiranju umjetnog akcelerograma na bazi elastičnog spektra odgovora, horizontalni dio krivulje maksimalnih spektralnih ubrzanja treba usvojiti dostatno dug, vodeći računa o realnoj mogućnosti pojave takvog potresa.



# Eksperimentalno istraživanje utjecaja visine (vitkosti) armiranobetonskih stupova na njihovo ponašanje pri potresu



Presjek a-a



$$\lambda = 50-125$$

$$m = 2 \text{ t}$$

širina temelja 0.5 m

beton:  $f_c = 37.2 \text{ MPa}$

armatura:  $f_s = 605 \text{ MPa}$



# Izgled karakterističnih stupova prije ispitivanja

Stup	Kružna frekvencija $\omega_1$ (rad /s)	Period $T_1$ (s)	Prirodna frekvencija $f_1$ (Hz)
C-50	13.4994	0.4654	2.1485
C-75	9.8175	0.6400	1.5625
C-100	7.0673	0.8890	1.1248
C-125	5.9841	1.0500	0.9524



C-50



C-75



C-100



C-125

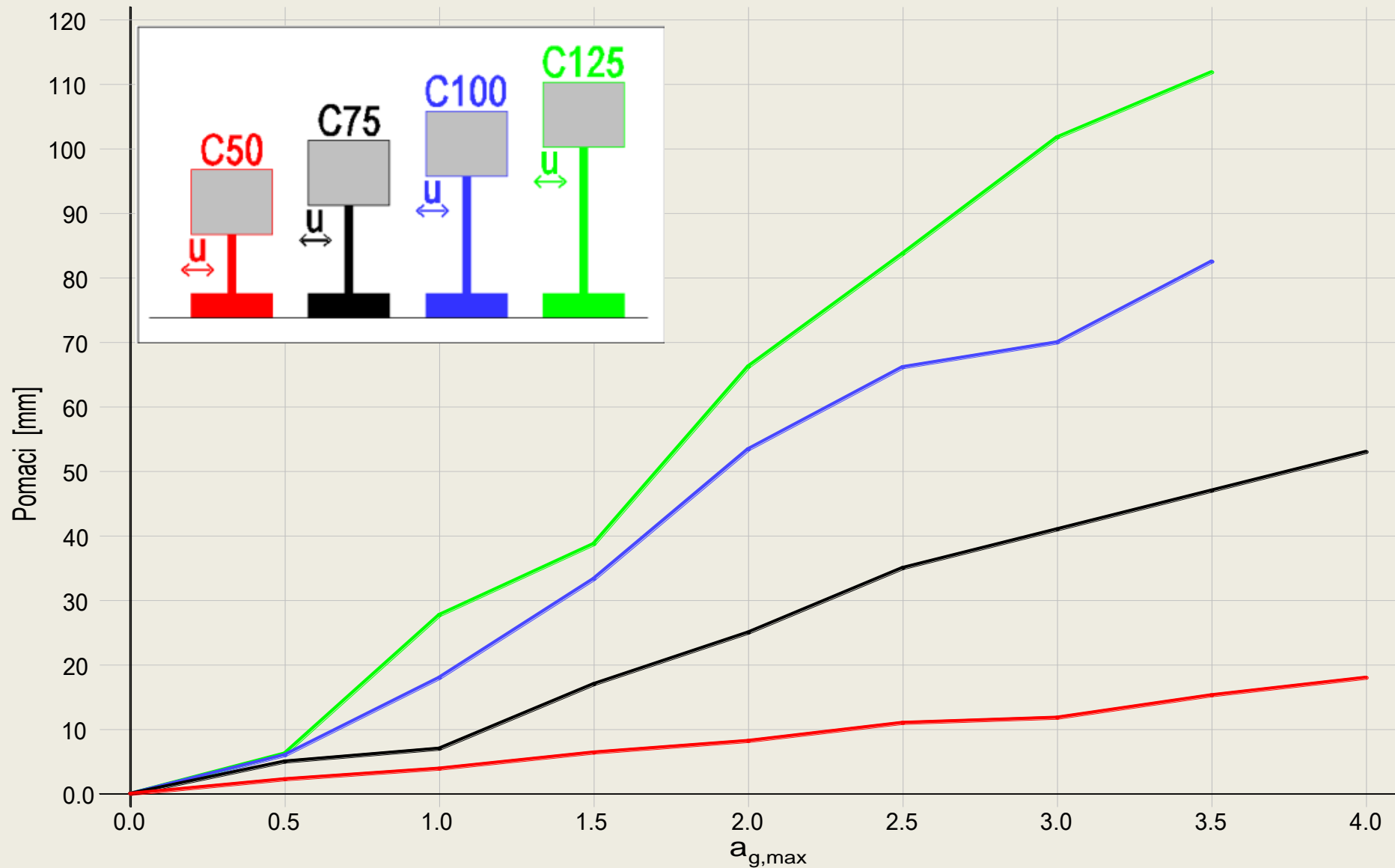


Nikola Grgić , Jure Radnić

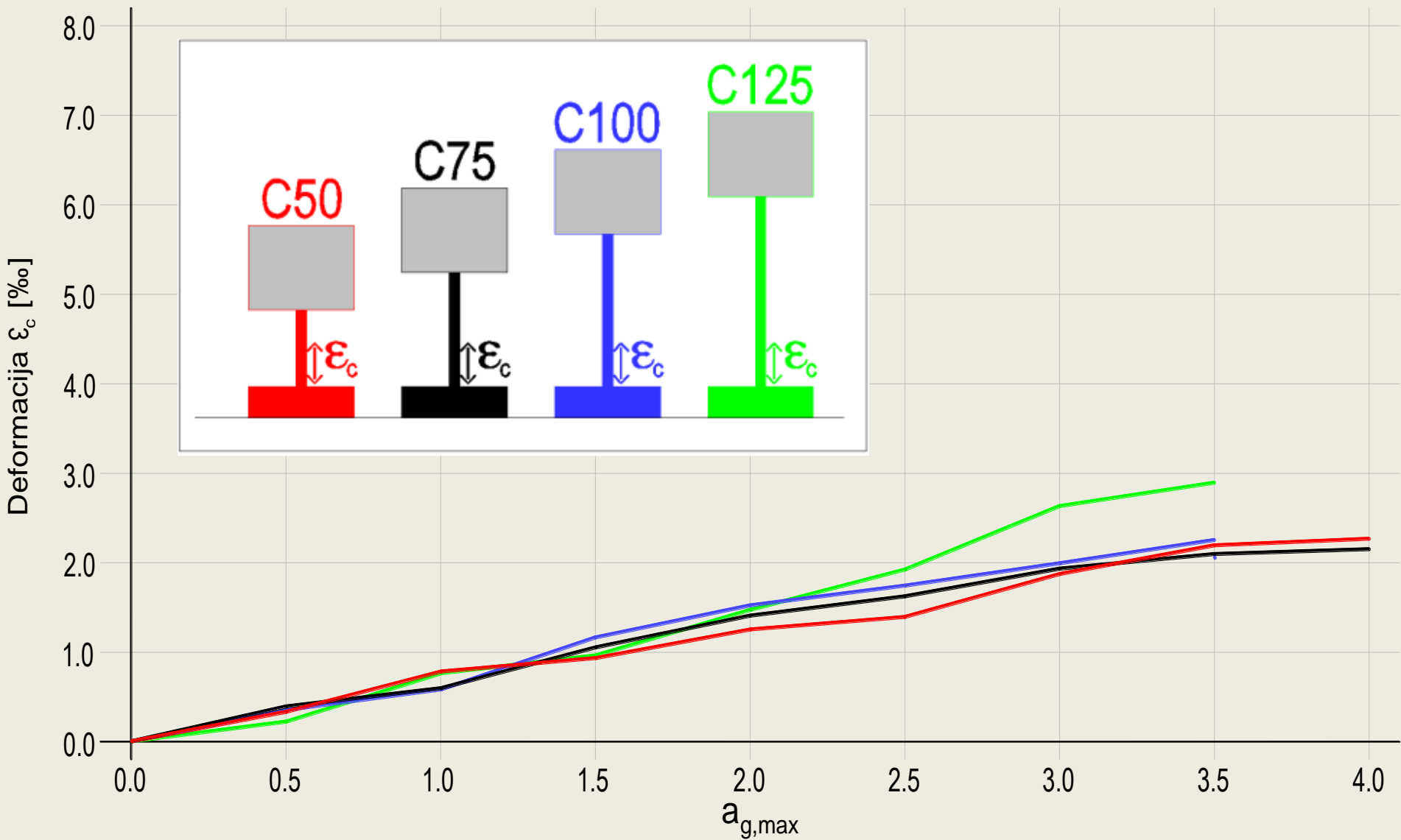
HKIG – Opatija 2019.



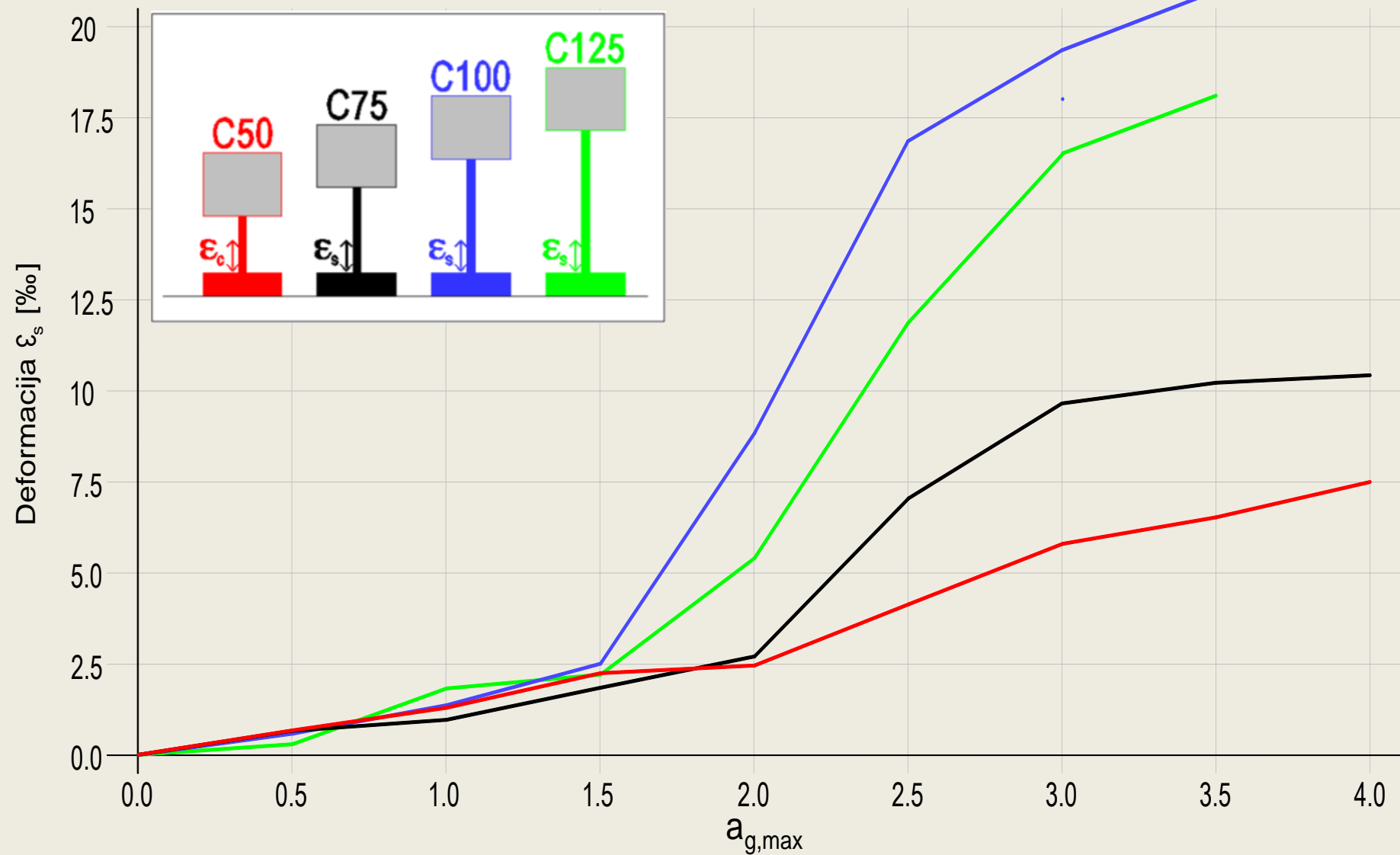
# Maksimalni pomaci vrha stupa u ovisnosti o maksimalnom ubrzanzju podloge za različite pobude



# Maksimalne (tlačne) deformacije betona u ovisnosti o maksimalnom ubrzajuju podloge za različite pobude



# Maksimalne deformacije armature u ovisnosti o maksimalnom ubrzanzju podloge za različite pobude

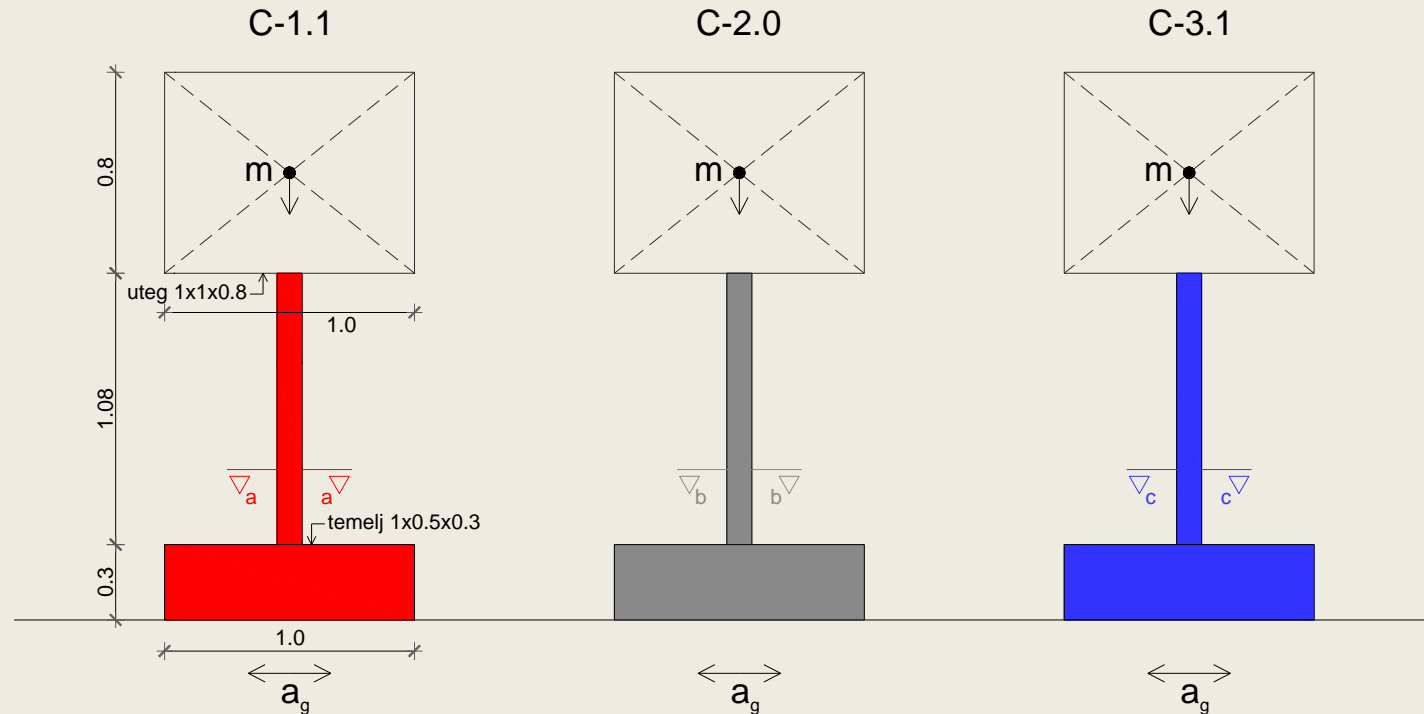


- **Na temelju analize rezultata provedenih eksperimentalnih testova, mogu se donijeti niže navedeni zaključci:**

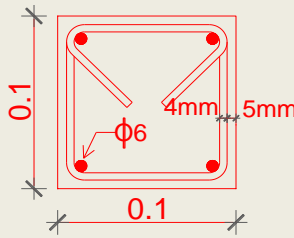
- Vitkost stupova ima značajan utjecaj na njihovo ponašanje i graničnu nosivost pri potresu.
- U odnosu na utjecaj vitkosti pri statičkom opterećenju, pri provedenim testovima razmatranih stupova izloženih horizontalnom ubrzanju podloge on nije bio jako izražen.
- Relativno povoljnije ponašanje vitkih stupova pri potresu nego pri stalnom vertikalnom opterećenju objašnjava se time da su generirane potresne sile u konstrukciji funkcije vremena (nisu stacionarne), da su u izravnoj ovisnosti o tekućoj krutosti konstrukcije, te da se gibanje konstrukcije prilagođava dinamičkoj pobudi.
- Vitki stupovi su mekši i podatniji pri potresu, te se znatno lakše prilagode gibanju podloge.



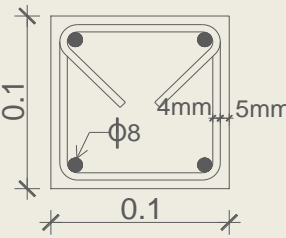
# Eksperimentalno istraživanje utjecaja količine vertikalne armature na ponašanje armiranobetonskih stupova pri potresu



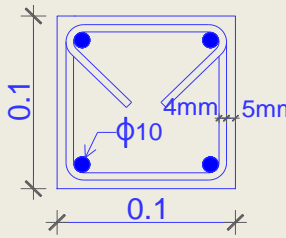
Presjek a-a



Presjek b-b



Presjek c-c



$$\lambda=75$$

$$m= 2 \text{ t}$$

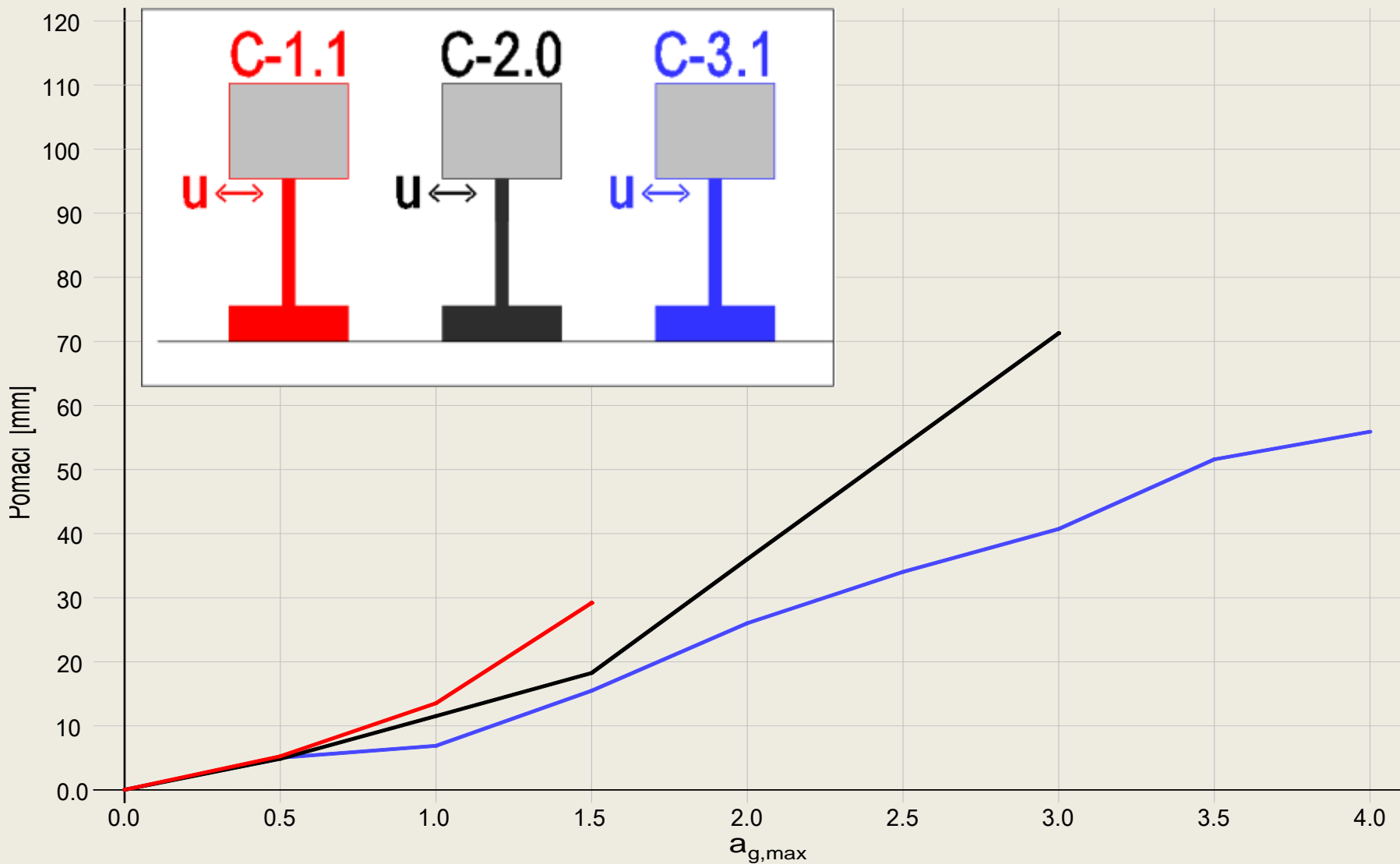
širina temelja 0.5 m

beton:  $f_c = 37.2 \text{ MPa}$

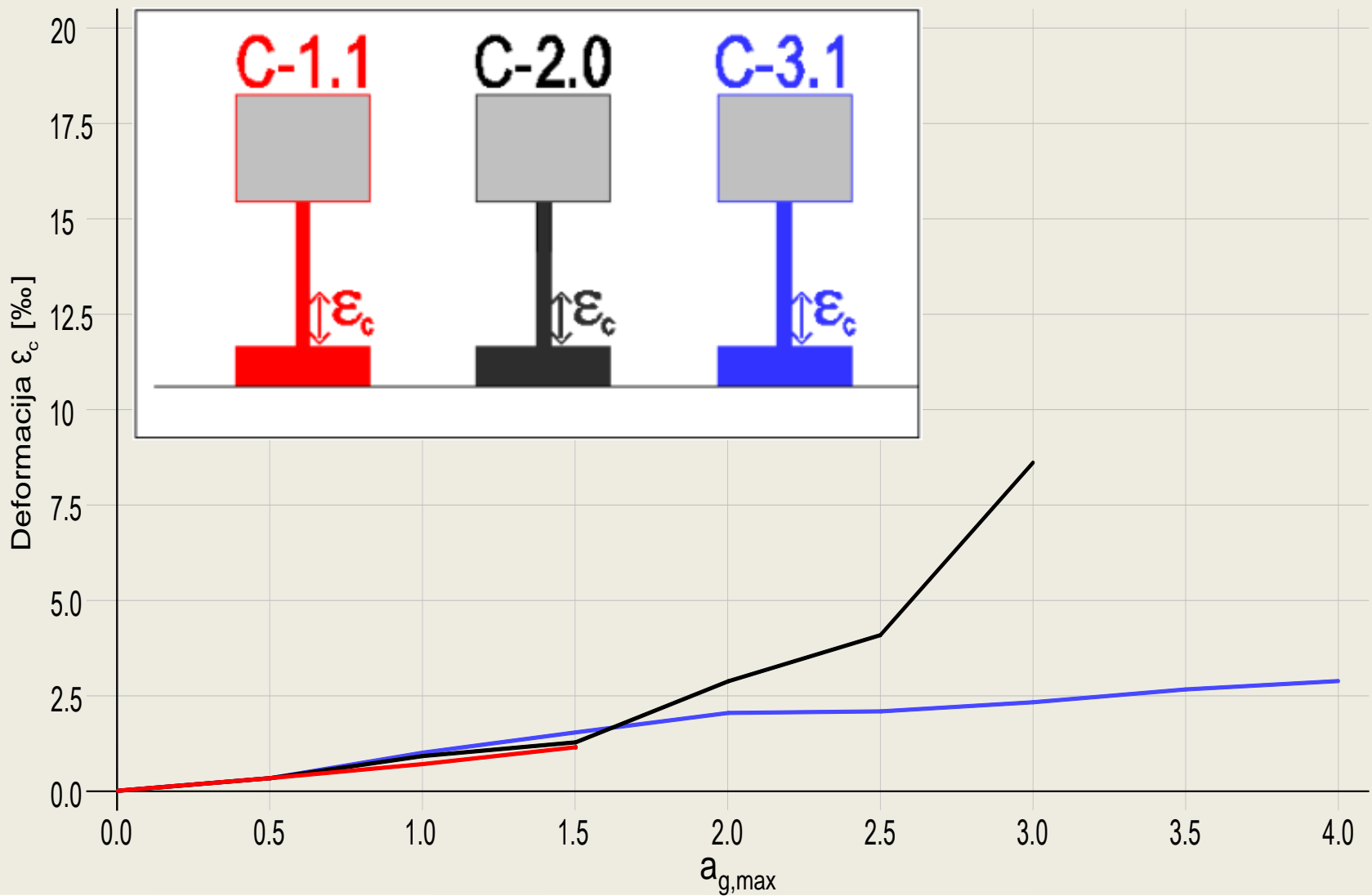
armatura:  $f_s = 605 \text{ MPa}$



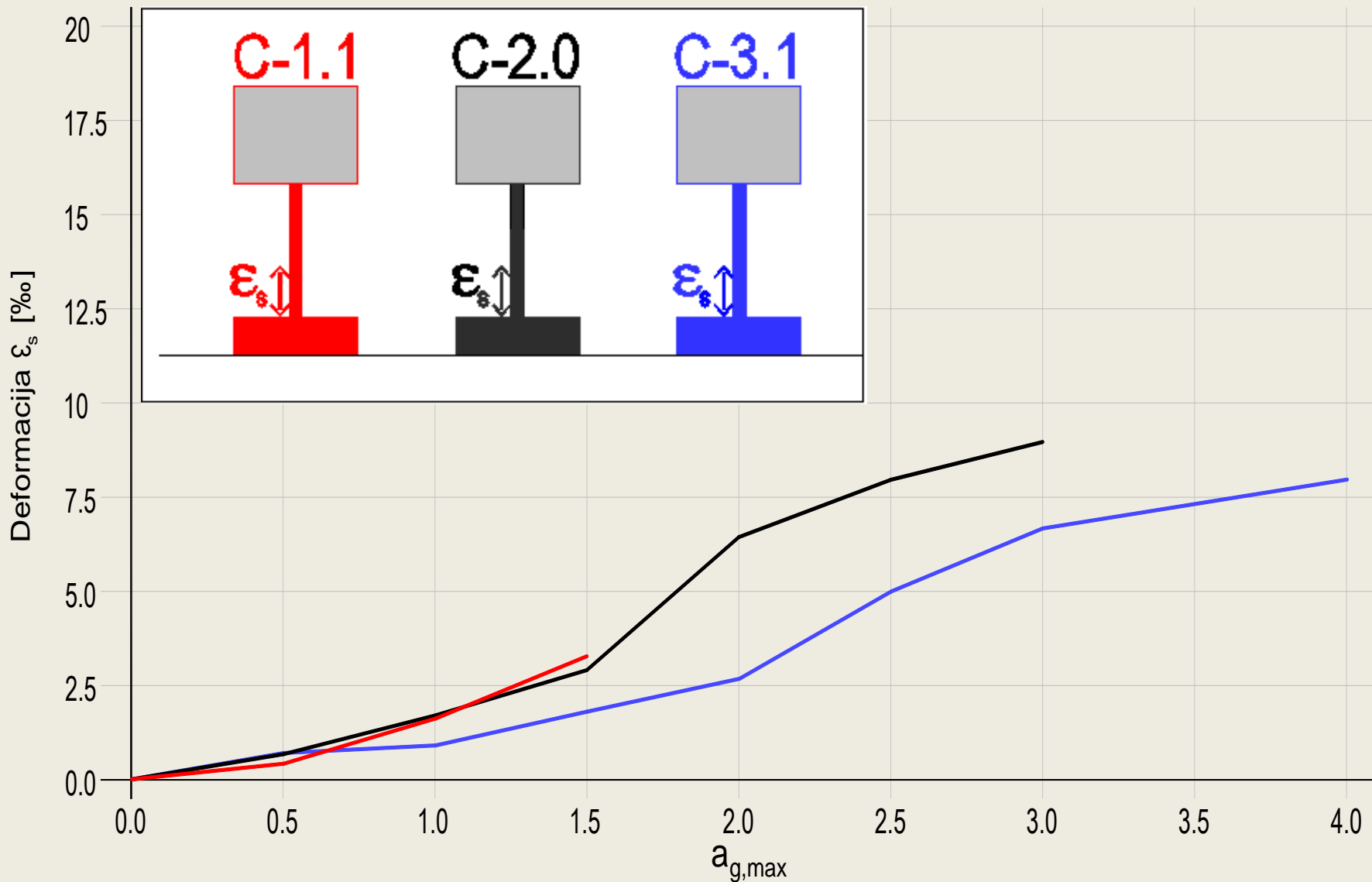
# Maksimalni pomaci vrha stupa u ovisnosti o maksimalnom ubrzaju podloge za različite pobude



# Maksimalne deformacije betona u ovisnosti o maksimalnom ubrzaju podloge za različite pobude



# Maksimalne deformacije armature u ovisnosti o maksimalnom ubrzaju podloge za različite pobude



# C-1.1



# C-2.0



# C-3.1

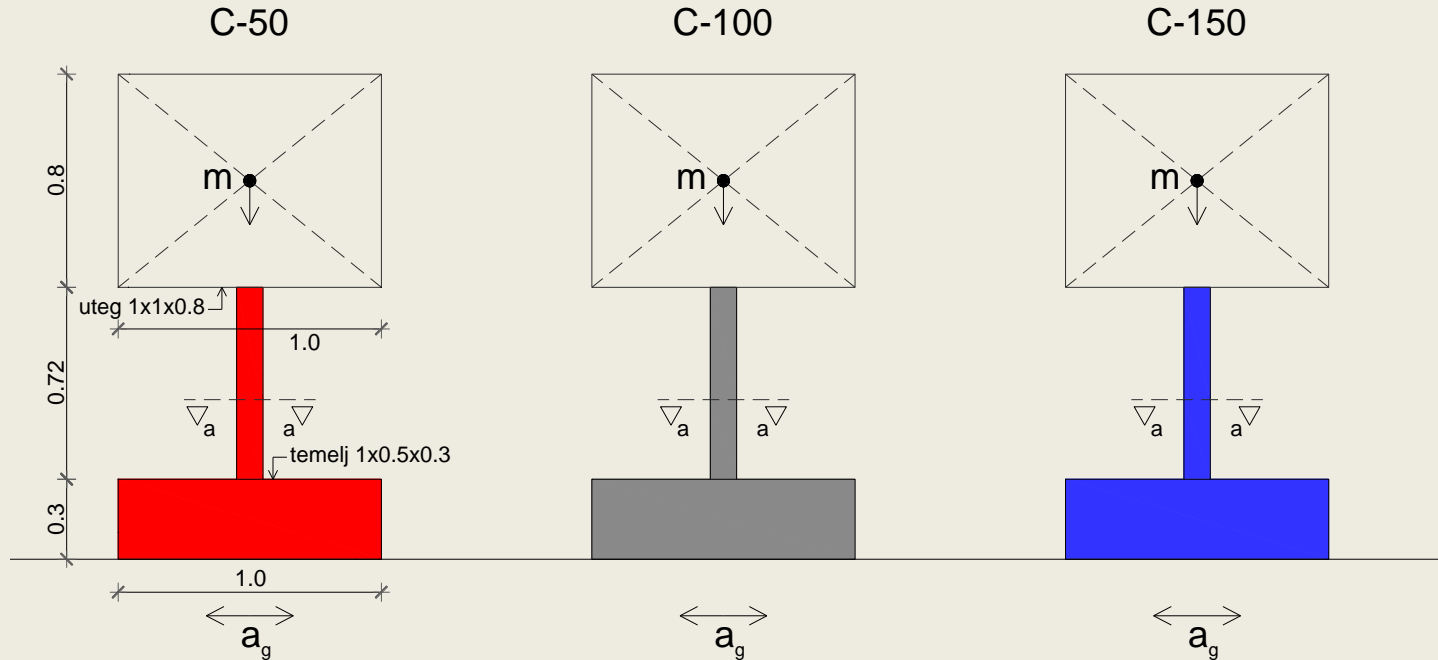


- **Na temelju analize rezultata provedenih eksperimentalnih testova, mogu se donijeti niže navedeni zaključci:**

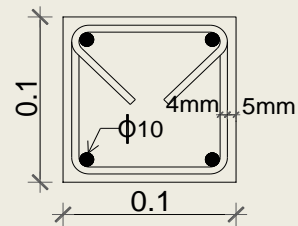
- Povećanjem količine (površine) uzdužne armature smanjuju se maksimalni pomaci stupa, kao i deformacije u armaturi i betonu, te mu se značajno povećava granična nosivost.
- Povećanje granične nosivosti nije proporcionalno povećanju količine uzdužne armature.
- Veća tlačna armatura u stupu značajno povećava tlačnu nosivost stupa, smanjuje tlačne deformacije u betonu i doprinosi njegovoј duktilnosti.
- Pri projektiranju stupova u područjima s jačim očekivanim potresima treba koristiti visoke postotke armiranja uzdužnom armaturom, a izbjegavati stupove s malim postotkom armiranja.



# Eksperimentalno istraživanje utjecaja razmaka spona na ponašanje armiranobetonskih stupova pri potresu



Presjek a-a



$$\lambda=50$$

$$m= 2 \text{ t}$$

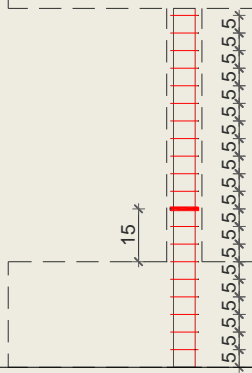
širina temelja 0.5 m

beton:  $f_c = 37.2 \text{ MPa}$

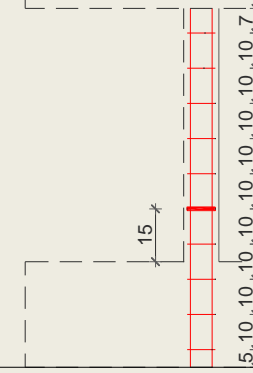
armatura:  $f_s = 605 \text{ MPa}$



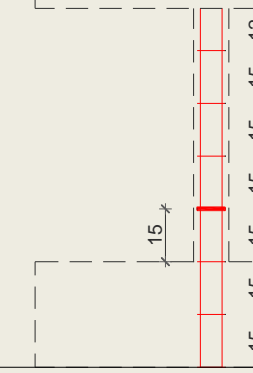
**C-50**



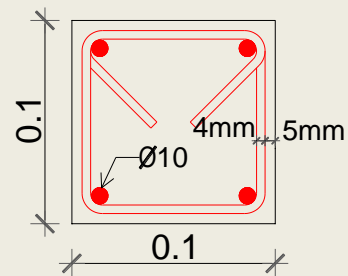
**C-100**



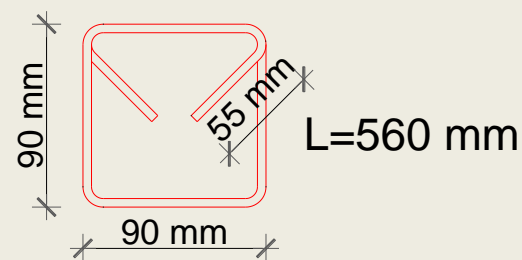
**C-150**



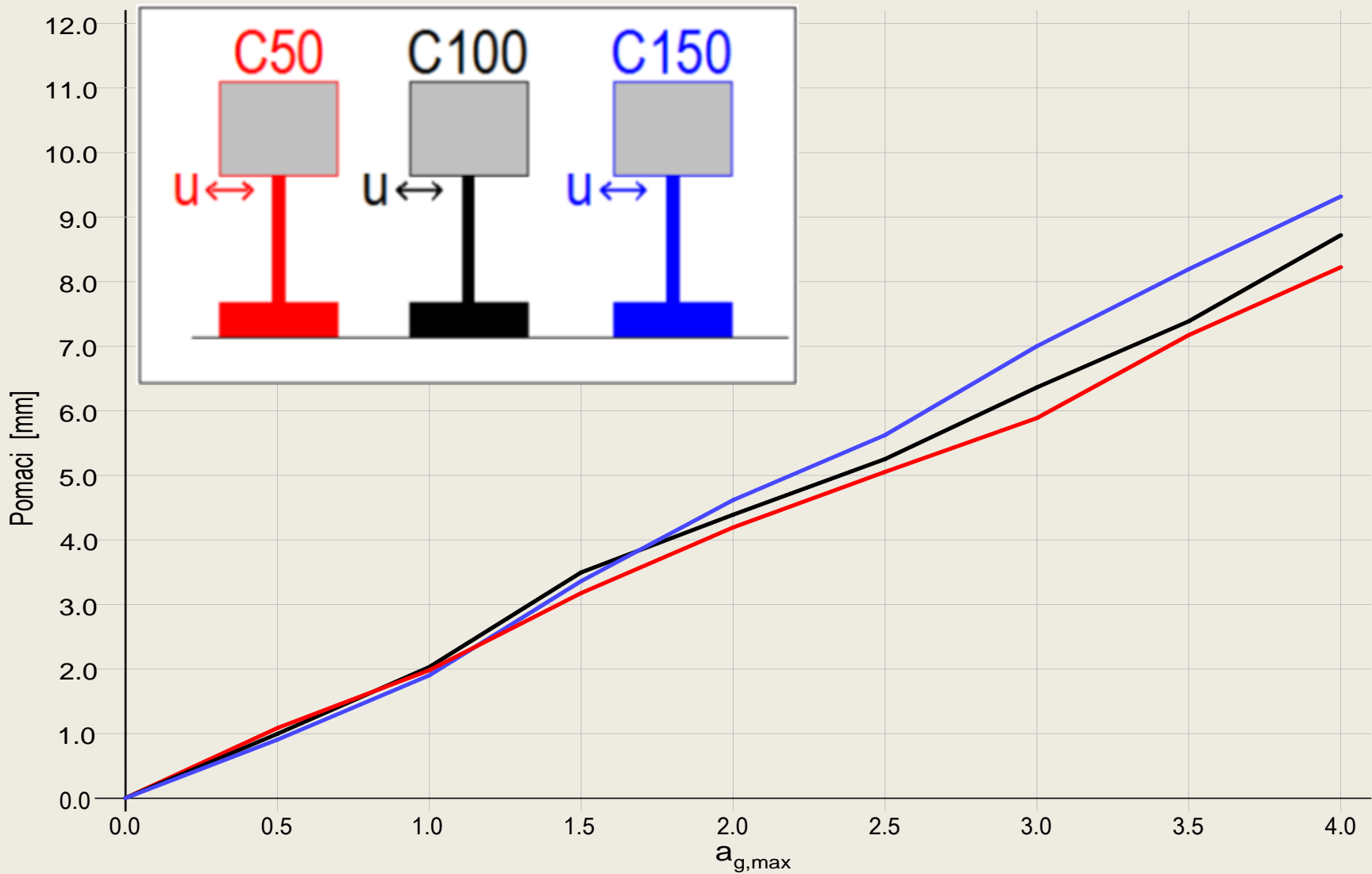
**Presjek kroz stup**



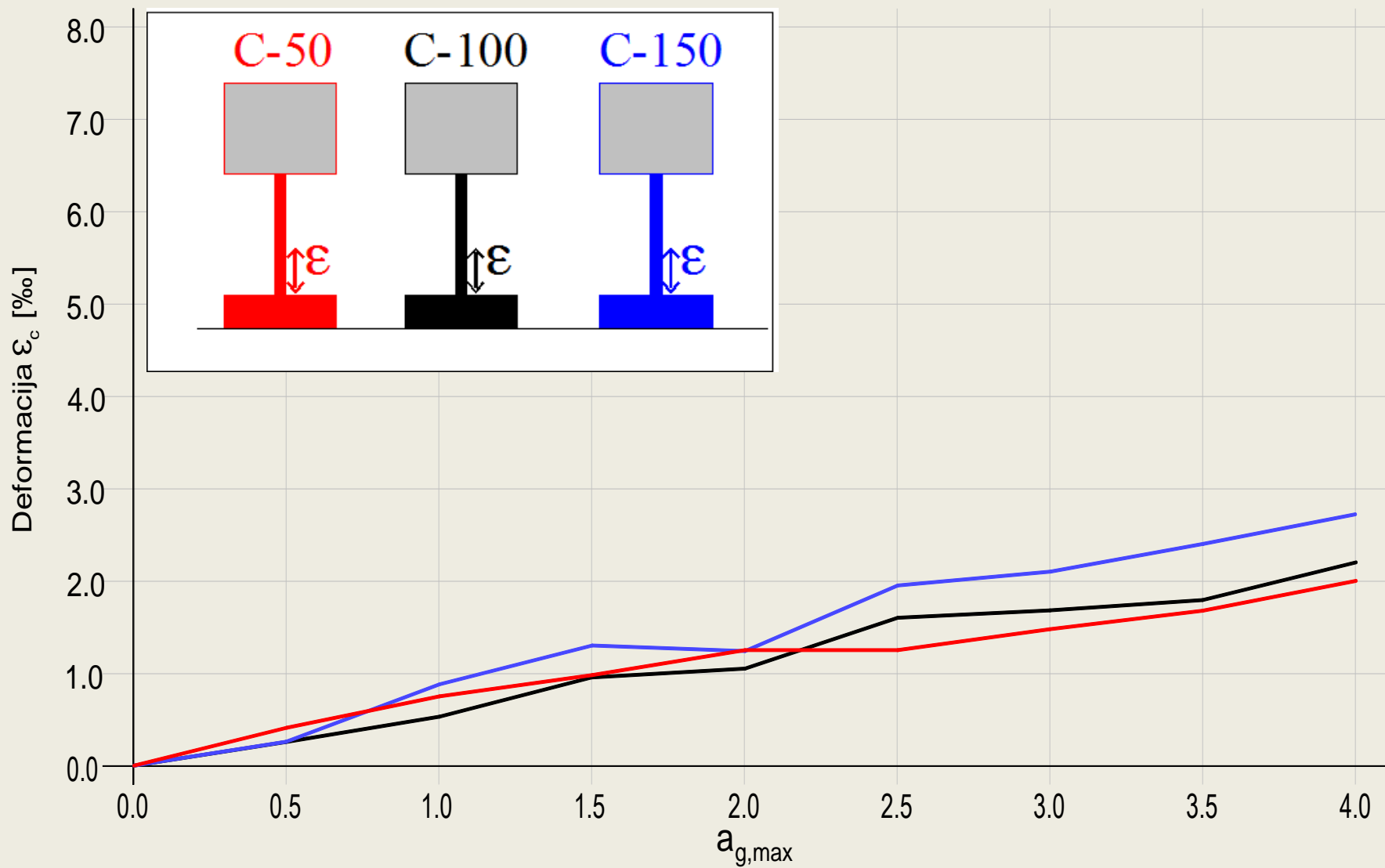
**Spona Ø 4.2 mm**



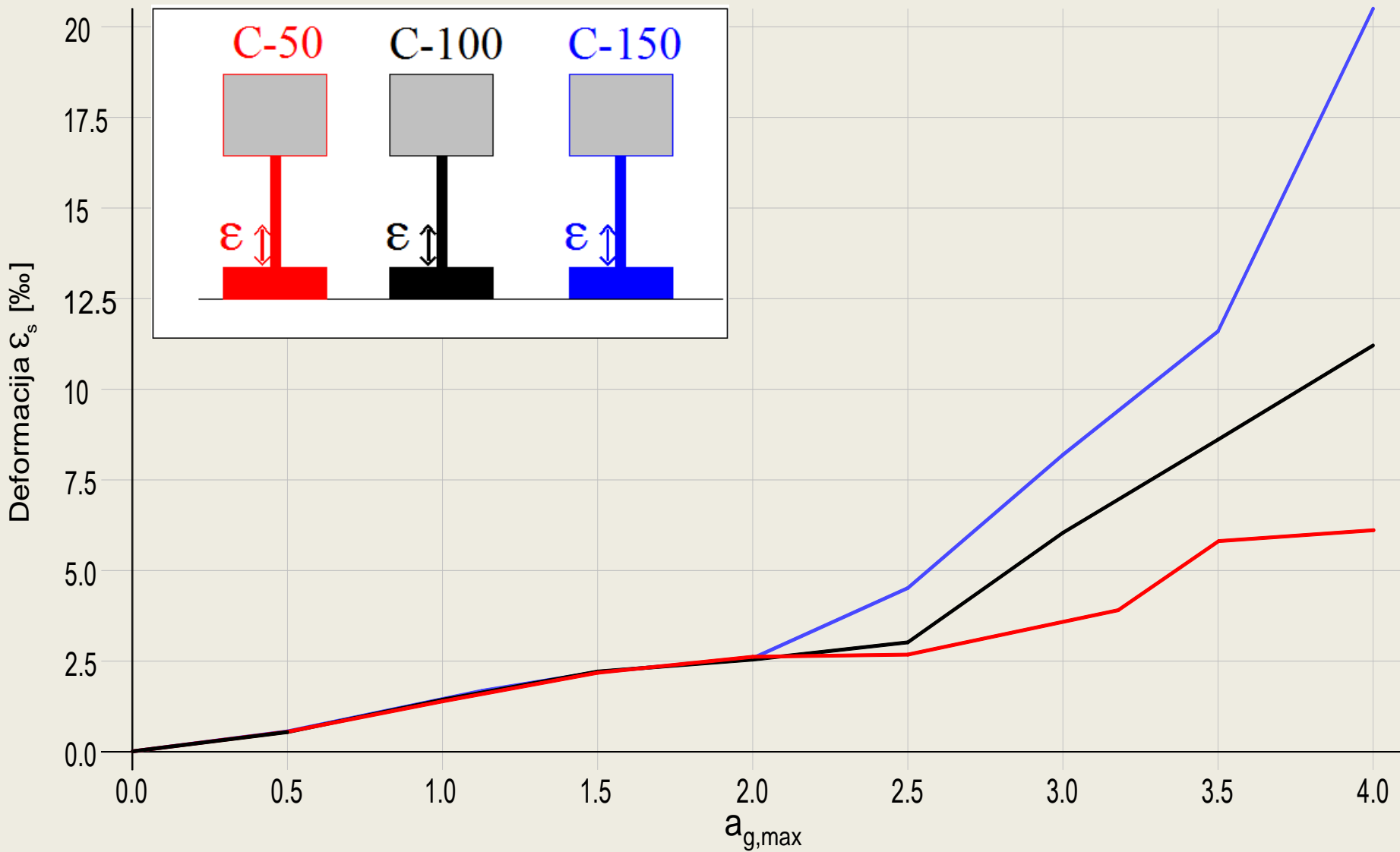
# Maksimalni pomaci vrha stupa u ovisnosti o maksimalnom ubrzalu podloge za različite pobude



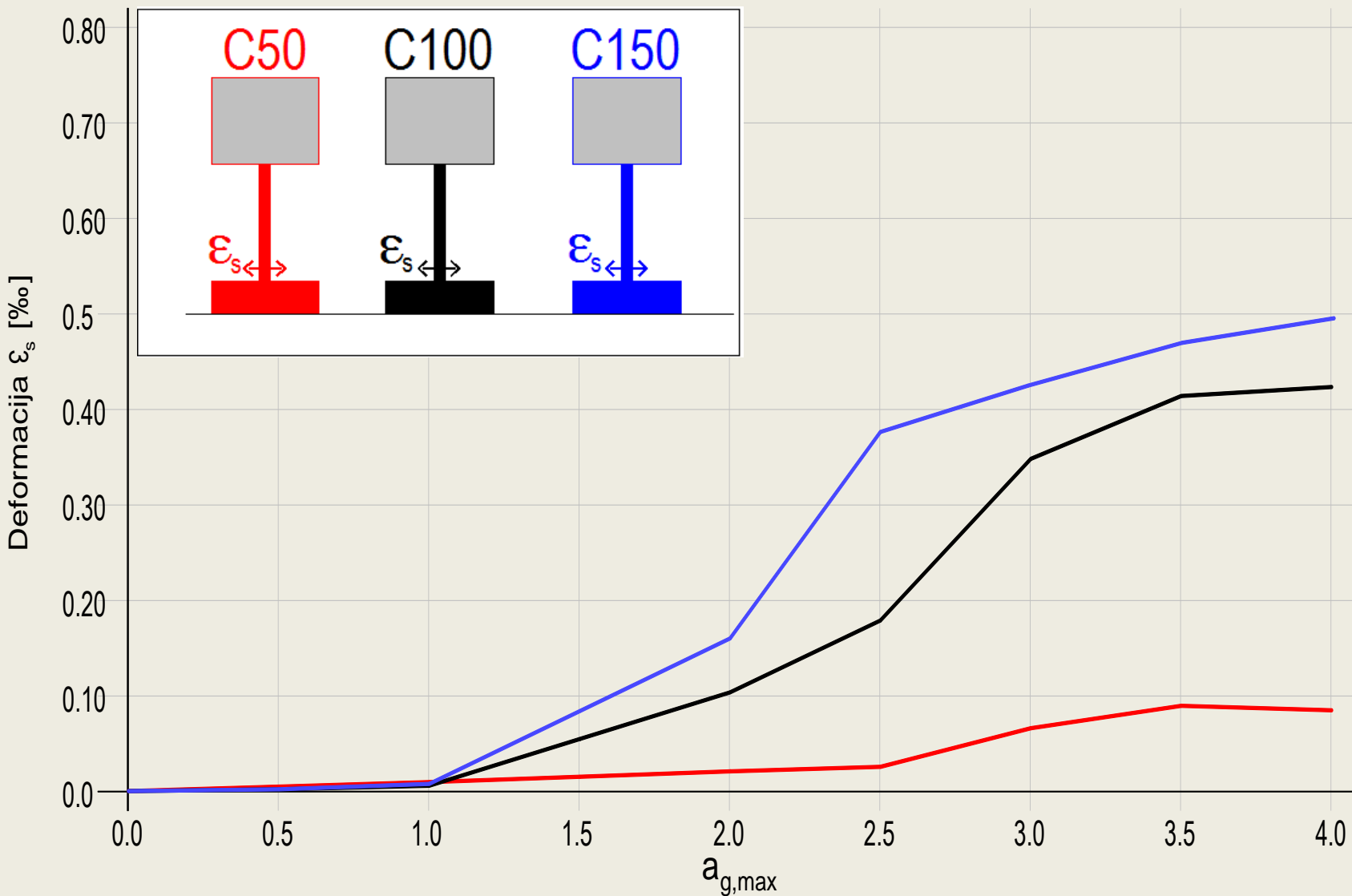
# Maksimalne deformacije betona u ovisnosti o maksimalnom ubrzaju podloge za različite pobude



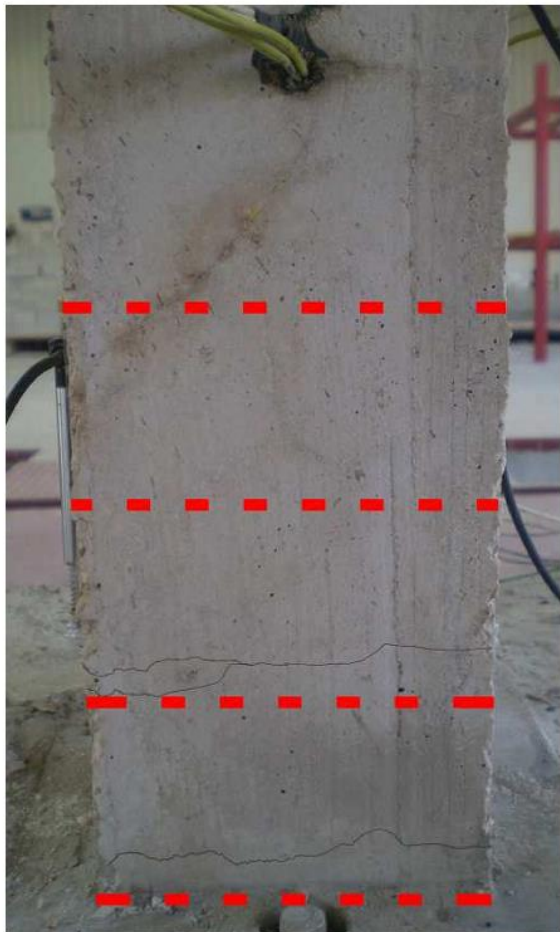
# Maksimalne deformacije armature u ovisnosti o maksimalnom ubrzajuju podloge za razlicite pobude



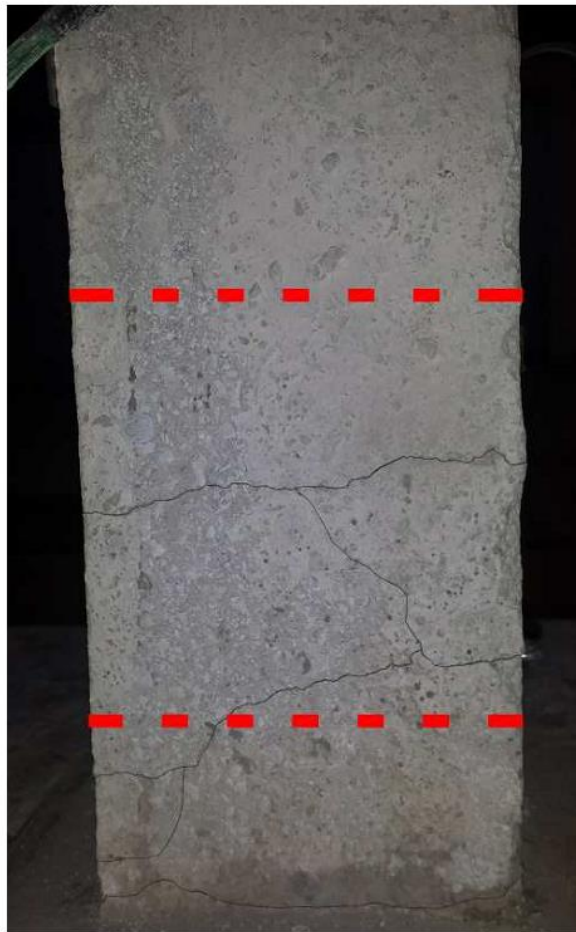
# Maksimalne deformacije poprečne armature u ovisnosti o maksimalnom ubrzajuju podloge za različite pobude



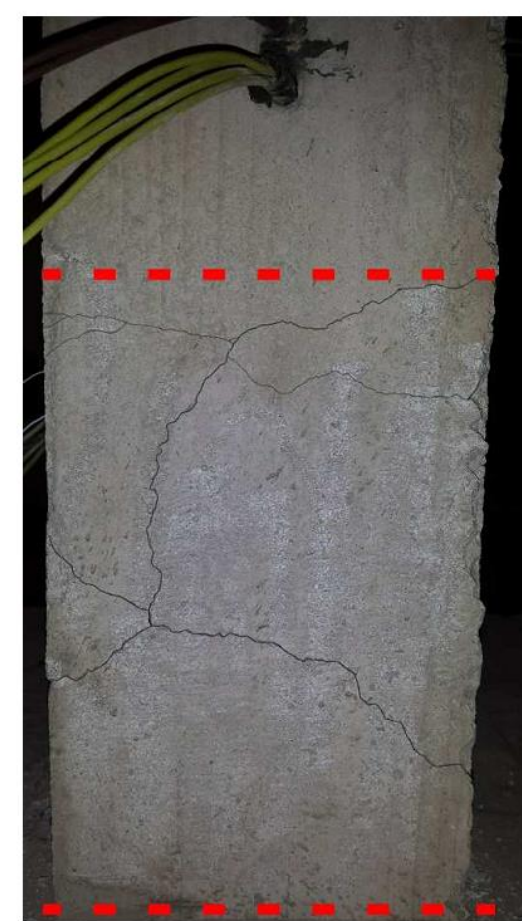
# Izgled stupova pri dnu nakon završenog testiranja



C-50



C-100



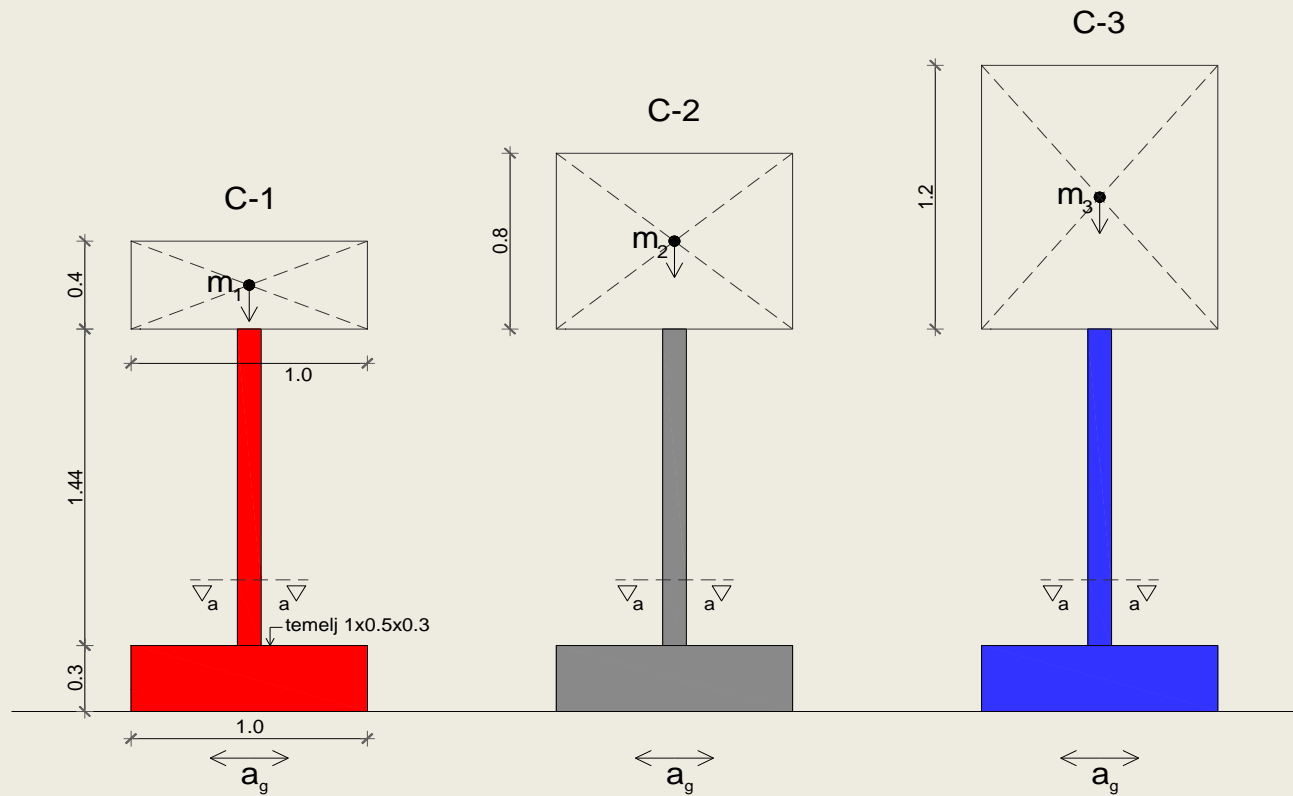
C-150

- **Na temelju analize rezultata provedenih eksperimentalnih testova, mogu se donijeti niže navedeni zaključci:**

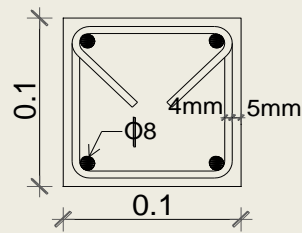
- Uz jednaki oblik i površinu poprečnog presjeka spona, razmak spona ima veliki utjecaj na ponašanje betonskih stupova pri potresu.
- Smanjenjem razmaka spona, stupovi se ukrućuju.
- Smanjivanjem razmaka spona značajno se reduciraju zone pukotina u betonu, smanjuje se razmak i širina pukotina. Također se smanjuju i deformacije (naprezanja) u sponama.
- Povećava se tlačna nosivost betona. Smanjuje se deformacija vertikalne armature, odnosno povećava se nosivost armature.
- Treba preferirati što manji razmak spona u stupu, uz adekvatno smanjenje njenog profila, vodeći računa o mogućnosti kvalitetne ugradnje betona.



# Eksperimentalno istraživanje utjecaja veličine mase na vrhu armiranobetonskih stupova na njihovo ponašanje pri potresu



Presjek a-a



$$\lambda=100$$

$m = 1 \text{ t}; 2 \text{ t}; 3 \text{ t}$

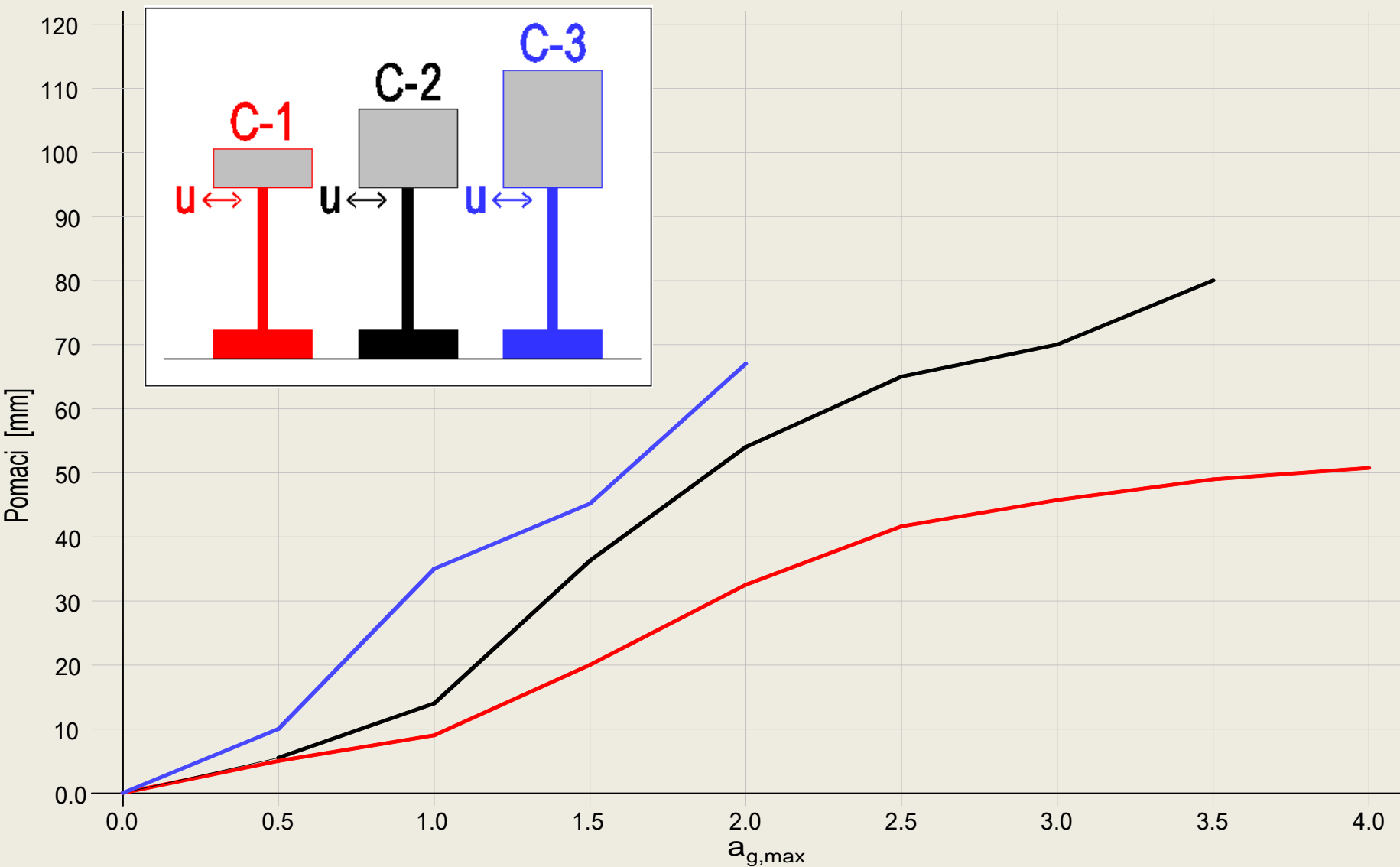
širina temelja 0.5 m

beton:  $f_c = 37.2 \text{ MPa}$

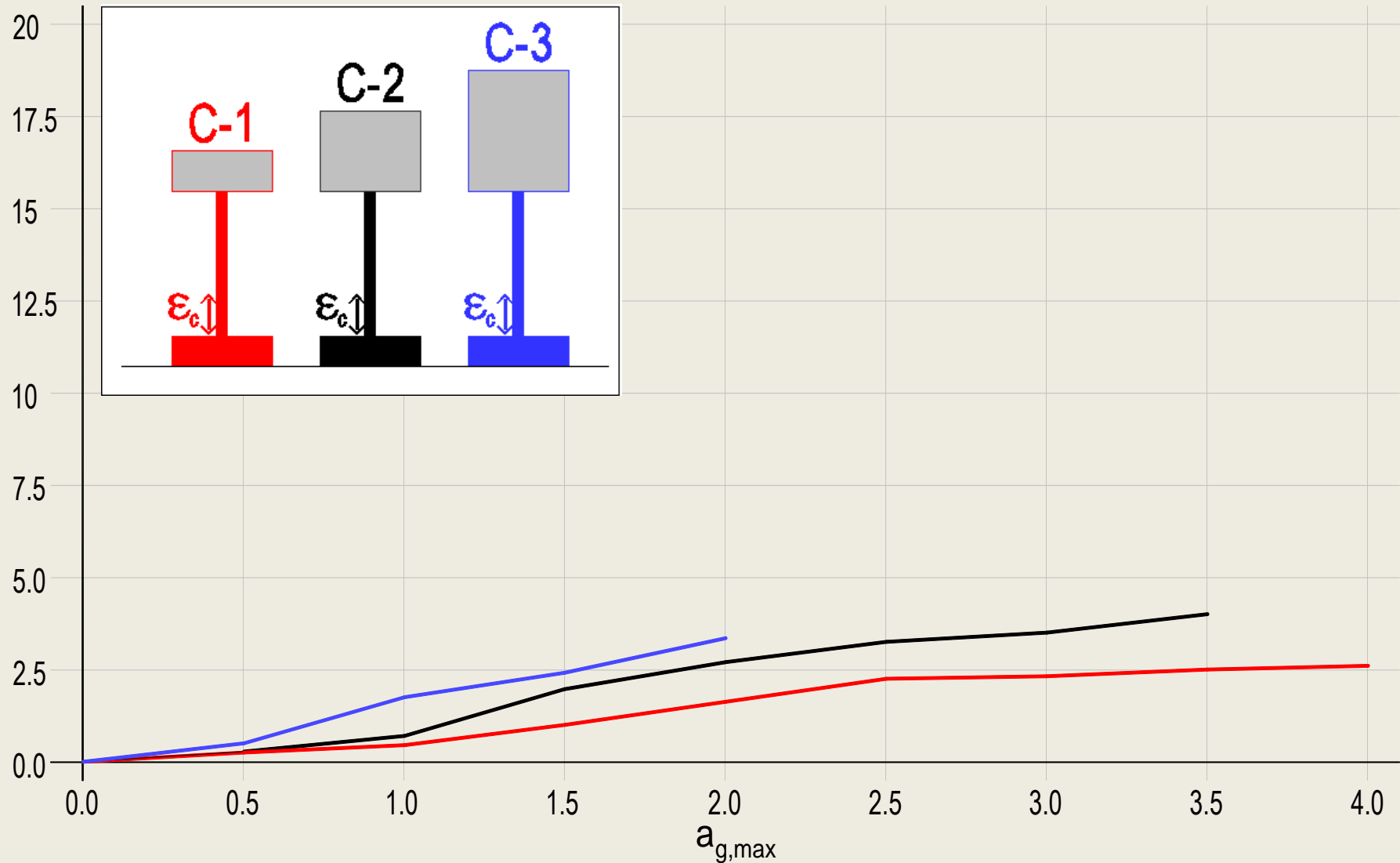
armatura:  $f_s = 605 \text{ MPa}$



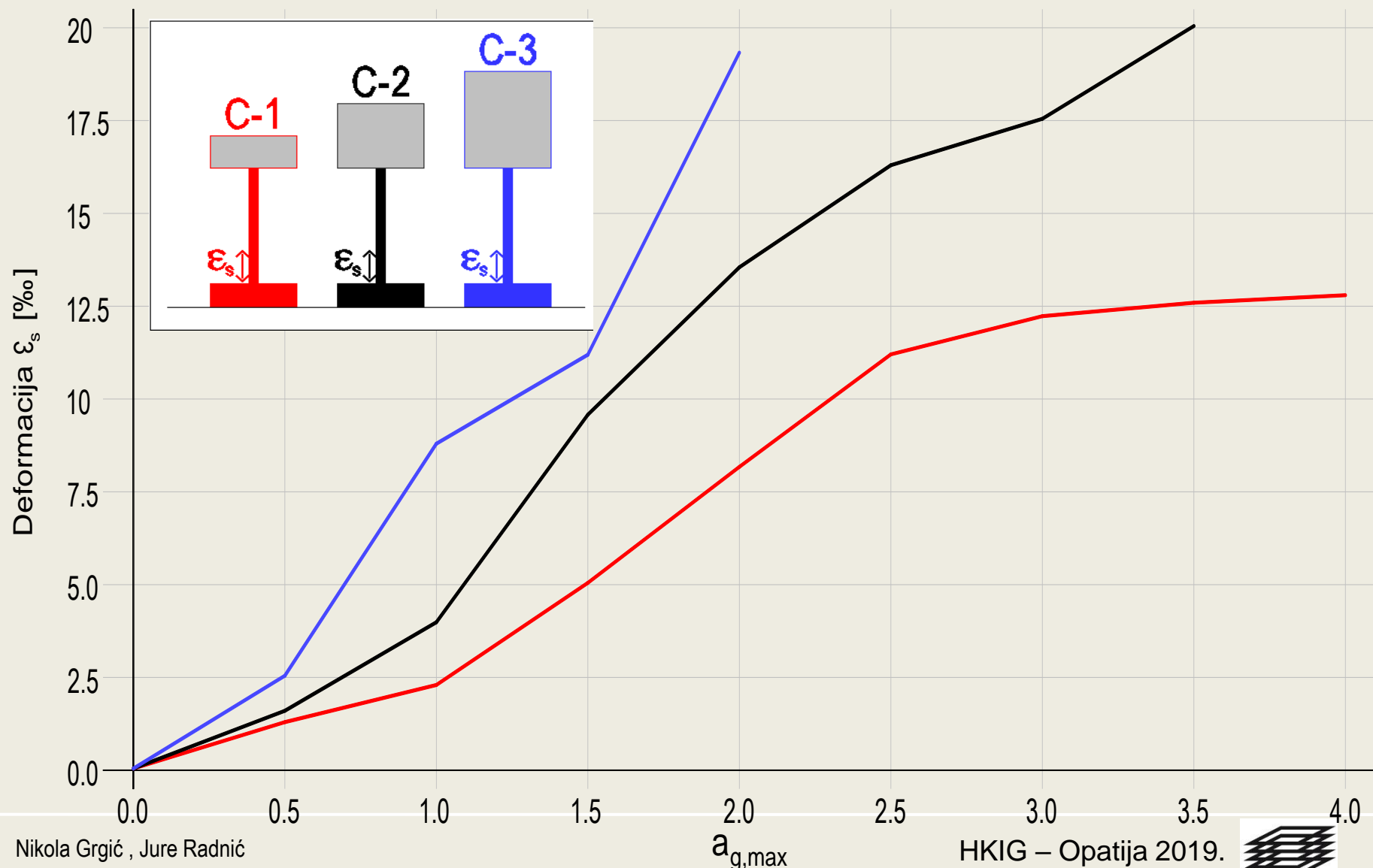
# Maksimalni pomaci vrha stupa u ovisnosti o maksimalnom ubrzalu podloge za različite pobude



# Maksimalne deformacije betona u ovisnosti o maksimalnom ubrzaju podloge za različite pobude



# Maksimalne deformacije armature u ovisnosti o maksimalnom ubrzajuju podloge za različite pobude



- **Na temelju analize rezultata provedenih eksperimentalnih testova, mogu se donijeti niže navedeni zaključci:**
- Povećanjem mase na vrhu konzolnog armiranobetonskog stupa, povećavaju se njegovi pomaci, te deformacije betona i armature tijekom potresnog djelovanja.
  - Povećanjem mase stupovima se smanjuje granična nosivost.
  - Smanjenje nije proporcionalno povećanju mase već, nešto manje.
  - Povećanjem mase na vrhu stupa, smanjuju se njegovi prirodni periodi slobodnih vibracija, što ima za posljedicu induciranje manjih potresnih sila.
  - U praksi treba izbjegavati velike koncentrirane mase (težine) na vrhu betonskih konzolnih stupova, a osobito kod građevina u područjima visoke seizmičnosti.



# NUMERIČKI MODEL ZA STATIČKU I DINAMIČKU ANALIZU KONSTRUKCIJA

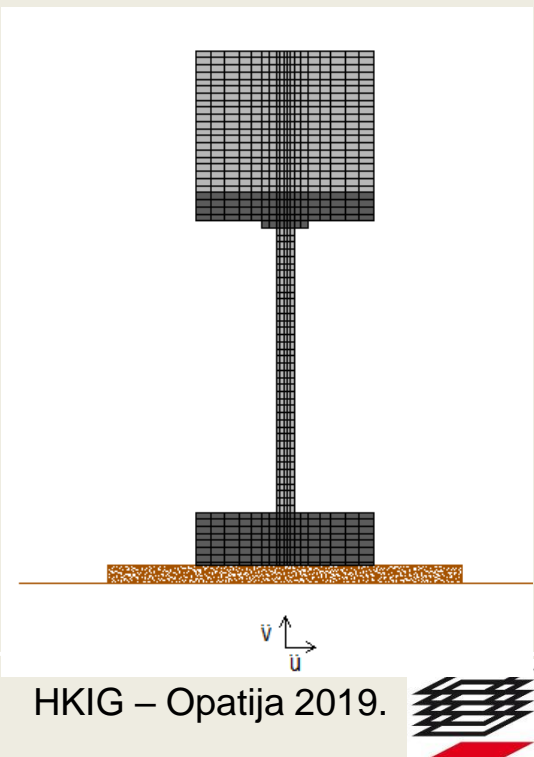
- Za prostornu diskretizaciju konstrukcije, temelja i okolnog tla koristi se Metoda konačnih elemenata
- Za vremensku diskretizaciju problema koristi se Metoda konačnih diferencija
- Za direktnu integraciju jednadžbi gibanja koristi se Newmarkov implicitno-eksplicitni vremenski algoritam kojeg je u inkrementalno – iterativnom obliku razvio Hughes

$$\mathbf{M} \ddot{\mathbf{u}}_{n+1} + \mathbf{R}(\mathbf{u}_{n+1} + \dot{\mathbf{u}}_{n+1}) = \mathbf{f}_{n+1}$$

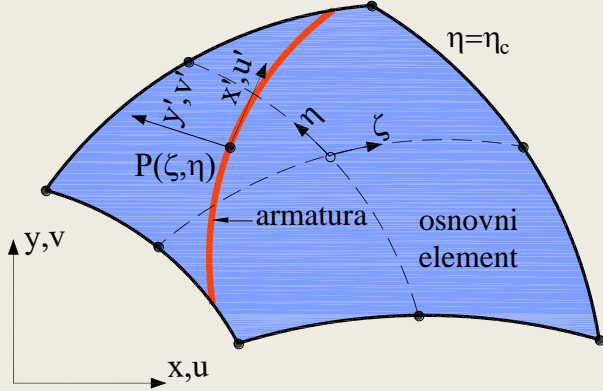
$$\mathbf{K}_\tau^* \Delta \mathbf{u} = (\mathbf{f}^*)^i$$

$$\mathbf{K}_\tau^* = \frac{\mathbf{M}}{\beta \Delta t^2} + \gamma \frac{\mathbf{C}_\tau}{\beta \Delta t} + \mathbf{K}_\tau$$

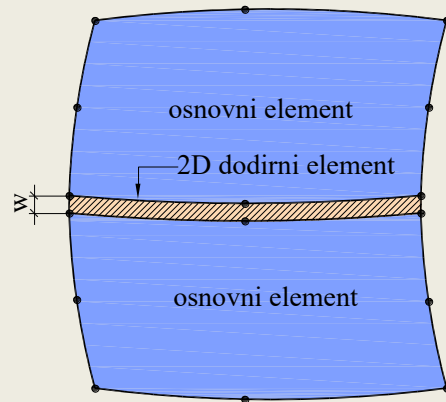
$$\mathbf{f}^* = \mathbf{f}_{n+1} - \mathbf{M} \ddot{\mathbf{u}}_{n+1}^i - \mathbf{R}(\mathbf{u}_{n+1}^i, \dot{\mathbf{u}}_{n+1}^i)$$



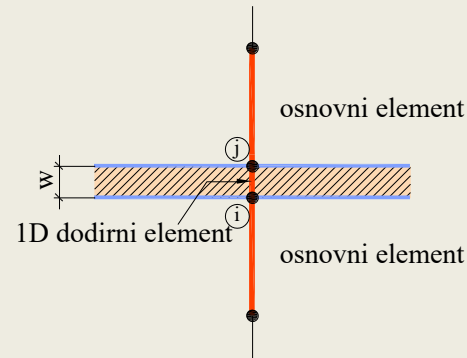
# Konačni elementi korišteni pri numeričkim simulacijama



a) **Osnovni 2D osmočvorni (eng "serendipity") element za armirani beton i tlo**



b.1 2D dodirni šestočvorni element

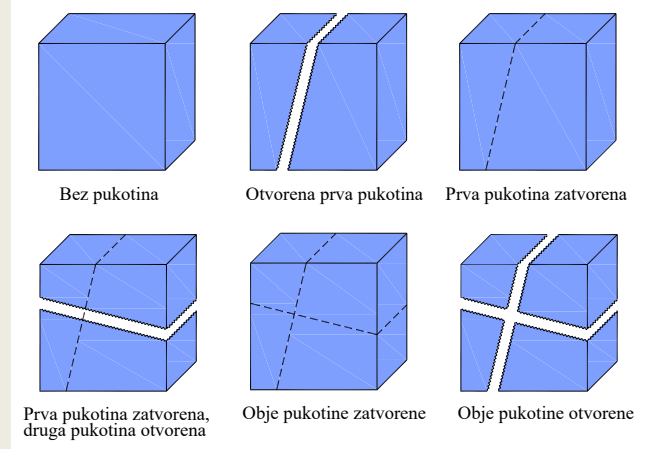
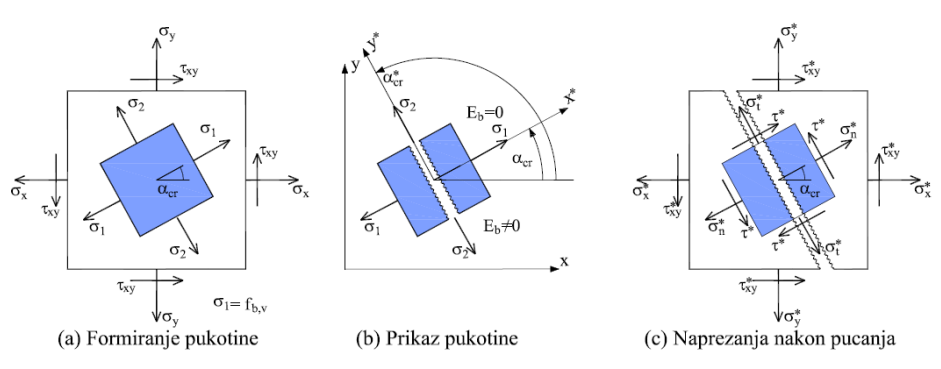


b.2 1D dodirni dvočvorni element

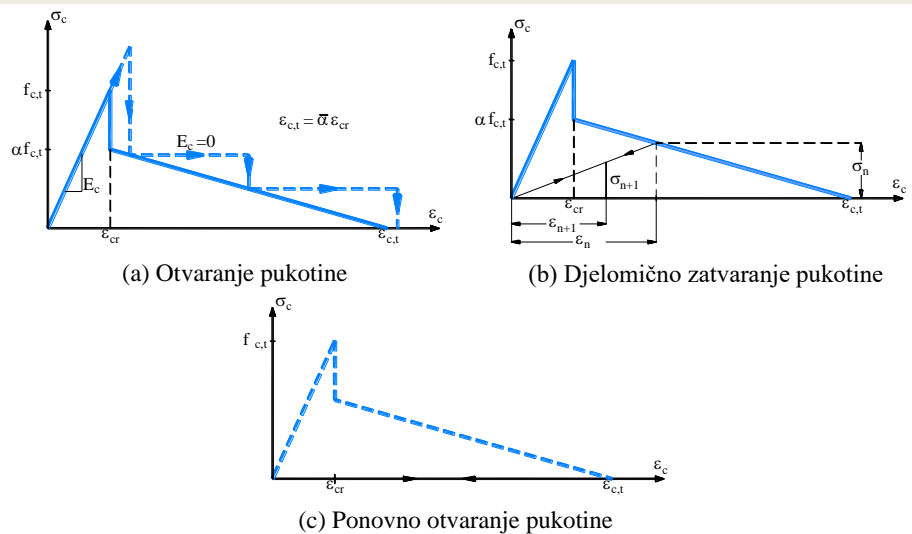
b) **Dodirni 2D (kontaktni) elementi na spoju temelja i tla**



# Modeli materijala- Model armiranog betona

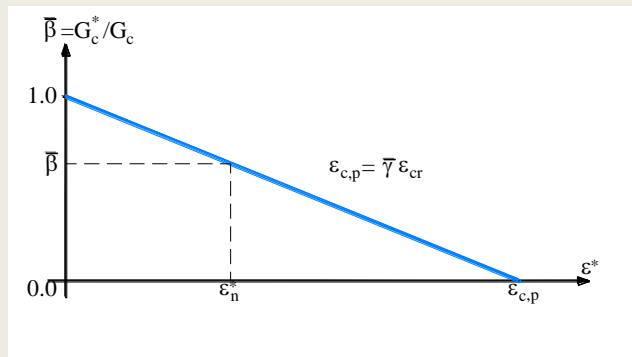


## Model pukotina



**Veza naprezanje-deformacija za beton nakon pojave pukotine**

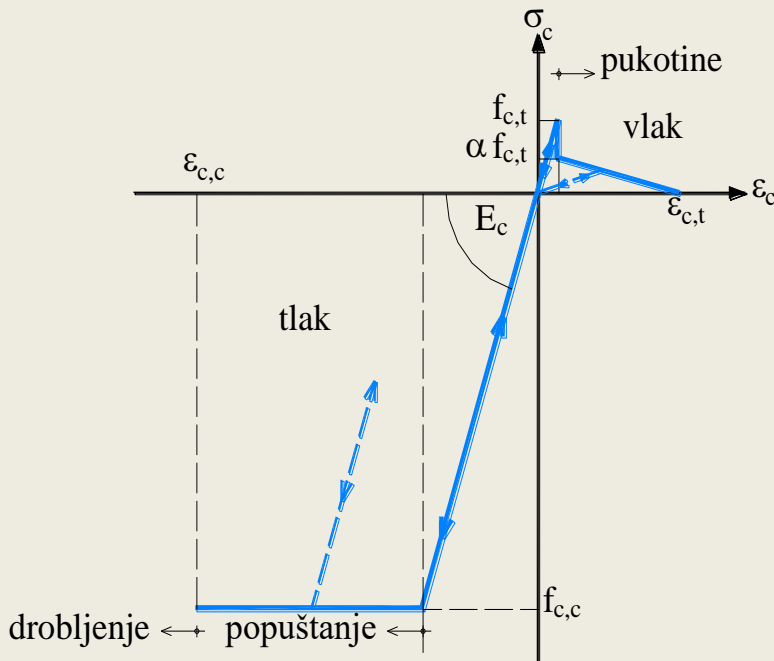
## Moguća stanja pukotina u betonu



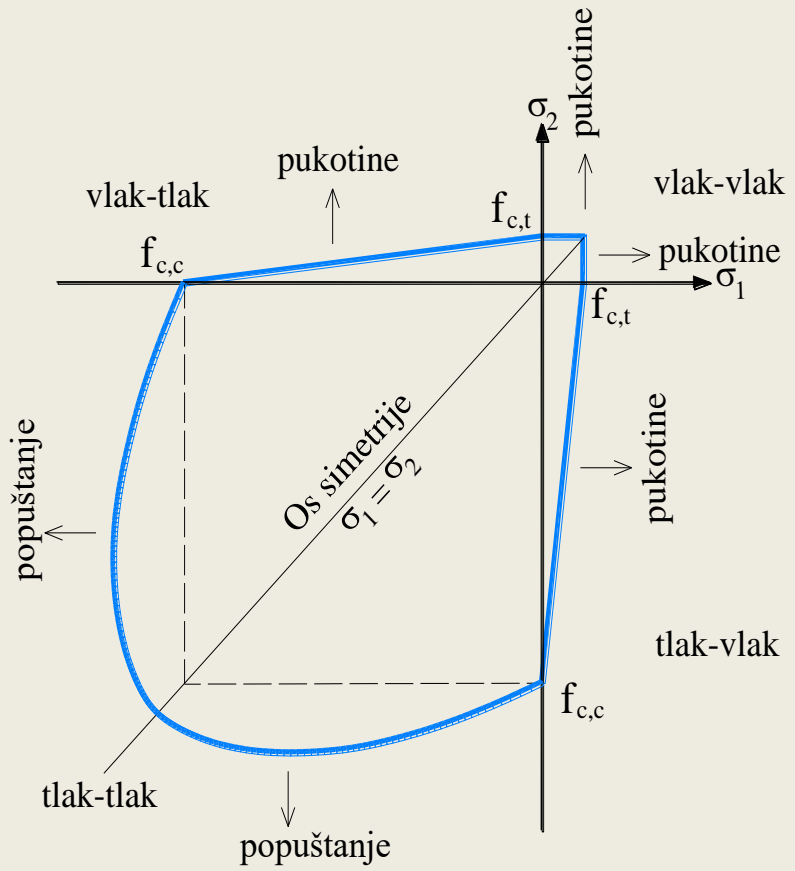
## Model posmične krutosti puknutog betona



# Modeli materijala- beton



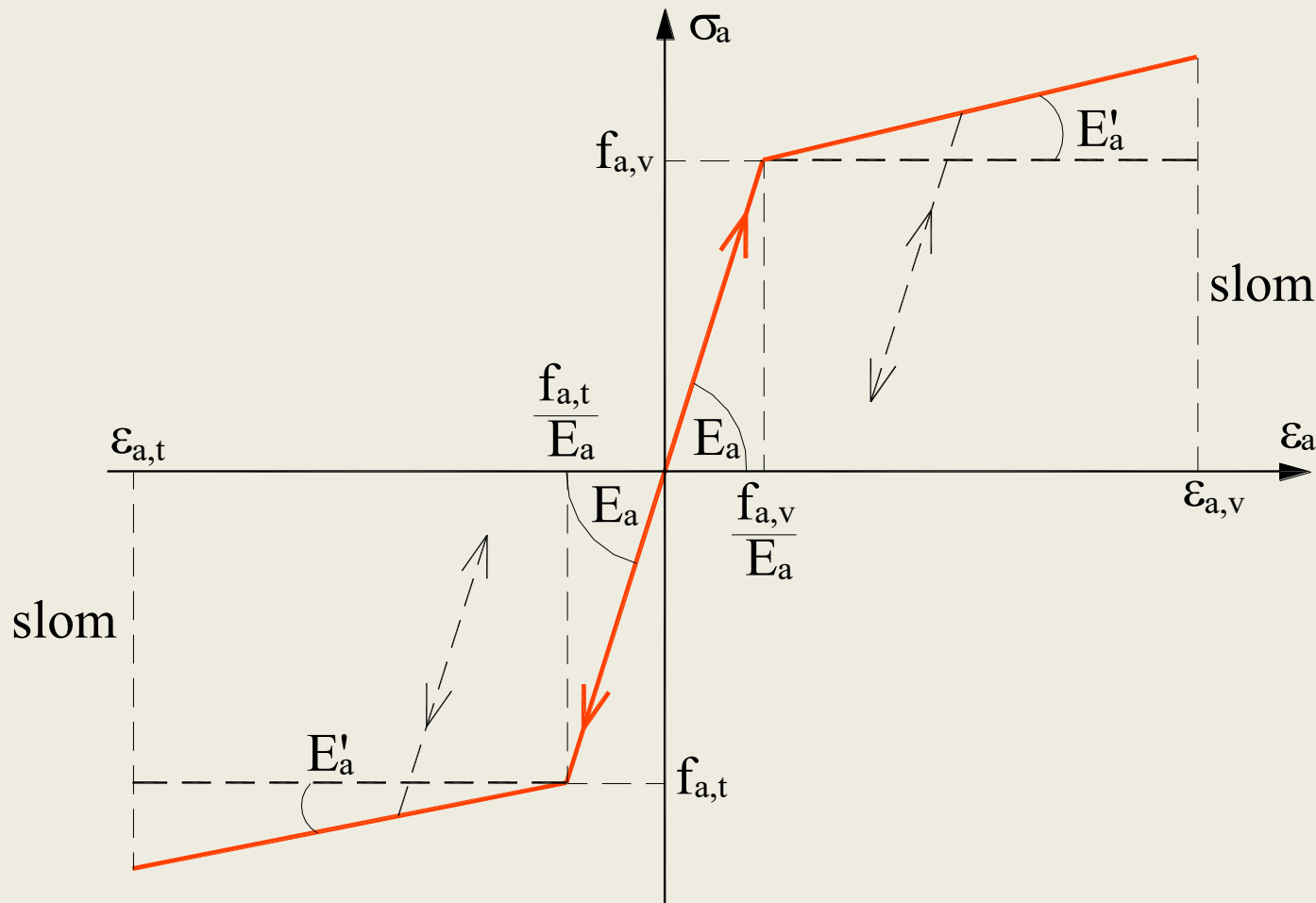
(i) jednodimenzionalni prikaz



(ii) 2D prikaz u polju glavnih naprezanja



# Modeli materijala- armatura



Veza naprezanje-deformacija za betonski čelik (armaturu)



# Mogućnost simulacije sljedećih efekata

- **Promjena geometrije konstrukcije (geometrijska nelinearnost)**
- **Nelinearni efekti materijala (materijalna nelinearnost):**

## BETON

## ARMATURA

## TLO

- popuštanje i drobljenje u tlaku
- otvaranje pukotina u vlaku
- mehanizam otvaranja i zatvaranja pukotina
- vlačna krutost betona koji ima pukotine
- posmična krutost betona koji ima pukotine

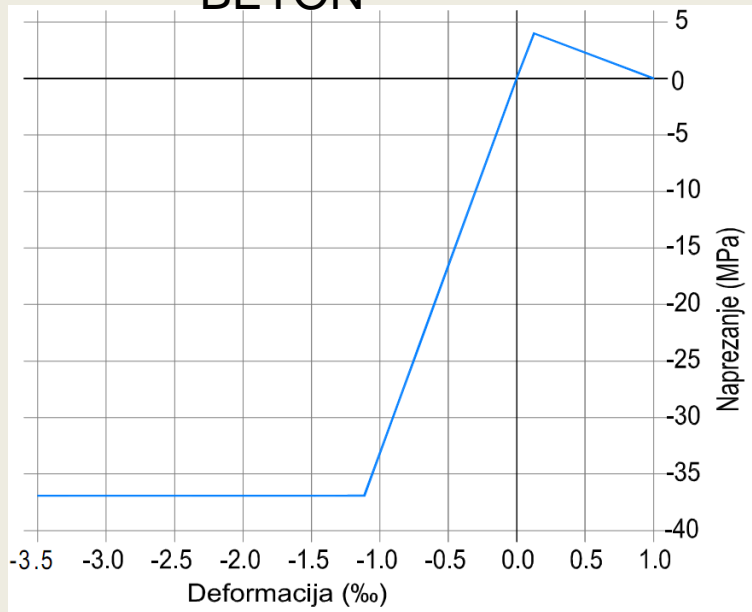
- nelinearno ponašanje u vlaku i tlaku

- popuštanje i drobljenje u tlaku
- otvaranje pukotina u vlaku
- mehanizam otvaranja i zatvaranja pukotina
- posmično popuštanje i slom
- anizotropna svojstva čvrstoće i krutosti u vert. i horiz. smjeru
- vlačna krutost tla koje ima pukotine
- posmična krutost tla koje ima pukotine



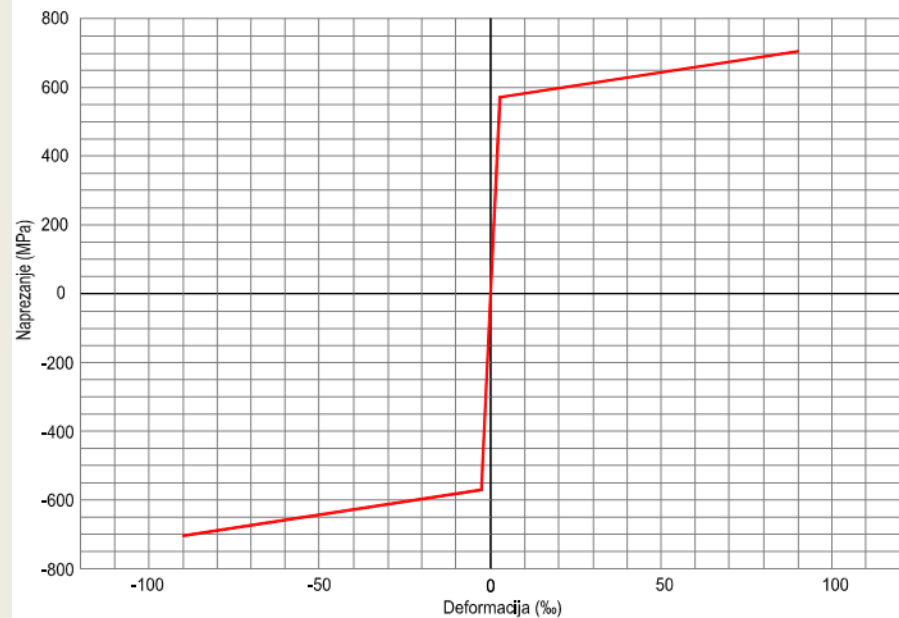
# Usvojeni parametri gradiva

## BETON



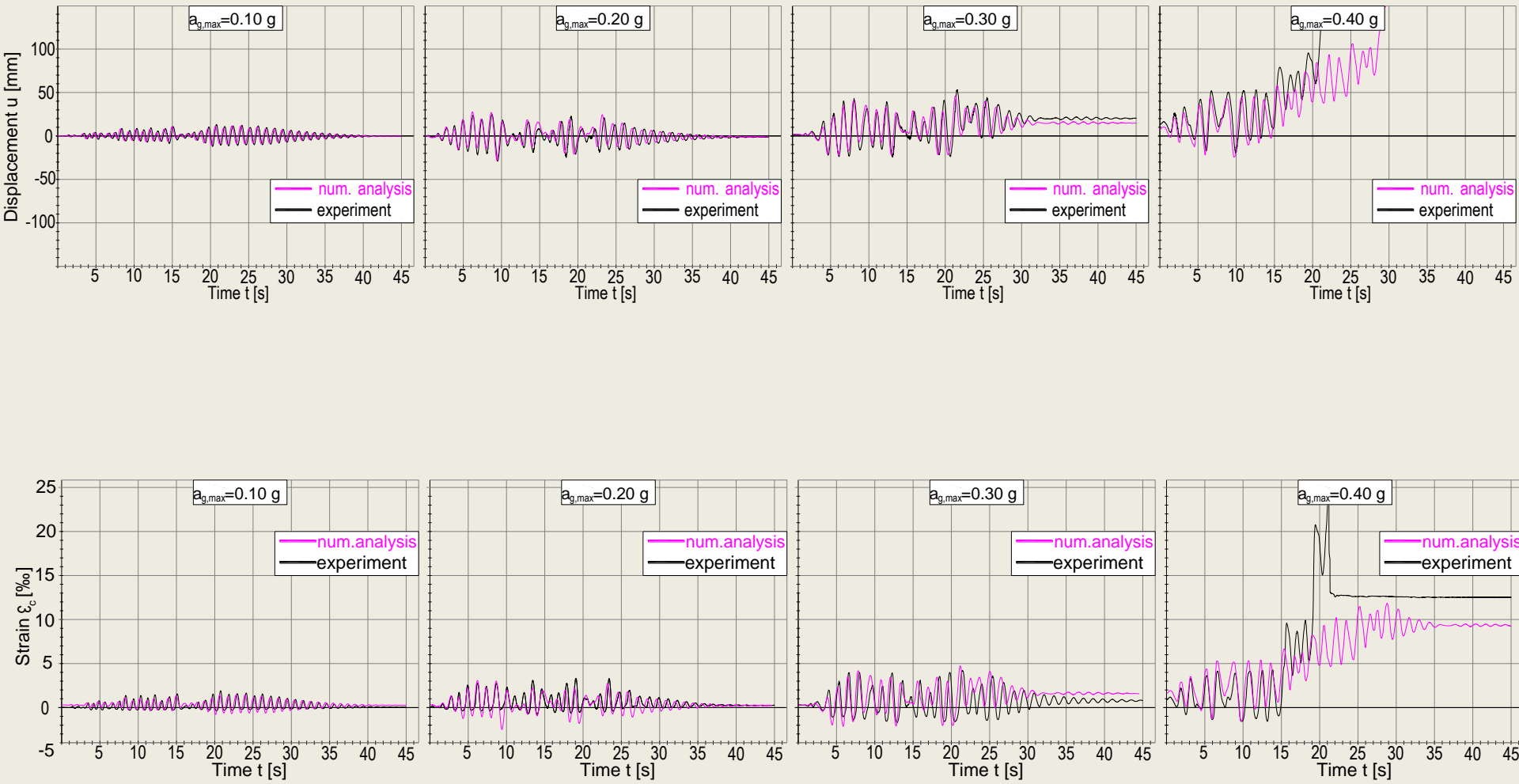
Tlačna čvrstoća ( $f_{c,c}$ )	37.2	MPa
Vlačna čvrstoća ( $f_{c,t}$ )	4.0	MPa
Početni modul elastičnosti ( $E_c$ )	33.2	GPa
Modul posmika ( $G_c$ )	14.4	GPa
Granična tlačna deformacija ( $\varepsilon_{c,c}$ )	3.5	%
Granična vlačna deformacija ( $\varepsilon_{c,t}$ )	1.0	%
Granična posmična deformacija ( $\varepsilon_{\gamma,\max}$ )	20.0	%
Poissonov koeficijent ( $\nu$ )	0.2	

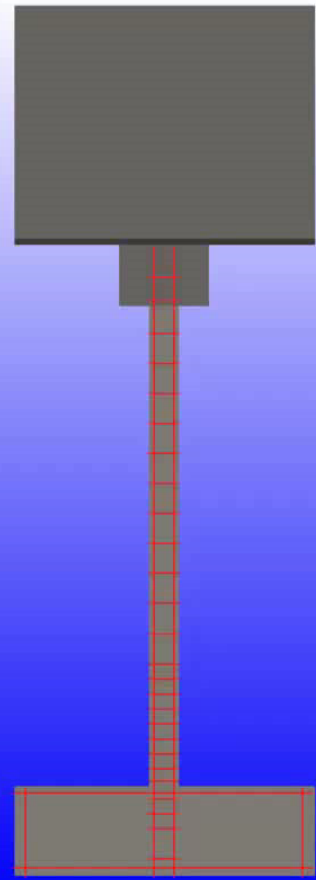
## ARMATURA



Jednoosna tlačna čvrstoća ( $f_{r,c}$ )	570	MPa
Jednoosna vlačna čvrstoća ( $f_{r,t}$ )	570	MPa
Početni modul elastičnosti ( $E_r$ )	205	GPa
Granična tlačna deformacija ( $\varepsilon_{r,c}$ )	90.0	%
Granična vlačna deformacija ( $\varepsilon_{r,t}$ )	90.0	%
Deformacija početka tečenja u vlaku ( $\frac{f_{r,c}}{E_r}$ )	2.8	%
Deformacija početka tečenja u tlaku ( $\frac{f_{r,t}}{E_r}$ )	2.8	%







# Hvala na pažnji

